UCUENCA

Universidad de Cuenca

Facultad de Ciencias Químicas

Carrera de Bioquímica y Farmacia

Análisis Microbiológico en el Área de Consulta Externa y Emergencia en el Centro de Salud "Mariano Estrella" de la Ciudad de Cuenca-Provincia del Azuay

Trabajo de titulación previo a la obtención del título de Bioquímico Farmacéutico

Autores:

Karla Nicole Llanos Chacón

Daniela Lisbeth Ramón Godoy

Director:

María Paz Moscoso Romo

ORCID: 00000-0002-5736-6201

Cuenca, Ecuador

2024-10-15



Resumen

Introducción: Las infecciones asociadas a la asistencia sanitaria (IAAS) son una amenaza para la salud a nivel mundial dado que representan una de las principales causas de morbimortalidad. Estas infecciones pueden surgir por la presencia de microorganismos patógenos en superficies u objetos inertes. Objetivo: Analizar el estado microbiológico de las superficies inertes en el área de Consulta Externa y Emergencia del centro de salud "Mariano Estrella", en la ciudad de Cuenca, Azuay. Metodología: Se tomaron 250 muestras por el método de hisopado, según la norma ISO 14698-1; las cuales fueron transportadas y procesadas en el Laboratorio de Microbiología de la Facultad de Ciencias Químicas de la Universidad de Cuenca. Resultados: Se evidenció crecimiento en el 90% de las muestras, obteniendo una carga microbiana de 2.52 UFC/cm² y 419 UFC/superficie en superficies regulares e irregulares, respectivamente. Se identificaron 372 cepas bacterianas, siendo Staphylococcus coagulasa negativa (37%) el más frecuente, seguido de Bacillus spp (24%), Enterobacter cloacae (13%), y Staphylococcus aureus (6%). De los microorganismos considerados como patógenos, se realizaron pruebas de detección fenotípica de mecanismos de resistencia a los antibióticos, descartando para todas las cepas analizadas, resistencias adquirida. De las superficies inertes analizadas, se determinó que las más susceptibles a contaminación microbiana fueron teclados y mouse de computadores. Conclusión: Los resultados de este estudio permitieron inferir que los procesos de limpieza y desinfección llevados a cabo en el centro de salud "Mariano Estrella" no son los adecuados, existiendo un riesgo elevado de aparición de IAAS.

Palabras clave del autor: IAAS, superficies inertes, consulta externa, emergencia





El contenido de esta obra corresponde al derecho de expresión de los autores y no compromete el pensamiento institucional de la Universidad de Cuenca ni desata su responsabilidad frente a terceros. Los autores asumen la responsabilidad por la propiedad intelectual y los derechos de autor.

Repositorio Institucional: https://dspace.ucuenca.edu.ec/



Abstract

Introduction: Healthcare-associated infections (HAIs) are a global health threat since they represent one of the leading causes of morbidity and mortality. These infections can arise from the presence of pathogenic microorganisms on surfaces or inert objects. Objective: To analyze the microbiological status of inert surfaces in the Outpatient and Emergency area of the "Mariano Estrella" health center in the city of Cuenca, Azuay. Methodology: 250 samples were taken by the swabbing method, according to ISO 14698-1; they were transported and processed in the Microbiology Laboratory of the Faculty of Chemical Sciences of the University of Cuenca. Results: Growth was evidenced in 90% of the samples, obtaining a microbial load of 2.52 CFU/cm2 and 419 CFU/surface in regular and irregular surfaces, respectively. A total of 372 bacterial strains were identified, with coagulase-negative Staphylococcus (37%) being the most frequent, followed by Bacillus spp (24%), Enterobacter cloacae (13%), and Staphylococcus aureus (6%). Of the inert surfaces analyzed, it was determined that the most susceptible to microbial contamination were computer keyboards and mice. On the other hand, the microorganisms considered as pathogens were tested for susceptibility to antibiotics, ruling out acquired resistance for all the strains analyzed. Conclusion: The results of this study allowed inferring that the cleaning and disinfection processes carried out in the "Mariano Estrella" health center are not adequate, and that there is a high risk of HAIs.

Author Keywords: HAIs, inanimate surfaces, outpatient, emergency, microbial contamination





The content of this work corresponds to the right of expression of the authors and does not compromise the institutional thinking of the University of Cuenca, nor does it release its responsibility before third parties. The authors assume responsibility for the intellectual property and copyrights.

Institutional Repository: https://dspace.ucuenca.edu.ec/



Agradecimientos

Queremos expresar nuestra más sincera gratitud a nuestra tutora del Trabajo de Integración Curricular, la BQF. María Paz Moscoso Romo, por su orientación, apoyo y paciencia, que han sido cruciales para llevar a cabo este trabajo.

Extendemos nuestro agradecimiento a los docentes de la carrera de Bioquímica y Farmacia de la Universidad de Cuenca por brindarnos su conocimiento y guiarnos durante toda la trayectoria de nuestra carrera universitaria.

A nuestras familias por apoyarnos incondicionalmente y motivarnos cada día para culminar esta etapa de nuestra vida.

Y a todos nuestros amigos y compañeros que de alguna u otra forma nos brindaron su apoyo.

Nicole y Daniela

UCUENCA

Dedicatoria

El presente trabajo de titulación se lo dedico a mi padre y madre, Carlos y Jackeline, que con su sacrificio, guía y apoyo me han permitido culminar una de las etapas más importantes de mi vida. Por enseñarme a nunca rendirme y siempre seguir adelante a pesar de todo.

A mi hermano Francisco, por estar siempre presente y enseñarme lo que es la perseverancia.

Y a mi compañera de tesis, Daniela, por su apoyo, paciencia y comprensión durante la realización de este trabajo.

Nicole Llanos

Este trabajo de titulación se lo dedico a mi madre, Targelia, una mujer luchadora, que a pesar de las dificultades en la vida jamás me dejó de apoyarme y me acompaño en cada etapa de este proceso con sus palabras de aliento.

A mis hermanos, Nayeli y Kevin, quienes son un pilar fundamental en mi vida y siempre me han cuidado y alentaron a seguir a adelante en todo este camino.

A mis queridos abuelos, Rosa y Carmelino, quienes ya no están conmigo, pero cuyos valores, amor, sabiduría siguen guiándome en este camino. A ambos les dedico este logro, donde quiera que estén, espero que estén orgullosos de este paso en mi camino, les prometí que lo iba lograr y tengo el agrado de decir que lo estoy cumpliendo.

A mi compañera de tesis, Nicole, por afrontar este reto conmigo, sin ti esto no habría sido posible, tu apoyo y palabras de aliento permitieron mantenerme firme durante todo este trayecto.

Daniela Ramón



Índice de contenido

A	bstract	3
G	Blosario	11
lr	ntroducción	12
C	Objetivos	15
	Objetivo General	15
	Objetivos específicos	15
1	. Marco teórico	16
	1.1. Infecciones Asociadas con la Asistencia Sanitaria (IAAS)	16
	1.1.1. Factores asociados al origen de las IAAS	17
	1.1.2. Cadena de infección y modo de transmisión de los microorganismos	
	asociados a IAAS	18
	1.1.3. IAAS asociado a superficies inertes	19
	1.2. Microorganismos asociados a IAAS	20
	1.2.1. Mecanismos de resistencia de los microorganismos	20
	1.3. Monitoreo microbiológico de superficies	22
	1.3.1. Relevancia en la Salud Pública	22
	1.3.2. Métodos para control microbiológico de superficies inertes	23
	1.4 Normativas Locales e Internacionales de control de IAAS	24
	1.5. Importancia de la vigilancia microbiológica	25
2	. Metodología	27
	2.1. Diseño de estudio	27
	2.2. Población	27
	2.3. Muestras	27
	2.4. Autorización por parte del MSP para el acceso y toma de muestras en el centro de salud "Mariano Estrella"	e 27
	2.4. Método de muestreo	28
	2.4.1. Recolección de muestras	28
	2.5. Procesamiento de las muestras	29
	2.5.1. Recuento directo de células viables: Técnica por vertido en placa	29
	2.5.2. Identificación microbiana	29
	2.5.3. Prueba de susceptibilidad antimicrobiana	31

UCUENCA

			7
2	2.6.	Análisis estadístico	31
2	2.7.	Reporte y envío de resultados al MSP	31
3.	Res	sultados	32
(3.1. E	fectividad del proceso de desinfección	32
;	3.2. C	Carga microbiana y recuento de microorganismo en las superficies	32
;	3.3. N	Microorganismos identificados en Emergencia y Consulta Externa	33
;	3.4. D	Distribución de microorganismos en el área de Consulta Externa y Emergencia	35
		.1 Frecuencia y porcentaje de los microorganismos identificados en Consulta erna	37
	3.4.	.2 Frecuencia y porcentaje de los microorganismos identificados en Emergencia	37
(3.5 Sı	uperficies más susceptibles a la contaminación microbiana	37
4.	Dis	cusión	46
5.	Cor	nclusiones	53
6.	Red	comendaciones	54
7.	Ref	erencias	55
8.	Ane	exos	68



	•
Índice de figuras	
Figura 1. Diluciones seriadas y siembra por vertido en placa	29
Figura 2. Caja tripetri con los medios de cultivo usados para el aislamiento microbiano	29
Figura 3. Crecimiento microbiano en el centro de salud "Mariano Estrella"	32
Figura 4. Clasificación preliminar de los microorganismos aislados del centro de salud	
"Mariano Estrella" en base a la tinción de Gram	36
Figura 5. Objetos más susceptibles a la contaminación	39

8



Índice de tablas

Tabla 1. Carga microbiana y recuento de microorganismo en el área de Consulta Externa	а у
Emergencia	33
Tabla 2. Microorganismos identificados en el centro de salud "Mariano Estrella"	34
Tabla 3. Distribución de microorganismos en el área de Consulta Externa y Emergencia	36
Tabla 4. Superficies y carga microbiana en el área de Consulta Externa	39
Tabla 5. Superficies y carga microbiana en el área de Emergencia	40
Tabla 6. Susceptibilidad antimicrobiana para Staphylococcus aureus	42
Tabla 7. Susceptibilidad antimicrobiana para especies de Enterococcus	42
Tabla 8. Susceptibilidad antimicrobiana para No Enterobacterales	43
Tabla 9. Susceptibilidad antimicrobiana para Enterobacterales	44



Índice de anexos

Anexo 1. Codificación de cada superficie muestreada del centro de salud "Mariano	Estrella"
con responsable de la recolección	69
Anexo 2. Carta de interés presentada a la Dirección Distrital de Salud 01D04	77
Anexo 3. Acta de acceso a información presentada al MSP	78
Anexo 4. Carta de aprobación por parte del tutor	79
Anexo 5. Oficio de aprobación del anteproyecto por parte de la Comisión de Titulac	ión de la
Universidad de Cuenca	80
Anexo 6. Cronograma tentativo para la toma de muestra presentada al MSP	81
Anexo 7. Memorándum en respuesta a la carta de solicitud	82
Anexo 8. Resultados del monitoreo de superficies inertes enviado al MSP	83
Anexo 9. Esquema de la metodología utilizada para el análisis microbiológico de la	s
superficies inertes del centro de salud "Mariano Estrella"	95
Anexo 10. Carga microbiana por superficie muestreada	96
Anexo 11. Microorganismo identificado por cada sub-área en Consulta Externa	101
Anexo 12. Microorganismo identificado por cada sub-área de Emergencia	110



Glosario

Bacterias: Microorganismos unicelulares beneficiosos o patógenos.

Biocidas: Sustancia química que elimina o inhibe el crecimiento de microorganismos.

Biopelículas: Comunidades de microorganismos que están adheridos a superficies, ya sean dispositivos médicos, superficies, entre otros.

Carga biológica: Cantidad de microorganismos presentes en una muestra biológica o superficie.

Células viables: Microorganismos que son capaces de crecer y reproducirse.

Cepa: Población de microorganismos que comparten características genotípicas y fenotípicas específicas.

Contaminación cruzada: Se refiere a aquella contaminación dada por transferencia de microorganismos de una superficie a otra o de un área a otra.

Enterobacterales: Bacterias Gram negativas que no forman esporas y tienen forma de bacilo.

Insumo médico: Material, producto o dispositivo utilizado para la atención médica.

Huésped: Aquel individuo (humano o animal) que alberga a otro organismo, proporcionando el ambiente adecuado para que se desarrolle.

Microbiota: Comunidad de microorganismo que habitan en un área bajo condiciones específicas, como la piel, intestino, entre otras.

No Enterobacterales: Aquel microorganismo que no pertenece a la familia Enterobacteriaceae.

Patógeno: Microorganismo que causa enfermedad en su huésped.

Resistencia antimicrobiana: Capacidad de los microorganismos para resistir los efectos de los antibióticos u otros agentes antimicrobianos.

Septicemia: Infecciones graves en la sangre que llegan a resultar mortales si no se controla a tiempo.



Introducción

Las Infecciones Asociadas con la Asistencia Sanitaria (IAAS) también llamadas infecciones nosocomiales, afectan a millones de pacientes anualmente incrementando la morbilidad, la mortalidad y los costos asociados a la atención médica. Debido a ello, representan una amenaza significativa para la salud pública y, por lo tanto, son un problema de gran importancia a nivel mundial. Según Navas et al, (2017) 1,4 millones de personas en el mundo sufren de complicaciones por IAAS; y el riesgo de contraerlas es veinte veces mayor en países en vías de desarrollo (Murhekar & Kumar, 2022; Navas et al., 2021).

Las IAAS pueden tener dos tipos de origen, endógeno que surge del microbiota del paciente y exógeno producido por agentes externos asociados al entorno sanitario, y pueden ser transmitido ya sea por profesionales de la salud o por objetos inertes; siendo la frecuencia de aparición del 70% y 30%, respectivamente (Costa et al., 2019). En la atención médica, se puede distinguir dos tipos de reservorios de microorganismos: el primario conformado por los pacientes, el personal de salud y los visitantes; y el secundario, en el cual los factores ambientales determinan el desarrollo de los patógenos (Gil et al., 2018).

Se ha estimado que los patógenos bacterianos que se encuentran en los ambientes hospitalarios causan la mayoría de las IAAS, seguidas de los hongos y protozoos (Sserwadda et al., 2018). La presencia de microorganismos en objetos inertes, se le atribuye a su capacidad para sobrevivir sobre estos durante semanas e incluso meses, es el caso de algunas bacterias Gram positivas y Gram negativas. El tiempo de supervivencia de una bacteria influye en el riesgo de propagación, y este periodo depende de múltiples factores tales como: la especie bacteriana, carga biológica, fuente de aislamiento, tipo de material de la superficie, temperatura ambiente, pH local, humedad relativa del aire, y la formación de biopelículas, entre otros factores que le proporcionan a la bacteria la capacidad de resistir la desecación y desinfección (Katzenberger et al., 2021; Odoyo et al., 2023). En consecuencia, las superficies inertes representan un importante reservorio de microorganismos patógenos.

Dentro de los factores asociados al riesgo de contraer IAAS se encuentran procedimientos invasivos, un tiempo prolongado de hospitalización y aparición de microorganismos resistentes y/o multirresistentes a antimicrobianos. La resistencia antimicrobiana ha sido considerada como una amenaza para la salud pública a nivel mundial, tanto por su elevada morbimortalidad como por su impacto económico. Los laboratorios del Centro para el Control y Prevención de Enfermedades (CDC, Centers for Disease Control and Prevention)

UCUENCA

detectan un microorganismo resistente cada cuatro horas, y se estima que para 2050 la mortalidad por bacterias resistentes será mayor que las ocasionadas por el cáncer. En la Unión Europea, se estima que alrededor de 33 000 personas mueren cada año como consecuencia de una IAAS producida por microorganismos resistentes a antibióticos (RAM) (Cantón et al., 2021; Gil et al., 2018). Debido a ello, la OMS en 2015 lanzó un plan de acción denominado "Sistema Mundial de Vigilancia de la RAM". Estudios en Brasil y Norteamérica han reportado presencia de bacterias resistentes a antibióticos, como *Staphylococcus aureus* resistente a la meticilina (MRSA) en superficies hospitalarias de alto contacto y equipos médicos (Rodrigues et al., 2019).

Asimismo, la presencia y cantidad de microorganismos dependerá del área del centro asistencial de salud; reportándose IAAS mayoritariamente en el área de cuidados intensivos, así como en neonatología (Oliveira et al., 2017). Sin embargo, en las áreas de consulta externa y emergencia son pocos los estudios realizados.

En Europa y Norteamérica se reporta que entre un 5 y 10% de los pacientes hospitalizados son afectados por IAAS; y en el caso de regiones de África, Asia y América Latina esta cifra sobrepasa el 40% de los casos de hospitalización (González et al., 2019). De acuerdo con un estudio realizado en América Latina, el promedio de IAAS fue del 11,50%, siendo Venezuela el país con más casos reportados (Huerta et al., 2019). En 2022, el Ministerio de Salud Pública del Ecuador (MSP) informó el comportamiento de la situación epidemiológica de las IAAS, reportando un total de 4 662 casos en hospitales de primer, segundo y tercer nivel; perteneciendo dos de ellos a la provincia del Azuay (Boletín Epidemiológico, 2022). Los patógenos que han sido asociados con mayor frecuencia a la aparición de IAAS son *Staphylococcus aureus*, *Pseudomonas aeruginosa*, *Acinetobacter baumannii*, *Enterococcus spp y Klebsiella pneumoniae*, entre otros bacilos Gram negativos (Boletín Epidemiológico, 2021).

En el contexto del Centro de Salud "Mariano Estrella" ubicado en Ecuador en la ciudad de Cuenca, provincia del Azuay, mantener altos estándares de higiene es esencial para garantizar la seguridad tanto de los pacientes como del personal de salud. En 2021, la Dirección Distrital de Salud 01D04 de la Zonal 6 del Ministerio de Salud Pública del Ecuador bajo la dirección de la coordinadora de Medicina Ocupacional y Seguridad en el Trabajo, y con apoyo del Hospital Vicente Corral Moscoso, realizaron un estudio microbiológico de superficies del área de maternidad y emergencia del centro de salud "Mariano Estrella"; en el cual se tomaron 51 muestras de manera aleatoria, y tras su análisis se pudo determinar la presencia de microorganismos como *Staphylococcus aureus*, *Pseudomonas spp*, entre



otros; considerados como patógenos y asociados a la presencia de IAAS. Estos resultados, aunque no fueron concluyentes debido al número limitado de muestras, llamaron la atención de la Dirección Distrital de Salud, ya que no cuenta con fondos para el control microbiológico de superficies (Unidad de Seguridad y Salud Ocupacional, 2021). Por ello, en un convenio marco que existe entre la Universidad de Cuenca y la Dirección Distrital de Salud 01D04, se busca realizar el monitoreo de superficies de varios centros de salud.

Este estudio se centra en el análisis microbiológico de superficies en el área de Consulta Externa y Emergencia del centro de salud "Mariano Estrella", con el objetivo de identificar y cuantificar la presencia de microorganismos patógenos que podrían contribuir a las IAAS. La importancia de este estudio radica en la necesidad de comprender el proceso de desinfección en áreas críticas del centro de salud "Mariano Estrella"; y dado que las áreas de Consulta Externa y Emergencia son puntos de alto tráfico y contacto frecuente, es imperativo evaluar la eficacia de las medidas actuales de limpieza y desinfección.

Adicionalmente, el desarrollo de estudio puede proporcionar información valiosa para contribuir al conocimiento científico en el campo de la microbiología ambiental y la prevención de IAAS; dado que, los resultados pueden servir como base para mejorar las prácticas de control de infecciones en entornos de atención médica, específicamente en el centro de salud "Mariano Estrella"; sin desestimar la importancia de este trabajo para que el Ministerio de Salud Pública del Ecuador pueda tomar las medidas correctivas correspondientes, como la capacitación del personal de salud en la prevención de infecciones.

.



Objetivos

Objetivo General

Analizar el estado microbiológico de las superficies inertes en el área de Consulta Externa y Emergencia del centro de salud "Mariano Estrella".

Objetivos específicos

- Determinar si el proceso de desinfección que se realiza en el área de Consulta
 Externa y Emergencia del centro de salud "Mariano Estrella" es eficaz mediante análisis de los resultados obtenidos.
- Establecer la carga bacteriana de superficies desinfectadas en el área de Consulta
 Externa y Emergencia del centro de salud "Mariano Estrella".
- Identificar los objetos inertes más susceptibles a contaminación en el área de
 Consulta Externa y Emergencia del centro de salud "Mariano Estrella".



1. Marco teórico

1.1. Infecciones Asociadas con la Asistencia Sanitaria (IAAS)

La OMS define a las IAAS, como aquellas infecciones causadas por cualquier microorganismo que el paciente contrae como consecuencia de la asistencia o atención recibida en un centro asistencial; en el cual se incluye: hospitales, centros de salud, centros de diálisis, entre otros (OMS, 2022). Las IAAS son consideradas como los eventos adversos más frecuentes a nivel mundial, ya que afectan no solo a pacientes sino también al personal de salud. Después de los efectos adversos de medicamentos y las complicaciones quirúrgicas, las IAAS son la tercera causa de complicación en pacientes que están hospitalizados (Haque et al., 2018).

Por lo general, las IAAS aparecen a las 48 a 72 horas después del ingreso al centro asistencial y pueden llegar a desarrollarse en cualquier área, pero se asocian con mayor frecuencia a las unidades de cuidados intensivos (UCI) (Szabó et al., 2022). Esto provoca un incremento de los casos de morbi-mortalidad, incremento del uso de antimicrobianos y aumento de la estancia hospitalaria (OMS, 2022; Szabó et al., 2022).

Según el Centro para el Control y la Prevención de Enfermedades (CDC) las IAAS se pueden clasificar en:

- Infección de tracto urinario asociada al uso de catéter: Es la más frecuente y una de las que genera mayor complicación como la sepsis. Aunque, este tipo de infección se encuentra catalogada de buen pronóstico, existen bacterias y virus patógenos que pueden llegar a producir sepsis, especialmente cuando los pacientes son asintomáticos (Haque et al., 2018). Los microorganismos asociados son: Escherichia coli, Klebsiella spp, Citrobacter spp, Enterobacter spp, Enterococcus spp, etc. (MSP, 2020).
- Neumonía asociada a ventiladores: Es una de las infecciones más frecuentes asociada a IAAS, se trata de aquella neumonía que desarrolla un paciente después de una intubación, específicamente 48 horas o más tras este procedimiento (Sikora & Zahra, 2023). Los factores que influyen en la etiología son: el tiempo de



ventilación, administración de antibióticos, entre otros. Los microorganismos asociados son: *Streptococcus pneumoniae, Haemophilus influenzae y Staphylococcus aureus;* sin embargo, no son los únicos, debido a que se ha encontrado también a *Pseudomonas aeruginosa,* considerado como un agente de alta mortalidad (MSP, 2020).

- Infección del sitio quirúrgico: Denominadas anteriormente como infecciones de heridas, se refiere a aquella infección que ocurre después de una intervención quirúrgica en el sitio anatómico donde se realizó la intervención, es la complicación más común, y aparecen hasta 30 o 90 días después de la cirugía. Los microorganismos asociados son: Staphylococcus aureus, Staphylococcus coagulasa negativo, Enterococcus spp, Escherichia coli, entre otros (MSP, 2020).
- aquella infección que se produce por un dispositivo que ha sido insertado en un paciente por más de 48 horas, como, por ejemplo: catéteres para la administración de medicamentos, productos sanguíneos, etc. Los mecanismos más comunes de infección son por la contaminación luminal (Monegro et al., 2023). Se ha establecido que los microorganismos asociados son: *Staphylococcus* coagulasa negativo, *Staphylococcus aureus, Enterococcus spp, Escherichia coli, Klebsiella spp, Enterobacter spp* (MSP, 2017).

1.1.1. Factores asociados al origen de las IAAS

El origen de las IAAS depende de varios factores, los cuales se pueden clasificar en endógenos o exógenos. Los de origen endógeno se refieren a aquellos causados por agentes de la microbiota del paciente; mientras que los factores exógenos están relacionados al entorno, es decir un ambiente contaminado. Se consideran fuentes exógenas los objetos inertes como: lavabos, mesones, grifos; y equipos contaminados como dispositivos, circuitos de ventilación; alimentación enteral, superficie del personal, entre otros (Perozo et al., 2020).

Otros factores asociados, son los factores de riesgo que a su vez se subclasifican en: huésped, agente y ambientales. Los factores relacionados al huésped se asocian al estado de salud del paciente, edad avanzada, inmunodeficiencia, nacimiento prematuro, tumores malignos, comorbilidades, etc. Los factores relacionados al agente dependen de los



microorganismos, dentro de este grupo se distinguen dos tipos de IASS, aquellas ocasionadas por bacterias Gram positivas y por Gram negativas. Por otra parte, dentro de los factores ambientales se encuentran factores extrínsecos, ya sea por el agente infeccioso o por el riesgo de exposición. Si el ambiente es inanimado, se hace referencia al equipo, instrumental, superficies; así como también se considera las condiciones de salubridad, temperatura, humedad, entre otros; mientras que el ambiente animado, hace referencia al personal de salud, pacientes, etc. (Friedman & Newsom, 2011).

1.1.2. Cadena de infección y modo de transmisión de los microorganismos asociados a IAAS

Las IAAS son resultado de una secuencia de eventos en donde el agente infeccioso ingresa y afecta a un huésped susceptible. Según el Ministerio de Salud de Paraguay, la cadena de infección consta de: agente infeccioso, reservorio, puerta de salida, el modo de transmisión, puerta de entrada y un huésped susceptible (Ministerio de Salud y Seguridad Social, 2017).

El agente infeccioso es aquel patógeno capaz de colonizar o crear la infección. La infección hace referencia a la presencia del microorganismo en el tejido del huésped, en donde induce una respuesta inmune provocando la aparición de síntomas y signos; en tanto que la colonización es la presencia del microorganismo en el tejido, al igual que la infección, pero no se muestran signos y síntomas, además que puede existir o no una respuesta inmune (PAHO, 2018).

El reservorio, es el hábitat en donde crece, se desarrolla y sobrevive el microorganismo, puede ser de dos clases: objeto inanimado y un ser animado. El primero se refiere a cualquier objeto que esté cerca del huésped, estos elementos pueden ser dispositivos, equipamientos médicos, entre otros; y el segundo hace referencia al paciente infectado o colonizado por un microorganismo o a portadores, esto incluye tanto al paciente como al personal de salud (Taiyaba et al., 2018)

La puerta de salida es aquel punto en donde el agente infeccioso sale del huésped, las principales puertas de salida son el tracto respiratorio superior, tracto digestivo, áreas cercanas a heridas infectadas, tracto genitourinario, sangre o la transmisión de una madre a su hijo en el embarazo (Reuter et al., 2022).

El modo o mecanismo de transmisión, es la manera en el cual el agente infeccioso viaja desde el portal de salida del reservorio hasta el portal de entrada en el huésped susceptible, este agente puede viajar a través de diferentes vías. La principal es aquella que se da por



contacto, la cual se puede clasificar en directo, indirecto y por gotas (Friedman & Newsom, 2011). La transmisión por contacto directo se da a través de dos superficies corporales o por transferencia física de un microorganismo entre una persona colonizada y un huésped susceptible, mediante líquidos corporales; también se puede producir por contacto directo por parte de un profesional de salud sin las medidas de bioseguridad (PAHO, 2018).

La transmisión por contacto indirecto se da por la relación entre un huésped susceptible y un objeto intermedio, que por lo general son inertes: agujas, apósitos, guantes contaminados, fómites, equipos, superficies, entre otros. La transmisión por gotas se relaciona con las gotículas que se producen al toser, estornudar o hablar, llegando al huésped susceptible. Las gotículas al ser muy pequeñas pueden permanecer en suspensión solo unos segundos (PAHO, 2018).

También existen otras vías, estas son por vehículo y por vectores. La transmisión por vehículo ocurre mediante objetos contaminados como alimentos, agua, dispositivos, productos biológicos, equipo médico, entre otros. Mientras que la transmisión por vectores, como su nombre lo dice, se da por vectores como mosquitos, garrapatas, entre otros (Taiyaba et al., 2018)

La puerta de entrada es el punto en donde el agente infeccioso ingresa al huésped susceptible, las principales puertas consideradas son las mismas que las puertas de salida (Reuter et al., 2022).

Finalmente, el huésped susceptible, es la persona cuyo sistema inmune es deficiente o carece del mismo, razón por la cual no tiene defensas ante cualquier organismo invasivo (Taiyaba et al., 2018)

1.1.3. IAAS asociado a superficies inertes

En los entornos hospitalarios, las superficies inertes se pueden clasificar en dos tipos: las superficies de alto y bajo contacto. Las superficies de alto contacto incluyen aquellas que son tocadas frecuentemente por pacientes, personal de salud y visitantes, como barandales de camas, interruptores de luz, manijas de puertas y teclados de computadoras. Las superficies de bajo contacto, por otro lado, son aquellas que se tocan menos frecuentemente, como las paredes y el suelo (Carling et al., 2010; Jabłońska et al., 2022).

Las superficies de alto contacto tienen un mayor riesgo de ser reservorios de microorganismos patógenos debido a la frecuencia y diversidad de contactos. Por ejemplo,



varios estudios han demostrado que las manijas de las puertas y los interruptores de luz pueden albergar bacterias como *Staphylococcus aureus* y *Clostridioides difficile*. Estos patógenos pueden sobrevivir en superficies inanimadas durante días o incluso semanas, facilitando la transmisión a pacientes y personal de salud (Jabłońska et al., 2022).

Adicionalmente, se ha propuesto una nueva clasificación de las superficies inanimadas en base al riesgo de infección al momento de su uso. Pudiendo diferenciarse tres categorías: críticas, son aquellas superficies u objetos que están expuestos a áreas estériles; las semicríticas son aquellas que están en contacto con las membranas mucosas, y las superficies no críticas, están en contacto con la piel o entran en contacto con personas de manera indirecta, estas pueden limpiarse y desinfectarse (Cobrado et al., 2017).

Por otro lado, el riesgo de transmisión depende de la capacidad que tenga el agente patógeno para sobrevivir a las condiciones ambientales como la naturaleza de la superficie, humedad, temperatura y capacidad de sobrevivir a biocidas; también, depende de la higiene por parte del personal de salud (Cobrado et al., 2017).

1.2. Microorganismos asociados a IAAS

Los microorganismos asociados a IAAS en el ambiente hospitalario son virus, hongos y bacterias. Dentro de las bacterias más comunes causantes de enfermedades se pueden distinguir dos grandes grupos: Gram negativas y Gram positivas.

Se estimaba que el 90% de las IAAS eran causadas por microorganismos como: Escherichia coli, Klebsiella pneumoniae, Staphylococcus aureus, Streptococcus spp, Enterococcus spp, Pseudomonas aeruginosa, entre otros (Arango et al., 2018). Sin embargo, en una revisión bibliográfica sobre IAAS en artículos publicados Ayovi y Castro (2023) reportaron como agentes etiológicos predominantes las bacterias Gram negativas como: Acinetobacter baumannii, Pseudomonas aeruginosa, Klebsiella pneumoniae y Escherichia coli, y en menor proporción bacterias Gram positivas, principalmente Staphylococcus aureus y Staphylococcus coagulasa negativo (Ayovi & Castro, 2023).

Dentro de las bacterias se ha podido identificar un grupo denominado "ESKAPE", el cual está constituido por bacterias Gram negativas, como *Escherichia coli, Klebsiella pneumoniae, Acinetobacter baumannii, Pseudomonas aeruginosa y Enterobacter spp; y* Gram positivas como *Staphylococcus aureus y Enterococcus spp.* Dicho grupo se ha considerado como el principal responsable de las IAAS debido a que tienen mayor resistencia a los antibióticos (Camacho Silvas, 2023).



1.2.1. Mecanismos de resistencia de los microorganismos

La resistencia antimicrobiana es definida como la capacidad de los microorganismos para sobrevivir bajo la acción de agentes antimicrobianos. Dentro de estos agentes se encuentran antibióticos y desinfectantes, los cuales tienen diferentes vías de actuación capaces de alterar o modificar funciones, como la inhibición de la síntesis de proteínas en el caso de macrólidos y tetraciclinas; o la inhibición de vías metabólicas por las sulfonamidas (Abushaheen et al., 2020).

La resistencia antimicrobiana puede originarse por mecanismos intrínsecos o extrínsecos. El primero es aquel asociado a una propiedad innata del microorganismo, mientras que el de origen extrínseco se presenta como cambios en la composición genética, o por mecanismos de transferencia genética. Siendo la de mayor importancia la resistencia transmisible producida por la transferencia de plásmidos de una célula a otra, lo que permite a los genes de resistencia propagarse entre las comunidades bacterianas (Acosta & Vargas, 2018; Camacho Silvas, 2023).

Según el Centro Europeo para la Prevención y el Control de Enfermedades (ECDC) y el CDC, la resistencia bacteriana se puede clasificar en tres tipos: multirresistencia (MDR), cuando existe ausencia de sensibilidad al menos a un antibiótico de tres familias o más; resistencia extendida (XDR) cuando existe ausencia de sensibilidad al menos a un antibiótico de todas las familias a excepción de una o dos; y la panrresistencia (PDR) que se presenta como la ausencia de sensibilidad a todos los antibióticos de todas las familias (Camacho Silvas, 2023).

En 2017, el grupo "ESKAPE" fue establecido por la OMS como "estatus prioritario" para el desarrollo de nuevos antibióticos. Las principales resistencias antimicrobianas que presenta este grupo son: *Enterococcus faecium* resistente a vancomicina (VRE), *Staphylococcus aureus* resistente a meticilina (MRSA), *Klebsiella pneumoniae* resistente a carbapenémicos (CRKP) y *Acinetobacter baumannii* resistente a carbapenémicos y betalactámicos (De Oliveira et al., 2020).

La mayoría de los microorganismos asociados a las IAAS tienen la capacidad de sobrevivir en superficies inertes; capacidad que dependerá de la naturaleza de la superficie, condiciones ambientales (temperatura, humedad), y sistemas de desinfección (López, 2014). Los biocidas son compuestos ampliamente usados para el control microbiológico, ya que tienen la capacidad de neutralizar, controlar o disminuir la carga bacteriana; por lo que



su mecanismo de acción es similar al de los antibióticos, pero con una actividad inespecífica. Estas sustancias se pueden clasificar según su objetivo en desinfectantes, antisépticos y esterilizantes. Los desinfectantes son aquellos usados sobre objetos inanimados, mientras que los antisépticos impiden el crecimiento microbiano en superficies corporales (Chacón & Rojas, 2020).

Uno de los mecanismos de resistencia que se presenta frecuentemente es la formación de biopelículas o "biofilms", definidas como comunidades de microorganismos adheridos a una superficie. Las biopelículas actúan como una capa protectora de las células bacterianas, haciéndolas más resistentes a la inactivación mediante agentes químicos. Se ha observado la formación de biopelículas en varios dispositivos médicos tanto permanentes como reutilizables, considerándose estos últimos como un riesgo controlable mediante la desinfección rápida tras su uso (Patiño et al., 2018; Roberts, 2013)

1.3. Monitoreo microbiológico de superficies

La microbiología ambiental se centra en el estudio de los microorganismos en diversos entornos, con un enfoque particular en los hospitales, donde las superficies pueden convertirse en reservorios de patógenos. La microbiología de superficies analiza la presencia, el comportamiento y la persistencia de microorganismos en superficies inanimadas, tales como equipos médicos, mobiliario y otras áreas dentro de los hospitales. Este control microbiológico permite obtener información sobre la efectividad de las barreras de seguridad, así como de los procesos de limpieza y desinfección de áreas e instrumentos (Mena et al., 2017). Debido a ello, este campo es crucial para comprender cómo los patógenos se propagan en entornos clínicos, y para desarrollar estrategias efectivas de control y prevención de infecciones.

1.3.1. Relevancia en la Salud Pública

La contaminación de superficies en entornos hospitalarios tiene un impacto significativo en la salud pública. Los microorganismos patógenos presentes en estas superficies pueden ser transferidos a los pacientes y al personal de salud, contribuyendo a la propagación de infecciones asociadas a la atención sanitaria. Estas infecciones, adquiridas dentro del hospital, representan un problema crítico en términos de morbilidad, mortalidad y costos económicos (Magill et al., 2018).

La carga económica de las infecciones nosocomiales es considerable, incluyendo costos directos asociados con tratamientos médicos prolongados y costos indirectos como pérdida



de productividad y daños reputacionales para las instituciones de salud. Además, la prevalencia de patógenos resistentes a múltiples fármacos en entornos hospitalarios agrava el problema, dificultando el tratamiento eficaz de estas infecciones (Cassini et al., 2016).

La microbiología de superficies es esencial para mejorar la seguridad del paciente y la calidad de la atención médica. Mediante el monitoreo y control de la contaminación microbiana en superficies, es posible reducir la incidencia de IAAS y mejorar los resultados de salud de los pacientes. Implementar prácticas de limpieza y desinfección basadas en evidencia científica y realizar evaluaciones periódicas de su eficacia son pasos fundamentales para alcanzar estos objetivos (Rutala & Weber, 2019).

1.3.2. Métodos para control microbiológico de superficies inertes

La incidencia de las IAAS se considera un indicador de la calidad asistencial, el cual se puede evaluar mediante controles microbiológicos de superficies inertes; lo que a su vez permite detectar fallos en los sistemas de limpieza y desinfección. A pesar de ello, no se ha llegado a un consenso acerca de la necesidad de realizar estos controles, ni tampoco existe una metodología estándar para su aplicación (Blázquez et al., 2018)

1.3.2.1 Métodos de muestreo

El muestreo adecuado de superficies es crucial para la detección precisa de microorganismos patógenos. Protocolos estandarizados garantizan la representatividad y reproducibilidad de los resultados, permitiendo una evaluación precisa de la carga microbiana y la efectividad de las medidas de control. Según Weiner-Lastinger et al. (2020), la implementación de procedimientos de muestreo consistentes y bien documentados es fundamental para identificar áreas críticas de contaminación y monitorear la eficacia de las intervenciones de limpieza y desinfección.

Algunos autores recomiendan realizar el muestreo tras el proceso de desinfección para evaluar la eficacia de este. Asimismo, se debe realizar en condiciones pasivas; es decir, no se recomienda realizar el monitoreo ambiental durante procedimientos médicos (Blázquez et al., 2018; Mena et al., 2017; Oteo et al., 2017).

La recolección de muestras de superficies en entornos hospitalarios puede realizarse mediante diversas técnicas, cada una con sus ventajas y limitaciones. Los hisopos estériles se utilizan comúnmente para muestrear superficies pequeñas y de difícil acceso. Estos hisopos, generalmente fabricados de algodón o poliéster, se humedecen en una solución salina estéril antes de ser pasados sobre la superficie objetivo, permitiendo la recolección



de bacterias, virus y hongos presentes. Las muestras recolectadas se transfieren a medios de cultivo para su análisis (Jansson et al., 2020; Egea et al., 2021).

1.3.3.2 Análisis microbiológico

Los procedimientos de laboratorio para el análisis microbiológico de muestras ambientales son fundamentales para la detección y caracterización de microorganismos patógenos en entornos hospitalarios. Estos procedimientos comienzan con el cultivo de microorganismos en medios específicos que favorecen su crecimiento y permiten su posterior identificación. El uso de medios selectivos y diferenciales facilita la recuperación de microorganismos específicos y la evaluación de su susceptibilidad a los antimicrobianos (Bardbari et al., 2020). Tras la recolección de las muestras, varios autores recomiendan que el procesamiento debe ser inmediato, caso contrario las muestras se deben refrigerar entre 2 a 8°C máximo 24 horas (Blázquez et al., 2018; Oteo et al., 2017).

1.3.3.3. Determinación de la carga microbiana

La cuantificación de microorganismos es esencial para evaluar la carga microbiana en superficies hospitalarias y determinar la efectividad de las medidas de control. Se utiliza comúnmente la técnica de unidades formadoras de colonias (UFC), donde se cuentan las colonias que se desarrollan en placas de Petri después de la incubación. Este método proporciona una estimación del número de microorganismos viables presentes en la muestra, reflejando así la contaminación real y el riesgo potencial de transmisión (Szermer et al., 2014).

1.3.3.4 Susceptibilidad antimicrobiana

La prueba de susceptibilidad antimicrobiana se realiza siempre y cuando se desee detectar la presencia de bacterias multirresistentes. La determinación de bacterias multirresistentes se puede hacer por métodos de difusión en disco o por métodos de dilución en caldo o en agar bajo los criterios del Instituto de Estándares Clínicos y de Laboratorio (CLSI, *Clinical Laboratory Standard Institute*), permitiendo una categorización de la susceptibilidad antimicrobiana como sensible, sensible dosis dependiente, intermedio o resistente (Cavalieri, 2020).



1.4 Normativas Locales e Internacionales de control de IAAS

La prevención y control de infecciones nosocomiales están regidos por diversas normativas y guías, tanto a nivel local como internacional. En Ecuador, el Ministerio de Salud Pública establece regulaciones y protocolos específicos para el control de infecciones en entornos hospitalarios. Internacionalmente, organizaciones como la Organización Mundial de la Salud y los Centros para el Control y la Prevención de Enfermedades proporcionan directrices basadas en evidencia para la prevención y manejo de infecciones nosocomiales (Weiner et al., 2020).

La actualización periódica de estas normativas en base a nuevos hallazgos científicos avances tecnológicos es crucial para mantener su relevancia y efectividad (WHO, 2020). Además, la colaboración internacional y el intercambio de mejores prácticas entre países pueden fortalecer las estrategias de control de infecciones a nivel global (CDC, 2024). La implementación efectiva de estas normativas requiere el compromiso y la coordinación entre diferentes niveles del sistema de salud, desde las autoridades sanitarias hasta el personal de primera línea.

1.5. Importancia de la vigilancia microbiológica

La vigilancia microbiológica regular de superficies en entornos hospitalarios es esencial para la prevención de IAAS. El monitoreo continuo permite la detección temprana de brotes y la implementación inmediata de medidas correctivas. La recopilación de datos a lo largo del tiempo proporciona una comprensión más profunda de los patrones de contaminación y la efectividad de las intervenciones implementadas (Shukla et al., 2021).

La vigilancia microbiológica no solo ayuda en la detección de patógenos, sino también en la evaluación de la efectividad de las intervenciones de control de infecciones. Comparar los niveles de contaminación antes y después de la implementación de nuevas prácticas de desinfección o cambios en los protocolos de higiene puede proporcionar información crucial sobre qué estrategias son más efectivas en la reducción de la carga microbiana (Magill et al., 2018; Christenson et al., 2021).

Los estudios han mostrado que las auditorías regulares y la retroalimentación basada en datos de vigilancia pueden mejorar significativamente las prácticas de limpieza y desinfección. La incorporación de tecnologías de visualización y trazabilidad de datos permite a los equipos de control de infecciones realizar un seguimiento preciso del cumplimiento de los protocolos y realizar ajustes en tiempo real (Cohen et al., 2020). Esta



metodología basada en datos es esencial para la mejora continua de las estrategias de prevención y control de infecciones.

La implementación de un programa robusto de vigilancia microbiológica fomenta una cultura de mejora continua en los entornos hospitalarios. Los datos recopilados pueden informar decisiones sobre la actualización de protocolos de limpieza, la introducción de nuevas tecnologías de desinfección y la capacitación adicional del personal (Boyce, 2020). Este enfoque proactivo es fundamental para mantener altos estándares de seguridad y calidad en la atención médica.



2. Metodología

2.1. Diseño de estudio

Se realizó un estudio analítico y de corte transversal con el objetivo de determinar la presencia o ausencia de microorganismos patógenos sobre superficies inanimadas del centro de salud "Mariano Estrella" ubicado en la ciudad de Cuenca, provincia del Azuay.

2.2. Población

La población corresponde al ambiente de los servicios de Consulta Externa y Emergencia del centro de salud "Mariano Estrella" ubicado en la ciudad de Cuenca, provincia del Azuay.

2.3. Muestras

Las muestras fueron definidas en conjunto con la Dirección de Medicina y Salud Ocupacional, en base a criterios de contacto directo y puntos críticos tanto para el personal sanitario, pacientes atendidos en la casa de salud o sus acompañantes. En total se analizaron 250 muestras, obteniéndose 83 y 167 muestras para el área de Emergencia y Consulta Externa respectivamente. En el *Anexo 1* se presenta cada subárea con la superficie muestreada.

2.4. Autorización por parte del MSP para el acceso y toma de muestras en el centro de salud "Mariano Estrella"

Para acceder al centro de salud "Mariano Estrella" y llevar a cabo la toma de muestras en el área de Consulta Externa y Emergencia, fue necesario realizar una solicitud dirigida a la Sra. Directora Distrital 01D04 Chordeleg - Gualaceo. Por lo tanto, se desarrolló una solicitud de carta de interés (*Anexo 2*) y un acta de acceso a información (*Anexo 3*) indicando el estudio que se realizaría, y adjuntado a ello el borrador de dicho estudio, en este caso se adjuntó el anteproyecto aprobado por el tutor y la Comisión de Titulación de la Universidad de Cuenca; adicionalmente se envió la carta de aprobación del tema por parte del tutor del trabajo de titulación curricular (*Anexo 4*) y un cronograma tentativo indicando el día en que se llevaría a cabo la toma de muestras (*Anexo 6*). Después de entregar los documentos en la ventanilla única se esperó la respuesta por parte del Ministerio de Salud Pública del Ecuador, la cual consistió en un memorándum y la creación de una cuenta Quipux (*Anexo 7*).



2.4. Método de muestreo

El método de muestreo se seleccionó de acuerdo con la norma ISO 14698-1. Se aplicó el método de hisopado a superficies irregulares y regulares. Teniendo en cuenta un área de 100 cm² para las superficies regulares.

2.4.1. Recolección de muestras

El muestreo se realizó entre las 13h00 y 15h30, horario en el cual la aglomeración de pacientes era mínima. Sin embargo, en aquellos consultorios en los cuales se estaban llevando a cabo procedimientos médicos no se efectuó la toma de muestra en ese momento. Por otra parte, tras la toma de muestra se procedió a desinfectar la superficie monitoreada mediante alcohol al 70%.

Superficies regulares

Se delimitaron 100 cm² de superficie muestreada, y se frotó la superficie con el hisopo previamente esterilizado y humedecido en Caldo neutralizante D/E con Tween 50 (Condalab®), haciéndolo rotar en dirección horizontal y vertical sobre la superficie delimitada. El hisopo así utilizado se destinó en un tubo con 10 mL del Caldo neutralizante D/E con Tween 50 (Condalab®).

- Superficies irregulares

Se frotó la superficie con el hisopo previamente esterilizado y humedecido en Caldo neutralizante D/E con Tween 50 (Condalab®), haciéndolo rotar sobre toda la superficie. Los siguientes pasos se desarrollaron al igual que para superficies regulares.

Las muestras recolectadas se etiquetaron utilizando una codificación alfanumérica (N-D-M-S-SA-AR) compuesta por: el número de muestra correspondiente, que va desde la muestra 1 hasta la 250 (N); el día de la toma de muestra (D), el mes de la toma de muestra (M), la superficie muestreada (S), la subárea (SA) y el área a la que corresponde la superficie, ya sea de Consulta Externa (CE) o Emergencia (E). Tras la recolección, las muestras debidamente identificadas se transportaron en un contenedor isotérmico en el menor tiempo posible al Laboratorio de Microbiología de la Facultad de Ciencias Químicas de la Universidad de Cuenca para su procesamiento. En el *Anexo 1* se presenta la codificación correspondiente a cada punto de muestreo.



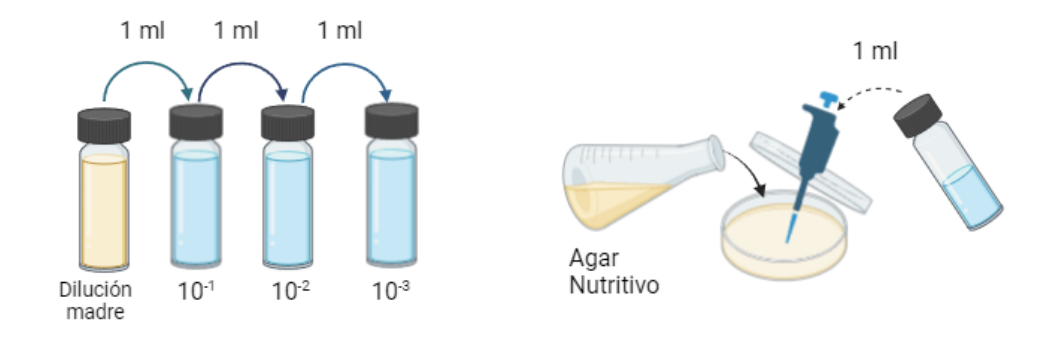
2.5. Procesamiento de las muestras

2.5.1. Recuento directo de células viables: Técnica por vertido en placa

El recuento de células viables se realizó por el método de vertido en placa. Para este método, a partir de la muestra madre (Caldo neutralizante D/E con Tween 50 e hisopo correspondiente a cada muestra), se realizaron diluciones seriadas con solución isotónica. Un volumen de 1 mL de la solución madre y de la dilución respectiva se colocó en el centro de una caja Petri (Figura 1) y posteriormente, se adicionó Agar Nutritivo (TM MEDIA®) y se homogeneizó con movimientos circulares. Se dejó en reposo hasta completa solidificación y se incubó la placa invertida durante 72 horas a 35°C ±2 °C en aerobiosis. El recuento de células viables se realizó a las 24, 48 y 72 horas.

Figura 1.

Diluciones seriadas y siembra por vertido en placa



Fuente: Elaboración propia

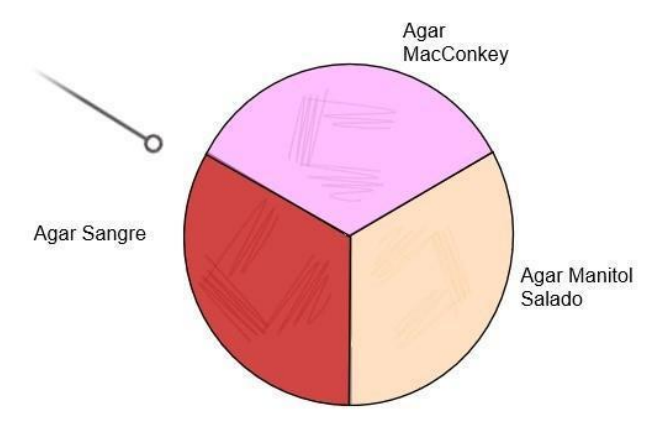
2.5.2. Identificación microbiana

Para la identificación de los microorganismos presentes en cada superficie, se incubó la muestra madre durante 18-24 horas a 35°C ± 2 °C en aerobiosis, con la finalidad de favorecer el desarrollo microbiano. Tras 18-24 horas de incubación, cada muestra se sembró por la técnica de agotamiento en medios selectivos y diferenciales: Agar Sangre (TM MEDIA®), Agar Manitol salado (TM MEDIA®) y Agar MacConkey (TM MEDIA®) (**Figura 2**). Posteriormente se incubaron en posición invertida durante 24 a 48 horas a 35°C ± 2 °C en aerobiosis.



Figura 2.

Caja tripetri con los medios de cultivo usados para el aislamiento microbiano



Fuente: Elaboración

propia

La identificación preliminar de las bacterias se realizó en base a las características de las colonias de los aislados en los medios de cultivo. Adicionalmente, para diferenciar cocos y bacilos, Gram positivos o Gram negativos se realizó la tinción de Gram; seguido de las pruebas de identificación bioquímica específicas para cada grupo de bacterias.

- Identificación de bacterias Gram positivas

Para aquellos microorganismos que a partir de la tinción de Gram se identificaron como cocos o bacilos Gram positivos, se procedió a realizar la prueba de la catalasa. En el caso de bacilos Gram positivos catalasa positivos, y de acuerdo con sus características morfológicas en Agar Sangre, se interpretó como *Bacillus spp*. Para cocos Gram positivos catalasa positivo, se realizó la prueba de la coagulasa para diferenciar *Staphylococcus aureus* de *Staphylococcus* coagulasa negativa. En tanto que, para cocos Gram positivos catalasa negativo se realizó la prueba de hidrólisis de la esculina y tolerancia a cloruro de sodio 6.5% para diferenciar *Enterococcus spp* de *Streptococcus spp*. Adicionalmente, se diferenció *Enterococcus faecalis* de *Enterococcus faecium* mediante la reducción del telurito de potasio.

Identificación de bacterias Gram negativas

Tras la identificación de bacilos Gram negativos mediante la tinción de Gram, se procedió a realizar la prueba de la oxidasa, interpretando a los bacilos Gram negativos oxidasa



negativo como Enterobacterales, y a los oxidasa positivo como No Enterobacterales. Para la identificación de Enterobacterales se realizaron pruebas bioquímicas como fermentación de hidratos de carbono, producción de la enzima ureasa, utilización de citrato, descarboxilación y/o desaminación de lisina, y producción de ácido sulfhídrico, indol y motilidad. En el caso de No Enterobacterales, se realizó la prueba de crecimiento a 42°C y producción de pigmentos en Agar Mueller Hinton (HIMEDIA ®).

2.5.3. Prueba de susceptibilidad antimicrobiana

Se realizó la prueba de susceptibilidad antimicrobiana para los microorganismos más frecuentes asociados a IAAS (Enterobacterales, No Enterobacterales, *Staphylococcus aureus* y *Enterococcus spp*). La prueba fue realizada en todas las cepas de acuerdo con el método de disco difusión de Kirby y Bauer en Agar Mueller Hinton (HIMEDIA ®) e interpretando los resultados con base al manual M100, CLSI (2023) (Bauer et al., 1966).

Para *Staphylococcus aureus* se consideró resistencia a meticilina, para *Enterococcus spp* la resistencia a la vancomicina, para Enterobacterales la producción de betalactamasas, principalmente betalactamasas de espectro extendido (BLEE) y carbapenemasas; y para No Enterobacterales la producción de cefalosporinasas y carbapenemasas.

2.6. Análisis estadístico

Los datos que se recolectaron fueron ingresados al programa Microsoft Excel 2020, donde se analizaron de manera descriptiva, con el objetivo de mostrar frecuencias y porcentajes. Los resultados se expresaron en tablas y gráficos.

2.7. Reporte y envío de resultados al MSP

Tras la determinación de la carga microbiana e identificación de los microorganismos, los resultados fueron tabulados en una matriz, y firmados por los autores y la tutora del Trabajo de Integración Curricular (*Anexo 8*) y entregados a la Dirección Distrital de Salud 01D04.

En el **Anexo 9** se presenta un esquema de la metodología llevada a cabo en el presente trabajo.



3. Resultados

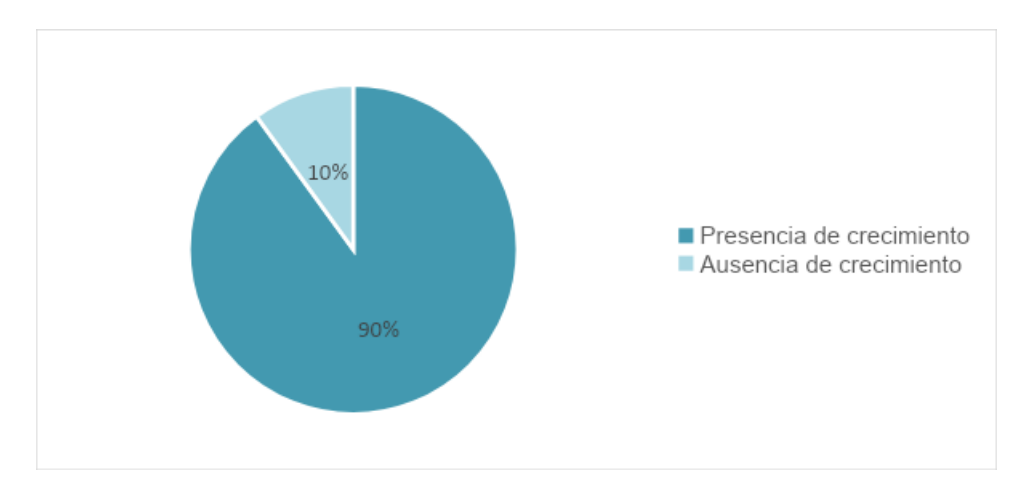
En el presente trabajo de titulación se analizó un total de 250 muestras, y se identificó la presencia de 372 microorganismos en las superficies inertes del área de Consulta Externa y Emergencia del centro de salud "Mariano Estrella", a partir de las cuales se obtuvieron los resultados que se presentan en esta sección.

3.1. Efectividad del proceso de desinfección

Del total de las muestras procesadas (250), el 90% presentó crecimiento microbiano, mientras que el 10% no presentó crecimiento microbiano.

Figura 3.

Crecimiento microbiano en el centro de salud "Mariano Estrella"



Fuente: Elaboración propia

3.2. Carga microbiana y recuento de microorganismo en las superficies

Las superficies muestreadas, incluyeron tanto superficies regulares e irregulares. En cuanto a las superficies regulares se encontró en promedio 2,52 UFC/cm² y para superficies irregulares 419 UFC/superficie en las áreas de Emergencia y Consulta Externa del centro de salud "Mariano Estrella".

Se determinaron 53 superficies regulares y 172 irregulares, existiendo predominancia de las últimas. Tanto en las áreas de Consulta Externa como de Emergencia, se obtuvo una mayor carga microbiana en superficies irregulares en contraste con las regulares, siendo mayor en el área de Emergencia. En la *Tabla 1* se detalla el promedio de la carga microbiana de acuerdo con el tipo de superficie y al área que corresponde.



Tabla 1.Carga microbiana y recuento de microorganismo en el área de Consulta Externa y Emergencia

	SUPERFICIE REGULAR (UFC/cm²)		SUPERFICIE IRREGULAR (UFC/superficie)	
	CONSULTA EXTERNA	EMERGENCIA	CONSULTA EXTERNA	EMERGENCIA
MIN	0,10	0,10	1,0	1,0
PROMEDIO	4,22	1,44	331,10	440,94
MÁX	92,0	1,60	15000,00	17800,00

3.3. Microorganismos identificados en Emergencia y Consulta Externa

De los cultivos que presentaron crecimiento microbiano (90%) se aislaron 372 microorganismos; cabe recalcar que hubo desarrollo de más de un microorganismo en varias muestras. Estos resultados se detallan en la *Tabla 2.*



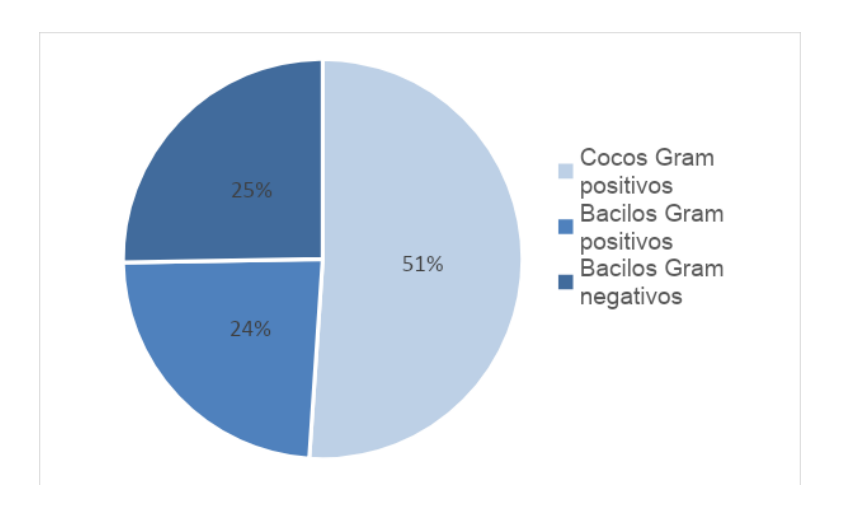
Tabla 2. *Microorganismos identificados en el centro de salud "Mariano Estrella"*

	Microorganismo	Frecuencia	Porcentaje
	Staphylococcus coagulasa negativo	138	37%
Cocos Gram	Staphylococcus aureus	23	6%
	Enterococcus faecalis	17	5%
positivos	Streptococcus spp	7	2%
	Enterococcus faecium	5	1%
Bacilos Gram	Bacillus spp	88	24%
positivos	Dacillus Spp		
	Enterobacter cloacae	48	13%
	Escherichia coli	13	3%
Basiles Oran	Pseudomonas spp.	8	2,4%
	Klebsiella spp.	11	3 %
Bacilos Gram	Citrobacter spp.	4	1,3%
negativos	Pantoea agglomerans	4	1%
	Escherichia hermanii	2	1%
	Morganella morganii	1	<1%
	Psycrobacter faecalis	1	<1%
Total		372	100%

El estudio evidenció que del 100% de microorganismos aislados, el 51% fueron cocos Gram positivos, el 24% bacilos Gram positivos y el 25% bacilos Gram negativos (*Figura 4*); siendo las bacterias identificadas con mayor frecuencia: *Staphylococcus* coagulasa negativo y *Bacillus spp*, seguido de microorganismos como *Enterobacter cloacae* (13%), *Staphylococcus aureus* (6%) y *Enterococcus faecalis* (5%).



Figura 4.Clasificación preliminar de los microorganismos aislados del centro de salud "Mariano Estrella" en base a la tinción de Gram



3.4. Distribución de microorganismos en el área de Consulta Externa y Emergencia

De los 372 microorganismos aislados, 268 se identificaron al área de Consulta Externa, lo cual representó el 72%; mientras que en el área de Emergencia se aislaron 104 microorganismos (28%). Los resultados se detallan en la *Tabla 3*.



Tabla 3.Distribución de microorganismos en el área de Consulta Externa y Emergencia

Área	Subárea	Frecuencia	Porcentaj
	Estadística- Admisión al usuario	31	12%
	Consultorio Odontología	23	9%
	Consultorio 1	21	8%
	Consultorio Pediátrico	21	8%
	Enfermería	20	7%
	Área de Farmacia	17	6%
	Laboratorio	21	8%
	Vacunación	15	6%
	Consultorio de Ginecología	14	5%
001011174	Comedor en área histórica	12	4%
CONSULTA	Consultorio 2	11	4%
EXTERNA	Consultorio 3	11	4%
	Consultorio de Medicina Familiar	10	4%
	Consultorio de Psicología	9	3%
	Área de casilleros y mesa de alimentación	7	3%
	Área de descanso de alfa 3	7	3%
	Consultorio de Nutrición	5	2%
	Dirección	4	1%
	Estimulación Temprana	3	1%
	Reloj biométrico	1	0%
	Total por área	268	72%
	Estación de Enfermería	38	37%
	Emergencia	16	15%
	Sala de procedimientos	14	13%
EMERGENCIA	Consultorio 1	13	13%
	Consultorio 2	12	12%
	Sala de observación	11	11%
	Total por área	104	28%
	TOTAL	372	100%



3.4.1 Frecuencia y porcentaje de los microorganismos identificados en Consulta Externa

En el área de Consulta Externa, las subáreas en donde se encontró mayor presencia de microorganismos fueron: área de enfermería, estadística, consultorio pediátrico, y consultorio 1 de atención a adolescentes. En las áreas mencionadas se aislaron 268 microorganismos (100%). De los cuales, se estableció que el microorganismo identificado con mayor frecuencia fue *Staphylococcus* coagulasa negativa (36%), seguido de *Bacillus spp* (21%). Adicionalmente, se identificaron otros microorganismos como *Enterobacter cloacae* (21%), *Enterococcus faecalis* (14%), *Staphylococcus aureus* (6%) y *Escherichia coli* (6%).

En las subáreas los microorganismos de mayor relevancia que se encontraron fueron los siguientes: en enfermería se encontró *Staphylococcus aureus*, el cual representó el 20%; en el consultorio pediátrico, se encontró *Escherichia coli* en un porcentaje de 10%; mientras que en el consultorio 1 se encontró mayor presencia de *Enterobacter cloacae* con 19%, y en estadística se encontró en su gran mayoría a *Staphylococcus aureus* (16%). Las demás subáreas con los microorganismos aislados se detallan en el *Anexo 11*.

3.4.2 Frecuencia y porcentaje de los microorganismos identificados en Emergencia

En el área de Emergencia, las subáreas donde se encontró mayor presencia de microorganismos fueron: estación de enfermería seguida de sala emergencia y consultorio 1.

En el área de Emergencia se encontraron un total de 104 microorganismos (100%)., siendo los más representativos: *Staphylococcus* coagulasa negativa (39%), seguido de *Bacillus spp* (30%), *Enterobacter cloacae* (10%), *Staphylococcus aureus* (8%) y *Pseudomonas stutzeri* (6%). Se pudo establecer que los microorganismos fueron similares a los encontrados en Consulta Externa, a excepción de *Pseudomona stutzeri*.

Adicionalmente, en la estación de enfermería y en el consultorio 1 se encontró *Staphylococcus* coagulasa negativo, lo cual representó el 39% y 46% de los microorganismos aislados, respectivamente. En la sala de emergencia se encontró a *Bacillus spp* en 38%. Las demás subáreas se detallan en el *Anexo 12*.



3.5 Superficies más susceptibles a la contaminación microbiana

Dentro de las subáreas de Consulta Externa, se estableció que, el sector de toma de muestra del laboratorio fue la subárea con mayor carga microbiana en cuanto a las superficies regulares. Mientras que el consultorio pediátrico fue la subárea con mayor cantidad de microorganismos con respecto a las superficies irregulares. Además, la superficie más contaminada dentro de cada grupo fue: mesa de vidrio de almacenamiento de muestras en superficies regulares, y teclado de computadoras para superficies irregulares. Las demás superficies y su respectiva carga microbiana de acuerdo con el tipo de superficie se detallan en la *Tabla 4*; y en el *Anexo 10* se detalla cada una de las superficies muestreadas con su respectiva carga microbiana.



Tabla 4.Superficies y carga microbiana en el área de Consulta Externa

ÁREA DE CONSULTA EXTERNA	SUPERFICIE REGULAR (UFC/cm²)	SUPERFICIE IRREGULAR (UFC/superficie)
SUBÁREA		
Área de casilleros y mesa de alimentación	0,70	620,00
Área de curaciones	-	20,00
Área de descanso y de alfa 3	1,07	1300,00
Área de Farmacia	0,45	82,50
Comedor en Área Histórica	4,74	-
Consultorio 1	0,30	10,00
Consultorio 2	0,73	34,00
Consultorio de Ginecología	7,55	208,60
Consultorio de Medicina Familiar	1,20	230, 25
Consultorio de Nutrición	2,95	-
Consultorio de Odontología	1,00	479,17
Consultorio de Psicología	0,30	90,20
Consultorio Pediátrico	0,20	1370,80
Consultorio 3	2,00	105,00
Dirección	-	60,00
Enfermería	1,00	112,00
Estadística- Admisión al usuario	1,40	464,43
Estimulación Temprana	0,30	40,00
Laboratorio Área Administrativa	-	306,00
Laboratorio Área de toma de muestras	46,30	240,00
Laboratorio Área Operativa	0,60	63,33
Reloj biométrico		10,00
Vacunación	2,65	35,85

Fuente: Elaboración propia

Por otro lado, en el área de Emergencia, el consultorio 1 fue la subárea más contaminada dentro de las superficies irregulares, mientras que, la sala de emergencia es la subárea con mayor carga microbiana dentro de las superficies regulares.



Tabla 5.Superficies y carga microbiana en el área de Emergencia

ÁREA DE EMERGENCIA	SUPERFICIE REGULAR (UFC/cm²)	SUPERFICIE IRREGULAR (UFC/superficie)
SUBÁREA		
Consultorio 1	1,00	2647,29
Consultorio 2	1,00	40,00
Sala de emergencia	3,80	45,17
Estación de enfermería	-	116,50
Sala de observación	0,78	10,00
Sala de procedimientos	1,00	26,40

Fuente: Elaboración propia

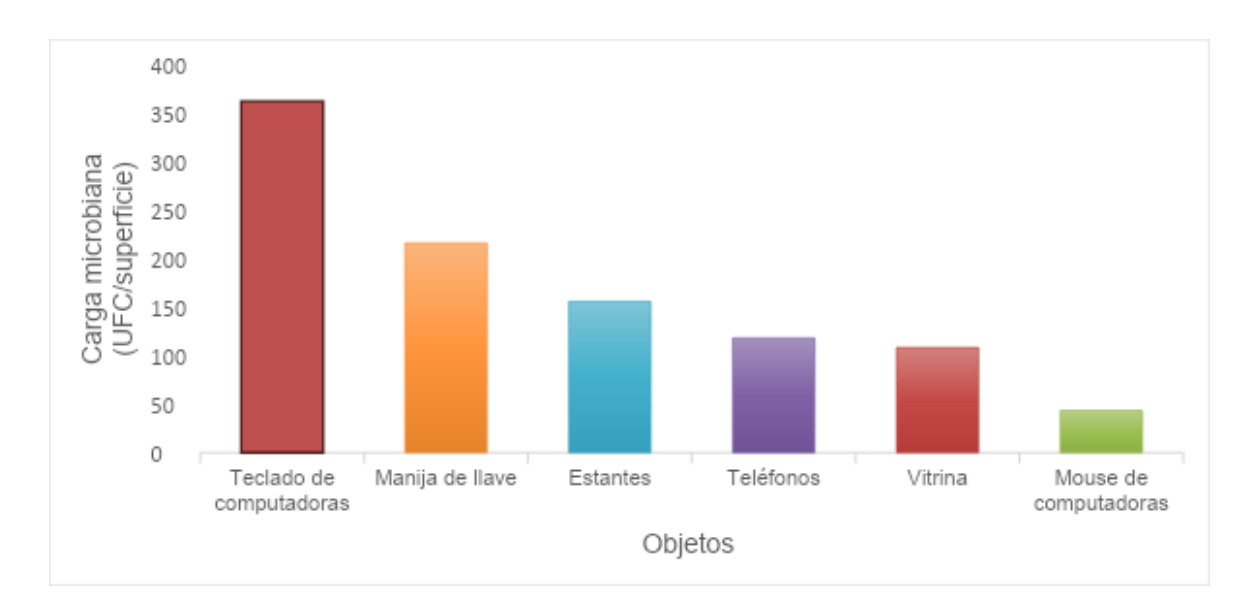
Los objetos o superficies más contaminados dentro del centro de salud fueron el teclado y mouse de escritorio, así como las vitrinas en donde se guardan ya sea insumos médicos, medicamentos, entre otros. El microorganismo que se encontró con mayor frecuencia fue *Staphylococcus* coagulasa negativo con 3%; mientras que dentro de los microorganismos patógenos *Enterobacter cloacae* fue el que más se encontró (13%).

En el área de Consulta Externa, la superficie con mayor proporción de microorganismos fue el teclado de escritorio (12%), seguido del mouse de escritorio (10%) y estantes (9%) (*Figura 5*). En estas superficies, además de *Staphylococcus* coagulasa negativo (36%), se encontró principalmente a *Enterobacter cloacae* (14%). Mientras que, en el área de Emergencia al igual que en Consulta Externa, se aisló a *Staphylococcus* coagulasa negativo (39%), y se encontró a *Staphylococcus aureus* como agente principal en teclados de escritorio (29%) y veladores (43%), también se identificó a *Enterobacter cloacae* (12%) y *Pseudomonas stutzeri* (12%) en la vitrina. En la *Figura 5* se detallan los principales objetos/superficies más susceptibles a contaminación microbiana en el centro de salud "Mariano Estrella" en las áreas de Consulta Externa y Emergencia.



Figura 5.

Objetos más susceptibles a la contaminación



Fuente: Elaboración propia

Se evaluó la resistencia de los microorganismos frente a antibióticos en base a los mecanismos de resistencia más frecuentes. Los antibióticos empleados corresponden a los que comúnmente se utilizan para el tratamiento de las infecciones causadas por estos microorganismos. La evaluación de la susceptibilidad para cocos Gram positivos se dividió en dos grupos, el primero para *Staphylococcus aureus* que presentó una sensibilidad de 100% frente a oxacilina al utilizar el disco de cefoxitin (*Tabla 6*); y el segundo grupo fue especies de *Enterococcus*, en el cual se evaluó la resistencia a ampicilina y vancomicina; encontrándose una resistencia de 64% para ampicilina siendo mayor para *E. faecium* (40%) en comparación con *E. faecalis*. En tanto que, las dos especies de *Enterococcus* presentaron sensibilidad a vancomicina (100%) (*Tabla 7*).

 Tabla 6.

 Susceptibilidad antimicrobiana para Staphylococcus aureus

ANTIBIÓTICO	S	I	R
ANTIBIOTIOO	n (%)	n (%)	n (%)
Oxacilina	23 (100)	-	-

Nota. S: sensible; I: intermedio; R: resistente

Fuente: Elaboración propia

Tabla 7.Susceptibilidad antimicrobiana para especies de Enterococcus

MICROORGANISMO	ANTIBIÓTICO .	S	I	R
MICROORGANISMO	ANTIBIOTICO .	n (%)	n (%)	n (%)
T formalia	Vancomicina	17 (100)	-	-
E. faecalis	Ampicilina	13 (76)	-	4 (24)
E fossium	Vancomicina	5 (100)	-	-
E. faecium	Ampicilina	3 (60)	-	2 (40)

Nota. S: sensible; I: intermedio; R: resistente

Fuente: Elaboración propia

Para los No Enterobacterales, se evaluaron los mecanismos de resistencia frente a cefalosporinas y carbapenémicos. Se pudo detectar que *Pseudomonas spp* es sensible a ceftazidima, cefepime e imipenem en 100%. En la *Tabla 8* se desglosan los porcentajes para las especies de *Pseudomonas spp* encontradas en el centro de salud "Mariano Estrella".



Tabla 8.
Susceptibilidad antimicrobiana para No Enterobacterales

MICROORGANISMO	ANTIBIÓTICO	S	I	R
MIOROGROAMONO	ANTIBIOTIOO	n (%)	n (%)	n (%)
	Ceftazidima	5 (100)	-	-
P. stutzeri	Cefepime	5 (100)	-	-
	Imipenem	5 (100)	-	-
•	Ceftazidima	1 (100)	-	-
P. putida	Cefepime	1 (100)	-	-
	Imipenem	1 (100)	-	-

Nota. S: sensible; I: intermedio; R: resistente

Fuente: Elaboración propia

En el caso de Enterobacterales, se evaluó el mecanismo de resistencia frecuentemente relacionado a este tipo de bacterias, que son las betalactamasas de espectro extendido (BLEE) y carbapenemasas. De los Enterobacterales, ninguna de las bacterias identificadas presentó mecanismo de resistencia por β -lactamasas; es decir, ninguna bacteria identificada presentó resistencia a los antibióticos β -lactámicos a más de las resistencias naturales de cada género bacteriano que pueden o no detectarse *in vitro* (*Tabla 9*).

Tabla 9.Susceptibilidad antimicrobiana para Enterobacterales

MICDOODCANICAG					ANTIBIÓTICOS	6		
MICROORGANISMO	•	AM	AMC	CRO	FOX	ATM	CAZ	IPM
Citrobacter freundii	1 (100)							
Sensible	n (%)	1 (100)	1 (100)	1 (100)	1 (100)	1 (100)	1 (100)	1 (100)
Intermedio	n (%)	-	-	-	-	-	-	-
Resistente	n (%)	-	-	-	-	-	-	-
Citrobacter koseri	4 (100)							
Sensible	n (%)	-	2 (50)	4 (100)	3 (75)	4 (100)	4 (100)	4 (100)
Intermedio	n (%)	-	-	-	-	-	-	-
Resistente	n (%)	4 (100)	2 (50)	-	1 (25)	-	-	-
Enterobacter cloacae	48 (100)							
Sensible	n (%)	6 (12)	4 (8)	47 (98)	31 (65)	48 (100)	46 (96)	46 (96)
Intermedio	n (%)	-	-	-	-	-	-	-
Resistente	n (%)	42 (88)	44 (92)	1 (2)	17 (35)	-	2 (4)	2 (4)
Escherichia coli	13 (100)							
Sensible	n (%)	2 (15)	12 (92)	13 (100)	13 (100)	13 (100)	9 (69)	10 (77)
Intermedio	n (%)	-	-	-	-	-	-	-
Resistente	n (%)	11 (85)	1 (8)	-	-	-	4 (31)	3 (23)
Escherichia hermannii	2 (100)							
Sensible	n (%)	-	2 (100)	2 (100)	2 (100)	2 (100)	2 (100)	2 (100)
Intermedio	n (%)	-	-	-	-	-	-	-
Resistente	n (%)	2 (100)	-	-	-	-	-	-

MICROORGANISMO					ANTIBIÓTICOS	3		
		AM	AMC	CRO	FOX	ATM	CAZ	IPM
Klebsiella aerogenes	6 (100)							
Sensible	n (%)	-	3 (50)	6 (100)	2 (33)	6 (100)	6 (100)	5 (83)
Intermedio	n (%)	-	2 (33)	-	1 (17)	-	-	1 (17)
Resistente	n (%)	6 (100)	1 (17)	-	3 (50)	-	-	-
Klebsiella oxytoca	1(100)							
Sensible	n (%)	-	1 (100)	1 (100)	-	1 (100)	1 (100)	1 (100)
Intermedio	n (%)	-	-	-	-	-	-	-
Resistente	n (%)	1 (100)	-	-	1 (100)	-	-	-
Klebsiella pneumoniae	4 (100)							
Sensible	n (%)	1 (25)	3 (75)	4 (100)	4 (100)	4 (100)	4 (100)	4 (100)
Intermedio	n (%)	-	-	-	-	-	-	-
Resistente	n (%)	3 (75)	1 (25)	-	-	-	-	-
Morganella morganii	1 (100)							
Sensible	n (%)	-	1 (100)	1 (100)	1 (100)	1 (100)	1 (100)	1 (100)
Intermedio	n (%)	-	-	-	-	-	-	-
Resistente	n (%)	1 (100)	-	-	-	-	-	-
Pantoea agglomerans	4 (100)							
Sensible	n (%)	-	4 (100)	4 (100)	3 (75)	4 (100)	4 (100)	4 (100)
Intermedio	n (%)	1 (25)	-	-	-	-	-	-
Resistente	n (%)	3 (75)	-	-	1 (25)	-	-	-



MICROORGANISMO		ANTIBIÓTICOS						
	·	АМ	AMC	CRO	FOX	ATM	CAZ	IPM
Psycrobacter faecalis	1 (100)							
Sensible	n (%)	-	-	-	-	-	-	-
Intermedio	n (%)	-	-	-	-	-	-	-
Resistente	n (%)	1 (100)	1 (100)	1 (100)	1 (100)	1 (100)	1 (100)	1 (100)

Nota. AM: Ampicilina, AMC: Amoxicilina/Ácido clavulánico, CRO: Ceftriaxona, FOX: Cefoxitin, ATM: Aztreonam, CAZ: Ceftazidime, IPM: Imipenem

Fuente: Elaboración propia



4. Discusión

La contaminación de superficies en entornos sanitarios tiene un impacto significativo en la salud pública. Los microorganismos patógenos presentes en estas superficies pueden ser transferidos a los pacientes y al personal de salud, contribuyendo a la propagación de IAAS. Estas infecciones, adquiridas dentro del hospital, representan un problema crítico en términos de morbilidad, mortalidad y costos económicos; por ello se decidió realizar el presente estudio.

En el estudio realizado, se refleja que existe una contaminación microbiana del 90% de las superficies muestreadas. En un estudio en Nigeria y Etiopía se reportaron tasas de contaminación más bajos entre 39,6% y 46,7% (Chaoui et al., 2019). En contraste, en un hospital de Perú Plasencia et al., (2021) informó un crecimiento microbiano del 97,4% (Plasencia et al., 2021). Esta variación en la contaminación microbiana puede deberse al impacto de diversos factores como: condiciones de la institución donde se evalúa, de una institución a otra, de un país a otro; y también de acuerdo con la cantidad de pacientes, viabilidad de los microorganismos, proceso de limpieza y los biocidas utilizados en el mismo (Chaoui et al., 2019). La contaminación microbiana suele ser mayor en hospitales, por lo que encontrar datos similares o mayores a los estudios revisados representa un riesgo elevado a la aparición de IAAS (Belay et al., 2024).

La carga microbiana promedio encontrada en el centro de salud "Mariano Estrella" fue de 2,52 UFC/cm² y de 419 UFC/superficie, en superficies regulares e irregulares, respectivamente. En Consulta Externa, se determinó en superficies regulares una carga microbiana mínima de 0,10 UFC/cm² y una máxima de 92 UFC/cm² (promedio= 4,22 UFC/cm²), mientras que en Emergencia la carga microbiana mínima fue de 0,10 UFC/cm² y máxima de 1,60 UFC/cm² (promedio= 1,44 UFC/cm²). Ante la necesidad de una norma estandarizada que establezca niveles aceptables de carga microbiana en hospitales o centros de salud, se toma en consideración tentativas por parte de investigadores; dentro de ellas la más representativa es la establecida por Dancer (2004) en su trabajo denominado "How do we assess hospital cleaning? A proposal for microbiological standards for surface hygiene in hospitals", en el cual propone estándares microbiológicos para la higiene de superficies partiendo de microorganismos indicadores y del recuento total de colonias aerobias, estableciendo que el recuento microbiano medio debe ser inferior a 5 UFC/cm² (Dancer, 2004).

A pesar de que los valores hallados en promedio son inferiores al establecido por Dancer, se debe considerar la carga microbiana promedio encontrada en superficies irregulares en



Consulta Externa fue de 331, 10 UFC/superficie y en Emergencia fue de 440,94, la cual no se encuentra contemplada por Dancer. Asimismo, el número de muestras fue mayor en superficies irregulares, por lo tanto, se debe considerar el peligro que representa el hallazgo de valores elevados de carga microbiana tanto en superficies regulares como irregulares, que pueden comprometer la salud de los pacientes y del personal de salud.

En el presente estudio, se identificaron 372 microorganismos de los cuales el 75% corresponde a bacterias Gram positivas y el 25% a bacterias Gram negativas; dentro del primer grupo el 51% son cocos y el 24% restante son bacilos; en tanto que el grupo de bacterias Gram negativas corresponde únicamente a bacilos. *Staphylococcus* coagulasa negativo (SCN) y *Staphylococcus aureus* se encontraron en un porcentaje de 37% y 6%, respectivamente; resultado mayor al hallado por Plasencia et al., (2021) de 31,22% y 1,73% (Plasencia et al., 2021). Contrario a ello, en Etiopía se determinó a SCN en un 38,6% y *S. aureus* en 13,2% (Firesbhat et al., 2021). Asimismo, en Ecuador se encontró a *S. aureus* en un 60% en el Hospital Comunitario Pablo Jaramillo (Bravo et al., 2023). El hallazgo de este género puede justificarse dado que forma parte del microbiota del ser humano, y se puede encontrar en el entorno del paciente, de tal manera que procesos fisiológicos como hablar o rascarse pueden favorecer su propagación, esto a su vez permite que el microorganismo contamine las superficies, favoreciendo la contaminación cruzada (Carrasco & Lozano, 2017; Idrees et al., 2021)

Dentro de las hipótesis que explican el mecanismo de contagio por *Staphylococcus spp*, se destaca la contaminación de dispositivos médicos y superficies por la capacidad de formar "biopelículas" ocasionando enfermedades graves y mortales (Goulart, 2023). Además, puede presentar resistencia a desinfectantes lo que dificulta su eliminación, y a su vez favorece su supervivencia en superficies, como en el vidrio en el que llega a sobrevivir de 15 a 25 días; en telas hasta 70 días; en superficies plásticas de 21 días a 3 años; y en acero inoxidable hasta 6 semanas (Jabłońska et al., 2022), por lo tanto, es de suma importancia la correcta limpieza y desinfección de los dispositivos médicos y las superficies, ya que estos pueden actuar como reservorios de agentes patógenos causantes de IAAS.

Otro microorganismo encontrado fue *Enterococcus spp* en un 6%, del cual el 5% corresponde a *E. faecalis* y el restante a *E. faecium*. Estos resultados son mayores a los obtenidos en un hospital en Perú de 1,16% para *E. faecalis* y 0,58% para *E. faecium* (Plasencia et al., 2021). A pesar de que los porcentajes hallados son diferentes, se puede evidenciar que la proporción 2:1 entre los dos microrganismos es similar en ambos estudios,



esto concuerda con la bibliografía revisada en la que se establece que las infecciones por *E. faecalis* (80-90%) son superiores a las producidas por *E. faecium* (10-15%) debido a la prevalencia del primero en el tracto gastrointestinal (Goh et al., 2017). Adicionalmente, cuentan con características que facilitan la supervivencia en las superficies, como la resistencia a amplios rangos de pH, capacidad para sobrevivir a la desecación y crecer en altas concentraciones de cloruro de sodio (6.5%) (Fiore et al., 2019); y finalmente se ha registrado que puede estar presente en superficies plásticas un día y en telas de 5 hasta 7 días (Jabłońska et al., 2022). Por lo cual, es importante contar con procedimientos adecuados que permitan la eliminación de dichos microorganismos.

Dentro del grupo de bacilos Gram negativos, se encontró que Enterobacter cloacae fue el mayor representante con 13%, lo que concuerda con el estudio de Birru et al., (2021), en el cual se establece a E. cloacae como el microorganismo más común entre las diferentes salas (Birru et al., 2021). Sin embargo, un estudio realizado en Chille, encontró 3% en las superficies evaluadas (Kennedy et al., 2021). Asimismo, E. cloacae tiene la capacidad de formar biopelículas y secretar toxinas que le permiten sobrevivir largos periodos de tiempo en superficies como el acero inoxidable, en el cual puede llegar a persistir hasta 24 días (Frutos et al., 2023; Jabłońska et al., 2022). Seguido de E. cloacae se identificó a E. coli y Klebsiella spp., ambas con un porcentaje del 3%, valor superior al encontrado por Plasencia et al., (2021) en Perú de 0,58%, y aproximado al 4,7% encontrado por Birru et al., (2021) para E. coli (Birru et al., 2021; Plasencia et al., 2021). Esta variación de resultados entre los diferentes estudios puede deberse al tipo de contaminación que esté presente, ya sea por una higiene inadecuada de manos, atención de pacientes infectados, por la resistencia bacteriana desarrollada a los agentes desinfectantes, lo que a su vez le permite sobrevivir durante períodos prolongados en superficies, como el plástico hasta 300 días, contribuyendo a su persistencia en el entorno sanitario (Jabłońska et al., 2022; Jang et al., 2017). Dentro de Klebsiella spp., la especie más importante desde el punto de vista médico es K. pneumoniae (Effah et al., 2020), el cual se identificó en un 1% siendo este valor inferior al encontrado en un estudio en Eslovaquia (2%) (Zahornacký et al., 2022). La presencia de este microorganismo suele estar asociado a superficies inertes, por lo cual se estimaba su hallazgo en mayor proporción. No obstante, los resultados dependen de varios factores como: método de muestreo, condiciones ambientales propias del lugar, el biocida utilizado, entre otros (Peters et al., 2022). La presencia de múltiples microorganismos patógenos en el centro de salud es un claro indicativo de deficiencias en los protocolos de limpieza y desinfección, lo que favorece la propagación de estos agentes infecciosos.



Contribuyendo al riesgo de brotes de IAAS, y por lo tanto comprometiendo la seguridad del paciente y del personal de salud.

Entre otros géneros de bacilos Gram negativos se hallaron especies de los géneros *Citrobacter* (1%), seguido de *Psychrobacter* (<1%) y *Morganella* (<1%). A pesar de encontrarse en menor proporción, estos microorganismos sobreviven por tiempo prolongado en las superficies de equipos médicos y superficies asociadas al paciente, por lo que representan un riesgo para la aparición de IAAS (Afle et al., 2019)

En contraste, se encontró a *Bacillus spp* (24%), el cual no es considerado una alerta a nivel sanitario, puesto que está presente en el aire y suelos, y su hallazgo no representa un riesgo directo a la salud. Sin embargo, sí es un indicativo de contaminación ambiental (Bonadonna et al., 2017), por lo que su presencia es sugerente de protocolos de limpieza y desinfección ineficaces.

En el área de Consulta Externa, con relación a las subáreas evaluadas (consultorios) se identificó que las superficies regulares con mayor carga microbiana corresponden a la subárea de toma de muestras en el laboratorio (46,30 UFC/cm²), seguida del consultorio de ginecología (7,55 UFC/cm²). En cuanto a las superficies irregulares, las más contaminadas fueron el consultorio pediátrico (1370,80 UFC/superficie) y el área de descanso (1300 UFC/superficie). Por otro lado, dentro del área de Emergencia las superficies con mayor carga microbiana fueron la sala de emergencias (3,80 UFC/cm²) y el consultorio de atención 1 (2647,29 UFC/superficie), correspondiente a superficies regulares e irregulares, respectivamente. Tales valores pueden explicarse por la alta frecuencia de entrada y salida de pacientes, lo que se traduce en una zona de alto contacto.

Adicionalmente, en la subárea del laboratorio se manejan muestras biológicas y de igual forma, en el consultorio de ginecología se recolectan muestras para el diagnóstico de VPH, por lo que existe un aumento en el riesgo de contaminación cruzada favoreciendo la aparición de las IAAS (Baudet et al., 2021; Cadogan et al., 2021). Es necesario destacar la detección de bacterias patógenas como *E. coli* (10%) y *K. pneumoniae* (10 %) en el consultorio pediátrico, dado que la población infantil presenta mayor vulnerabilidad a infecciones debido a su sistema inmunológico en desarrollo. Este hallazgo debería considerarse una alerta sanitaria para el centro de salud, dada la potencial implicación de estas bacterias en la etiología de IAAS.

Por otro lado, tras el análisis de resultados, se determinó que los objetos con mayor carga microbiana en las áreas de Consulta Externa y Emergencia fueron teclados (363,27 UFC/superficie), seguido de manijas de llave de agua (216,61 UFC/superficie) y estantes (156,22 UFC/superficie). Otros objetos encontrados fueron: mouse de computadoras, teléfonos y vitrinas. Este hallazgo concuerda con un estudio realizado en Egipto, en el que se encontró una contaminación microbiana del 90% en teclados y mouse de computadoras (Kiros et al., 2021); y respaldan lo indicado por otros autores que consideran que objetos como teclados, mouse, juguetes, revistas y bolígrafos, así como insumos médicos presentan un mayor riesgo de contaminación, lo que a su vez los convierte en reservorios para microorganismos patógenos contribuyendo a la posible aparición de IAAS (Gudakova et al., 2017)

Un hallazgo significativo fue la identificación de *S. aureus* en un colchón utilizado para la preparación de gasas, las cuales son comúnmente empleadas en procedimientos médicos, incluidos aquellos relacionados con la curación de heridas abiertas. La presencia de este patógeno en un área crítica de manipulación de insumos médicos representa un riesgo elevado de infecciones por IAAS (Katzenberger et al., 2021). Este hallazgo sugiere una deficiencia en los protocolos de limpieza, desinfección y control de calidad implementados en el centro de salud, lo que subraya la necesidad de una revisión de las medidas de bioseguridad para prevenir la contaminación cruzada y mejorar la seguridad del paciente y personal de salud. Adicionalmente, se realizó un muestreo del comedor usado por el personal de salud, y se pudo determinar la presencia de microorganismos patógenos como *E. coli, K. aerogenes y E. cloacae*.

Se debe tomar en cuenta la relevancia de monitorear las tendencias de resistencia antimicrobiana, dada su importancia en el control de IAAS. En este sentido, se observó una resistencia a ampicilina del 24% en *E. faecium* y del 40% en *E. faecalis*, lo cual difiere de los resultados reportados por García et al (2019) en un hospital de México, donde la resistencia a ampicilina en *E. faecalis* fue significativamente menor (2,9%), mientras que en *E. faecium* alcanzó el 83,3% (2018). Adicionalmente, se encontró una sensibilidad del 100% a la vancomicina para ambas cepas, datos que contrastan con los obtenidos por Garza et al. (2019) que documentaron una resistencia de hasta el 21%, así como el 13,7% reportado en un estudio realizado en Corea (Garza et al., 2019; So & Lee, 2022). Estas discrepancias pueden surgir por múltiples factores como diferencias geográficas, guías terapéuticas, tipo de institución, entre otros, que pueden influir en las prácticas de uso de antimicrobianos.(Li et al., 2017).

Para evaluar la resistencia de *S. aureus* a los betalactámicos, se utilizó cefoxitin, una cefalosporina de segunda generación, y se identificó una sensibilidad del 100%, lo que señala la ausencia de cepas resistentes a meticilina (MRSA). Estos hallazgos contrastan significativamente con los reportados por Sserwadda Lukenge (2018) en un hospital en Uganda, donde se reportó una prevalencia de MRSA del 52%, y con el estudio de Mukhiya et al. (2021), que registró una prevalencia del 45,9% (Mukhiya et al., 2012; Sserwadda et al., 2018). En Perú, un estudio realizado en 2009 reportó una prevalencia de *S. aureus* productora de betalactamasa del 17,6%, mientras que, en Ecuador, un análisis entre 2014 y 2018 reveló que la resistencia a cefoxitin fluctuó entre el 33% y el 59% (Iliya et al., 2020; Mukhiya et al., 2012; Rivera et al., 2009). Aunque estos estudios se basaron en muestras clínicas, la correlación directa entre la contaminación de superficies inertes y la colonización de pacientes sugiere que los resultados del presente estudio pueden ser relevantes para establecer la necesidad de un monitoreo continuo de la resistencia antimicrobiana para prevenir la propagación de IAAS (Iliya et al., 2020; Mukhiya et al., 2012)

En el caso de Enterobacterales se evaluó la producción de betalactamasa de espectro extendido (BLEE) y carbapenemasas; sin embargo, no se hallaron rasgos relevantes que indiquen la presencia de este fenotipo en las especies analizadas, por lo que se evidencia únicamente resistencia intrínseca. A pesar, de que no se evidencio resistencia en las especies evaluadas no se debe descartar la capacidad para desarrollar mecanismos de resistencia en el futuro. Por lo tanto, se recomienda realizar un monitoreo continuo igual a los otros patógenos analizados.

En el caso de No Enterobacterales, se registró una sensibilidad (100%) a los antibióticos probados. A pesar de ser microorganismos sensibles a los antibióticos, el riesgo de que puedan causar IAAS es representativo, no obstante, en caso de que lleguen a causarlas, las opciones terapéuticas con las que se cuentan son adecuadas al ser susceptibles a los antimicrobianos evaluados y por ende representan un bajo potencial de resistencia.

Los estudios realizados de susceptibilidad antimicrobiana en superficies inertes, en el caso de centros de salud son muy escasos, lo cual limita la posibilidad de comparar de manera efectiva los resultados obtenidos en este estudio. A pesar de que no existe un desarrollo significativo de resistencia adquirida en los microorganismos patógenos evaluados, es necesario implementar programas de vigilancia continua para prevenir las posibles complicaciones asociadas a los patógenos resistentes a antibióticos.

En resumen, el presente estudio ha evidenciado una carga microbiana considerable en las superficies del centro de salud "Mariano Estrella", así como la presencia de microorganismos patógenos, lo que indica deficiencias en los protocolos de limpieza y desinfección implementados. Estos hallazgos destacan la necesidad imperativa de fortalecer las estrategias de control ambiental para prevenir y disminuir la propagación de Infecciones Asociadas a la Atención Sanitaria. Aunque se reconoce la limitación relacionada al diseño del muestreo, los resultados obtenidos proporcionan una base sólida para futuras investigaciones orientadas a evaluar la eficacia de las intervenciones correctivas que se implementarán en el centro de salud.



5. Conclusiones

Este estudio permitió tener una visión clara del estado microbiológico de las superficies inertes en el área de Consulta Externa y Emergencia del centro de salud "Mariano Estrella" ubicado en la ciudad de Cuenca, provincia del Azuay.

Los resultados obtenidos en el presente estudio son indicativos de que los procedimientos actuales de limpieza y desinfección del centro de salud "Mariano Estrella" no son efectivos para prevenir la colonización microbiana, comprometiendo de esta manera la seguridad del paciente y personal de salud. Lo que sugiere la necesidad de verificar y supervisar las prácticas de limpieza y desinfección llevadas a cabo.

Además, la variabilidad evidenciada en las cargas bacterianas sugiere una relación entre el tipo de superficie y el tipo de contacto, siendo las áreas con mayor flujo de pacientes las que reflejan mayor contaminación. Se aislaron microorganismos patógenos asociados con Infecciones Asociadas a la Atención Sanitaria (IAAS), entre los que se destacan *Staphylococcus aureus*, *Enterobacter cloacae*, *Escherichia coli* y *Klebsiella pneumoniae*. Estos hallazgos destacan la importancia de implementar estrategias más estrictas de control y vigilancia microbiológica en áreas críticas, para prevenir y disminuir la propagación de patógenos en el ambiente sanitario.

Entre las superficies con mayor nivel de contaminación, se identificaron teclados, manijas de llave de lavamanos, y estantes. El teclado, al ser un objeto de uso individual, resalta la necesidad de reforzar las prácticas de higiene de manos entre el personal de salud para prevenir la contaminación cruzada. Adicionalmente, la presencia de polvo en los estantes evidencia que los procedimientos de limpieza y desinfección no se están realizando de manera correcta, lo que facilita la propagación de microorganismos en el ambiente.



6. Recomendaciones

Se recomienda que la dirección del centro de salud "Mariano Estrella" implemente de forma inmediata una revisión y corrección de los protocolos de limpieza y desinfección, basándose en los resultados microbiológicos obtenidos en el presente estudio. Se debe desarrollar un plan de desinfección y limpieza detallado, con cronogramas específicos, y asegurar su adecuada difusión y capacitación del personal responsable. Estas acciones serán fundamentales para garantizar un control riguroso de las superficies contaminadas y mejorar la bioseguridad del entorno sanitario.

Es fundamental implementar un monitoreo continuo del cumplimiento de los protocolos de limpieza y desinfección para garantizar que cada fase del proceso sea ejecutada correctamente. Este control garantiza la eficacia de las intervenciones antimicrobianas implementadas, minimizando el riesgo de contaminación cruzada. De este modo, se asegura la eliminación efectiva de patógenos en superficies críticas, contribuyendo a la reducción del riesgo de Infecciones Asociadas a la Atención Sanitaria (IAAS) y mejorando la seguridad de los pacientes y del personal sanitario.

Finalmente, se sugiere complementar el presente estudio con un monitoreo microbiológico posterior a la implementación de acciones correctivas en áreas críticas del centro de salud "Mariano Estrella", con el objetivo de evaluar la eficacia de las medidas adoptadas. A través de esta vigilancia sistemática, se contribuirá a optimizar los estándares de higiene y control ambiental, garantizando un entorno sanitario más seguro. Adicionalmente, para identificar y prevenir la contaminación cruzada entre el personal sanitario y superficies o pacientes, se sugiere realizar un muestreo microbiológico en superficies vivas, enfocado en el personal de salud, involucrado en la atención directa.



7. Referencias

- Abushaheen, M. A., Muzaheed, Fatani, A. J., Alosaimi, M., Mansy, W., George, M., Acharya, S., Rathod, S., Divakar, D. D., Jhugroo, C., Vellappally, S., Khan, A. A., Shaik, J., & Jhugroo, P. (2020). Antimicrobial resistance, mechanisms and its clinical significance. *Disease-a-Month*, 66(6), 100971. https://doi.org/10.1016/j.disamonth.2020.100971
- Acosta, R. G., & Vargas, C. M. (2018). Mecanismos de resistencia bacteriana. *Diagnóstico*, 57(2), Article 2. https://doi.org/10.33734/diagnostico.v57i2.82
- Afle, F. C. D., Agbankpe, A. J., Johnson, R. C., Houngbégnon, O., Houssou, S. C., & Bankole, H. S. (2019). Healthcare-associated infections: Bacteriological characterization of the hospital surfaces in the University Hospital of Abomey-Calavi/so-ava in South Benin (West Africa). *BMC Infectious Diseases*, 19, 28. https://doi.org/10.1186/s12879-018-3648-x
- Arango, A., López, S., Vera Nuñez, D., Castellano, E., Rodríguez, P., & Rodríguez, M. B. R. (2018). Epidemiología de las infecciones asociadas a la asistencia sanitaria. *Acta Médica del Centro*, 12(3), 262–272. https://www.medigraphic.com/pdfs/medicadelcentro/mec-2018/mec183c.pdf
- Ayovi, N. G., & Castro, J. E. (2023). Infecciones asociadas a la atención en salud: Agente etiológico, factores de riesgos y diagnóstico microbiológico. *Polo del Conocimiento:**Revista científico profesional, 8(4 (ABRIL 2023)), 142–172.

 https://dialnet.unirioja.es/servlet/articulo?codigo=9152253
- Bardbari, A. M., et al. (2020). Antimicrobial Susceptibility Testing Methods of Bacterial Isolates in Different BioMedical Laboratories: A Cross-Sectional Study. Osong Public Health and Research Perspectives, 11(1), 28-32. https://doi.org/10.24171/j.phrp.2020.11.1.05
- Baudet, A., Guillaso, M., Grimmer, L., MEDIQAI Study Group, Regad, M., & Florentin, A. (2021). Microbiological Contamination of the Office Environment in Dental and



- Medical Practice. *Antibiotics*, *10*(11), Article 11., https://doi.org/10.3390/antibiotics10111375
- Bauer A, Kirby W, Sherris J, Turck M. (1996). Antibiotic susceptibility testing by standardized sing disk method. Am J Clin Pathol. 45(4):493-6
- Belay, M. M., Ambelu, A., Mekonen, S., Karbana, G., & Yemane, B. (2024). Investigating Microbial Contamination of Indoor Air, Environmental Surfaces, and Medical Equipment in a Southwestern Ethiopia Hospital. *Environmental Health Insights*, *18*, 11786302241266052. https://doi.org/10.1177/11786302241266052
- Birru, M., Mengistu, M., Siraj, M., Aklilu, A., Boru, K., Woldemariam, M., Biresaw, G., Seid, M., & Manilal, A. (2021). Magnitude, Diversity, and Antibiograms of Bacteria Isolated from Patient-Care Equipment and Inanimate Objects of Selected Wards in Arba Minch General Hospital, Southern Ethiopia. Research and Reports in Tropical Medicine, 12, 39–49. https://doi.org/10.2147/RRTM.S301215
- Blázquez, R. M., Cuchí, E., Martín, C., & Ruiz, P. (2018). Métodos microbiológicos para la monitorización de la limpieza, desinfección y esterilización de dispositivos médicos. *Enfermedades Infecciosas y Microbiología Clínica*, 36(10), 657–661. https://doi.org/10.1016/j.eimc.2017.09.012
- Bonadonna, L., Briancesco, R., & Coccia, A. M. (2017). Analysis of Microorganisms in Hospital Environments and Potential Risks. *Indoor Air Quality in Healthcare Facilities*, 53–62. https://doi.org/10.1007/978-3-319-49160-8
- Boyce, J. M. (2020). Modern Technologies for Improving Cleaning and Disinfection of Environmental Surfaces in Hospitals. American Journal of Infection Control, 48(6), A16-A22. https://doi.org/10.1016/j.ajic.2020.01.015
- Bravo, J., Sanchéz, A., Bravo, D., & Baculima, J. (2023). Análisis y determinación de microorganismos bacterianos presentes en el hospital humanitario fundación Pablo Jaramillo. *Polo del Conocimiento*, 8(9), 1364–1379. https://doi.org/10.23857/pc.v8i9.6085

- Cadogan, K., Bashar, S., Magnusson, S., Patidar, R., Embil, J., Gawaziuk, J. P., Gawthrop, M., Liu, S., Kumar, A., & Logsetty, S. (2021). Assessment of cleaning methods on bacterial burden of hospital privacy curtains: A pilot randomized controlled trial. Scientific Reports, 11(1), 21866. https://doi.org/10.1038/s41598-021-01198-2
- Camacho Silvas, L. A. (2023). Resistencia bacteriana, una crisis actual. *Revista Española de salud pública*, 97, e202302013. https://www.ncbi.nlm.nih.gov/pmc/articles/PMC10541255/
- Cantón, R., Huarte, R., Morata, L., Trillo-Mata, J. L., Muñoz, R., González, J., Tort, M., & Badia, X. (2021). Determining the burden of infectious diseases caused by carbapenem-resistant gram-negative bacteria in Spain. *Enfermedades Infecciosas y Microbiología Clínica (English Edition)*, 39(4), 179–183. https://doi.org/10.1016/j.eimce.2020.04.008
- Carling, P. C., et al. (2019). Use of a Fluorescent Marker for Assessing Environmental Cleaning Performance in a Children's Hospital. Journal of Pediatric Infection Diseases Society, 8(3), 214-220. https://doi.org/10.1093/jpids/piy065
- Carrasco, I. R. Z., & Lozano, J. C. (2017). Cultivos ambientales y de superficie: Una estrategia de detección oportuna de infecciones nosocomiales. *Revista Latinoamericana de Infectología Pediátrica*, 30(4), 147–150.
- Cassini, A., Plachouras, D., Eckmanns, T., Sin, M. A., Blank, H.-P., Ducomble, T., Haller, S., Harder, T., Klingeberg, A., Sixtensson, M., Velasco, E., Weiß, B., Kramarz, P., Monnet, D. L., Kretzschmar, M. E., & Suetens, C. (2016). Burden of Six Healthcare-Associated Infections on European Population Health: Estimating Incidence-Based Disability-Adjusted Population Life Years through Prevalence-Based Modelling Study. PLOS Medicine, *13*(10), e1002150. https://doi.org/10.1371/journal.pmed.1002150
- Cavalieri, S. (2020). Manual de Pruebas de Susceptibilidad Antimicrobiana. *Drug resistance*



in microorganisms—Handbooks, manuals. Obtenido de:

- https://www3.paho.org/hq/dmdocuments/2005/susceptibilidad-antimicrobiana-manual-pruebas-2005.pdf
- CDC. (2024, mayo 16). *Infection Control for Healthcare Providers*. Infection Control. https://www.cdc.gov/infection-control/hcp/index.html
- Chacón, L., & Rojas, K. (2020). Resistencia a desinfectantes y su relación con la resistencia a los antibióticos. *Acta Médica Costarricense*. https://www.scielo.sa.cr/pdf/amc/v62n1/0001-6002-amc-62-01-7.pdf
- Chaoui, L., Mhand, R., Mellouki, F., & Rhallabi, N. (2019). Contamination of the Surfaces of a Health Care Environment by Multidrug-Resistant (MDR) Bacteria. *International Journal of Microbiology*, 2019, e3236526. https://doi.org/10.1155/2019/3236526
- Christenson, E. C., Cronk, R., Atkinson, H., Bhatt, A., Berdiel, E., Cawley, M., Cho, G., Coleman, C. K., Harrington, C., Heilferty, K., Fejfar, D., Grant, E. J., Grigg, K., Joshi, T., Mohan, S., Pelak, G., Shu, Y., & Bartram, J. (2021). Evidence Map and Systematic Review of Disinfection Efficacy on Environmental Surfaces in Healthcare Facilities. International Journal Of Environmental Research And Public Health/International Journal Of Environmental Research And Public Health, 18(21), 11100. https://doi.org/10.3390/ijerph182111100
- Cobrado, L., Silva-Dias, A., Azevedo, M. M., & Rodrigues, A. G. (2017). High-touch surfaces: Microbial neighbours at hand. *European Journal of Clinical Microbiology & Infectious Diseases*, *36*(11), 2053–2062. https://doi.org/10.1007/s10096-017-3042-4
- Cohen, B., et al. (2020). Strategies to Improve Compliance With Recommended Cleaning and Disinfection Practices in Hospitals: A Systematic Review. American Journal of Infection Control, 48(10), 1164-1170. https://doi.org/10.1016/j.ajic.2020.04.006
- Costa, D. M., Johani, K., Melo, D. S., Lopes, L. K. O., Lopes Lima, L. K. O., Tipple, A. F. V., Hu, H., & Vickery, K. (2019). Biofilm contamination of high-touched surfaces in intensive care units: Epidemiology and potential impacts. *Letters in Applied Microbiology*, 68(4), 269–276. https://doi.org/10.1111/lam.13127



- Dancer, S. (2004). How do we assess hospital cleaning? A proposal for microbiological standards for surface hygiene in hospitals—PMC. *Journal of Hospital Infection*, 56, 10–15. https://doi.org/10.1016/j.jhin.2003.09.017
- De Oliveira, D. M. P., Forde, B. M., Kidd, T. J., Harris, P. N. A., Schembri, M. A., Beatson, S. A., Paterson, D. L., & Walker, M. J. (2020). Antimicrobial Resistance in ESKAPE Pathogens. *Clinical Microbiology Reviews*, 33(3), e00181-19. https://doi.org/10.1128/CMR.00181-19
- Egea Miranda P, Rodríguez Garrido V, Ruiz Garbajosa P, Roiz Mesones MP. (2021). Control microbiológico ambiental de salas blancas (células humanas, productos farmacéuticos, reproducción asistida). Roiz Mesones MP (coordinadora). Procedimientos en Microbiología Clínica. Sociedad Española de Enfermedades Infecciosas y Microbiología Clínica (SEIMC).
- Effah, C. Y., Sun, T., Liu, S., & Wu, Y. (2020). Klebsiella pneumoniae: An increasing threat to public health. *Annals of Clinical Microbiology and Antimicrobials*, *19*(1), 1. https://doi.org/10.1186/s12941-019-0343-8
- Firesbhat, A., Tigabu, A., Tegene, B., & Gelaw, B. (2021). Bacterial profile of high-touch surfaces, leftover drugs and antiseptics together with their antimicrobial susceptibility patterns at University of Gondar Comprehensive Specialized Hospital, Northwest Ethiopia. *BMC Microbiology*, *21*, 309. https://doi.org/10.1186/s12866-021-02378-w
- Friedman, C., & Newsom, W. (2011). *Conceptos básicos de control de infecciones de IFIC*.

 417. https://www.theific.org/wp-content/uploads/2014/08/Spanish PRESS.pdf
- Frutos, E., Kreling, V., Hensel, A., & Campoy, S. (2023). Host-pathogen interaction:

 Enterobacter cloacae exerts different adhesion and invasion capacities against different host cell types. *PLOS ONE*, *18*(10), e0289334. https://doi.org/10.1371/journal.pone.0289334
- García, J. L., Echeguren, A., Arzate, P., & Medina, J. (2018). Susceptibilidad antimicrobiana de Enterococcus faecalis y faecium en un hospital de tercer nivel. *Revista*



- Latinoamericana de Infectología Pediátrica, 31(2), 56–61. https://www.medigraphic.com/pdfs/infectologia/lip-2018/lip182d.pdf
- Garza, E., Morfín, R., Mendoza, S., Bocanegra, P., Flores, S., Rodríguez-Noriega, E., Ponce-de-León, A., Sanchez-Francia, D., Franco-Cendejas, R., Arroyo-Escalante, S., Velázquez-Acosta, C., Rojas-Larios, F., Quintanilla, L. J., Maldonado-Anicacio, J. Y., Martínez-Miranda, R., Ostos-Cantú, H. L., Gomez-Choel, A., Jaime-Sanchez, J. L., Avilés-Benítez, L. K., ... Camacho-Ortiz, A. (2019). A snapshot of antimicrobial resistance in Mexico. Results from 47 centers from 20 states during a six-month period. *PLOS ONE*, *14*(3), e0209865. https://doi.org/10.1371/journal.pone.0209865
- Gil, A. C., Bordignon, A. P. P., Castro, E. A. R. de, Castro, S. T., Rafael, R. de M. R., & Pereira, J. A. A. (2018). Avaliação microbiológica de superfícies em terapia intensiva: Reflexões sobre estratégias preventivas de infecções as [Microbiological evaluation of surfaces in intensive care: thinking about nosocomial infection prevention strategies] [Evaluación microbiológica de superficies en cuidados intensivos: reflexiones sobre las estrategias preventivas de infecciones Enfermagem UERJ. 26, e26388-e26388. nosocomiales]. Revista https://doi.org/10.12957/reuerj.2018.26388
- Goh, H. M. S., Yong, M. H. A., Chong, K. K. L., & Kline, K. A. (2017). Model systems for the study of Enterococcal colonization and infection. *Virulence*, 8(8), 1525–1562. https://doi.org/10.1080/21505594.2017.1279766
- González, J. A. G., Noriega, D. D. N., Borrego, L. I. E., & Molina, K. M. (2019). Incidencia de factores de riesgo en infecciones asociadas a la atención de salud en pacientes críticos. *Revista San Gregorio*, *31*, Article 31. https://doi.org/10.36097/rsan.v0i31.862
- Goulart, D. B. (2023). Pathogenicity and Antimicrobial Resistance in Coagulase-Negative Staphylococci. *Journal of Biosciences and Medicines*, *11*(5), Article 5. https://doi.org/10.4236/jbm.2023.115002



- Gudakova, I., Kim, J., Meredith, J. F., & Webb, G. (2017). Microbial Contamination on Touch

 Surfaces in Sick- and Well-Child Waiting Rooms in Pediatric Outpatient Facilities. *The Pediatric Infectious Disease Journal*, 36(12), e303.

 https://doi.org/10.1097/INF.000000000001759
- Haque, M., Sartelli, M., McKimm, J., & Abu Bakar, M. (2018). Health care-associated infections an overview. *Infection and Drug Resistance*, *11*, 2321–2333. https://doi.org/10.2147/IDR.S177247
- Huerta, R., Bragab, L., Guzmán, M., Valderrama, S., & Morales, J. (2019). Prevalencia puntual de un día de infecciones asociadas a la atención de la salud y uso de antimicrobianos en cuatro países de América Latina. Revista Internacional de Enfermedades. LATAM Revista Latinoamericana de Ciencias Sociales y Humanidades, Asunción, Paraguay., IV(2). Obtenido de https://www.sciencedirect.com/science/article/pii/S1201971219302619.
- Idrees, M., Sawant, S., Karodia, N., & Rahman, A. (2021). Staphylococcus aureus Biofilm:

 Morphology, Genetics, Pathogenesis and Treatment Strategies. *International Journal of Environmental Research and Public Health*, 18(14), Article 14. https://doi.org/10.3390/ijerph18147602
- Iliya, S., Mwangi, J., Maathai, R., & Muriuki, M. (2020). Phenotypic analysis and antibiotic susceptibility of methicillin-resistant Staphylococcus aureus in Kiambu County, Kenya. The Journal of Infection in Developing Countries, 14(06), Article 06. https://doi.org/10.3855/jidc.12174
- Jabłońska, A., Makuła, M., Włodarczyk, M., Wołejko, E., Wydro, U., Serra, L., & Wiater, J. (2022). Inanimate Surfaces as a Source of Hospital Infections Caused by Fungi, Bacteria and Viruses with Particular Emphasis on SARS-CoV-2. *International Journal of Environmental Research and Public Health*, 19(13), 8121. https://doi.org/10.3390/ijerph19138121

- Jang, J., Hur, H. -G., Sadowsky, M. J., Byappanahalli, M. N., Yan, T., & Ishii, S. (2017). Environmental Escherichia coli: Ecology and public health implications—a review.

 *Journal of Applied Microbiology, 123(3), 570–581. https://doi.org/10.1111/jam.13468
- Jansson, L., Akel, Y., Eriksson, R., Lavander, M. y Hedman, J. (2020). Impacto del material del hisopo en el muestreo de superficies microbianas. Journal of microbiological methods, 176, 106006.
- Katzenberger, R. H., Rösel, A., & Vonberg, R.-P. (2021). Bacterial survival on inanimate surfaces: A field study. *BMC Research Notes*, *14*(1), 97. https://doi.org/10.1186/s13104-021-05492-0
- Kennedy, C. I., Estigarribia, G. M., Ríos, L. C., Ortiz, A. C., Sanabria, L. M., Kennedy, C. I., Estigarribia, G. M., Ríos, L. C., Ortiz, A. C., & Sanabria, L. M. (2021). Calidad microbiológica de las fórmulas enterales y las superficies de una unidad de cuidados intensivos. Revista chilena de nutrición, 48(6), 874–883. https://doi.org/10.4067/S0717-75182021000600874
- Kiros, T., Damtie, S., Eyayu, T., Tiruneh, T., Hailemichael, W., & Workineh, L. (2021).

 Bacterial Pathogens and Their Antimicrobial Resistance Patterns of Inanimate

 Surfaces and Equipment in Ethiopia: A Systematic Review and Meta-analysis.

 BioMed Research International, 2021, 5519847.

 https://doi.org/10.1155/2021/5519847
- Li, J., Xie, S., Ahmed, S., Wang, F., Gu, Y., Zhang, C., Chai, X., Wu, Y., Cai, J., & Cheng, G. (2017). Antimicrobial Activity and Resistance: Influencing Factors. *Frontiers in Pharmacology*, 8, 364. https://doi.org/10.3389/fphar.2017.00364
- López, L. (2014). Papel del ambiente hospitalario y los equipamientos en la transmisión de las infecciones nosocomiales. *Enfermedades Infecciosas y Microbiología Clínica*, 32(7), 459–464. https://doi.org/10.1016/j.eimc.2013.10.004
- Magill, S. S., O'Leary, E., Janelle, S. J., Thompson, D. L., Dumyati, G., Nadle, J., Wilson, L. E., Kainer, M. A., Lynfield, R., Greissman, S., Ray, S. M., Beldavs, Z., Gross, C.,



- Bamberg, W., Sievers, M., Concannon, C., Buhr, N., Warnke, L., Maloney, M., ... Edwards, J. R. (2018). Changes in Prevalence of Health Care–Associated Infections in U.S. Hospitals. *New England Journal of Medicine*, 379(18), 1732–1744. https://doi.org/10.1056/NEJMoa1801550
- Mena, K., Elizondo, & Delgado, M. (2017). MONITOREO MICROBIOLÓGICO EN LAS INFECCIONES ASOCIADAS A LA ATENCIÓN EN SALUD (IASS): UNA PROPUESTA PARA LA ATENCIÓN CON CALIDAD Y SEGURIDAD DEL PACIENTE. REVISTA MEDICA DE COSTA RICA Y CENTROAMERICA, 624, 129–135. https://www.medigraphic.com/pdfs/revmedcoscen/rmc-2017/rmc17624f.pdf
- Ministerio de Salud y Seguridad Social. (2017). MANUAL DE PREVENCIÓN Y CONTROL

 DE INFECCIONES ASOCIADAS A LA ATENCIÓN DE LA SALUD.

 https://dgvs.mspbs.gov.py/files/paginas/Manual_IAAS.pdf
- MSP. (2017). PROTOCOLO DE PREVENCIÓN DE INFECCIÓN DEL TORRENTE

 SANGUÍNEO ASOCIADO A CATÉTER VENOSO CENTRAL.

 http://hgona.gob.ec/wp-content/uploads/2023/02/PROTOCOLO-CLABSI.pdf
- MSP. (2020, diciembre). Lineamientos para prevención y control de infecciones asociadas a la atención en salud (IAAS). Infección asociada a ventilación mecánica (VM):

 Impacto, patogenia, criterios de vigilancia epidemiológica y recomendaciones.

 Versión

 0.1.

 https://bycm.gob.ec/wp-content/uploads/2022/03/infeccion_asociada_a_ventilacion_asociada_a_ventilacion_asociada_a_ventilacion_asociada_a_ventilacion_asociada_a_ventilacion_asociada_a_a_ventilacion_asociada_a_a_ventilacion_asociada_a_a_ventilacion_asociada_a_a_ventilacion_asociada_a_a_ventilacion_asociada_a_a_ventilacion_asociada_a_a_ventilacion_asociada_a_a_ventilacion_asociada_a_a_ventilacion_asociada_asociada_a_a_ventilacion_asociada_asociada_a_a_ventilacion_asociada_asoci
 - https://hvcm.gob.ec/wp-content/uploads/2022/03/infeccion_asociada_a_ventilacion_mecanica.pdf
- MSP. (2022). BoletínEpidemiológico: Infecciones Asociadas a la Atención en Salud (IAAS)

 Periodo 2021-2022.

 https://www.salud.gob.ec/wp-content/uploads/2024/02/boletin_iaas_2021-2022_final.

 pdf
- Mukhiya, R. K., Shrestha, A., Rai, S. K., Panta, K., Singh, R. N., Rai, G., & Prajapati, A. (2012). Prevalence of Methicillin-Resistant Staphylococcus aureus in Hospitals of



- Kathmandu Valley. *Nepal Journal of Science and Technology*, 13(2), Article 2. https://doi.org/10.3126/njst.v13i2.7734
- Murhekar, M. V., & Kumar, C. G. (2022). Health-care-associated infection surveillance in India. *The Lancet. Global Health*, 10(9), e1222–e1223. https://doi.org/10.1016/S2214-109X(22)00317-5
- Navas, J. E. P., Castaño, L. M. C., Juncal, M. de L. Á. B., Escobar, C. A. Z., Vimos, J. J. C., Zurita, A. G. C., Andaluz, D. E. B., Laica, G. del C. L., & Ipiales, S. A. V. (2021). Infecciones adquiridas en la unidad de cuidados intensivos: Enfoque preventivo. Archivos Venezolanos de Farmacología y Terapéutica, 40(4), 462–466. https://www.redalyc.org/journal/559/55971452021/
- Odoyo, E., Matano, D., Tiria, F., Georges, M., Kyanya, C., Wahome, S., Mutai, W., & Musila, L. (2023). Environmental contamination across multiple hospital departments with multidrug-resistant bacteria pose an elevated risk of healthcare-associated infections in Kenyan hospitals. *Antimicrobial Resistance & Infection Control*, 12(1), 22. https://doi.org/10.1186/s13756-023-01227-x
- Oliveira, A., Marques, A. K., & Prado, M. A. (2017). Infecciones relacionadas con la asistencia a la salud en unidades de terapia intensiva neonatal: Una revisión integradora. *Enfermería Global*, 16(45), 508–536. https://doi.org/10.6018/eglobal.16.1.238041
- OMS. (2022). Global report on infection prevention and control. https://iris.who.int/bitstream/handle/10665/354489/9789240051164-eng.pdf?sequenc e=1
- PAHO. (2018). PREVENTION AND CONTROL OF HEALTHCARE ASSOCIATED INFECTIONS.
- Patiño, D., Pérez, L., Torres, M., Rosas, D., & Filippo, G. (2018). Uso de biocidas y mecanismos de respuesta bacteriana. *Revista Cubana de Investigaciones Biomédicas*, 37(3), 1–17. http://scielo.sld.cu/pdf/ibi/v37n3/ibi14318.pdf

- Perozo, A., Castellano, M., & Gómez, L. (2020). Infecciones asociadas a la atención en salud. *Enfermería Investiga, Investigación, Vinculación, Docencia y Gestión*, *5*, 48–61.
 - file:///C:/Users/Dani/Downloads/877-Texto%20del%20art%C3%ADculo-2052-1-10-20 200309.pdf
- Peters, A., Schmid, M. N., Parneix, P., Lebowitz, D., de Kraker, M., Sauser, J., Zingg, W., & Pittet. D. (2022).Impact of environmental hygiene interventions healthcare-associated infections and patient colonization: A systematic review. 38. Antimicrobial Resistance and Infection Control, 11(1), https://doi.org/10.1186/s13756-022-01075-1
- Plasencia, N., Zegarra, C., Failoc, V., & Díaz, C. (2021). Aislamiento microbiológico de superficies inanimadas en contacto con pacientes en un hospital peruano. *Infectio*, 26(1), 67. https://doi.org/10.22354/in.v26i1.996
- Reuter, M., Ernstmeyer, K., & Christman, E. (2022). Chapter 4: Adhere to Principles of Infection Control. En *Nursing Assistant [Internet]*. Chippewa Valley Technical College. https://www.ncbi.nlm.nih.gov/books/NBK599388/
- Rivera, M., Rodríguez-Ulloa, C., & Huayán-Dávila, G. (2009). Frecuencia de aislamientos ambientales de *Staphylococcus aureus* y su actividad beta-lactamasa en un hospital de Cajamarca, Perú. *Infectio*, *13*(3), 192–195. https://doi.org/10.1016/S0123-9392(09)70149-3
- Roberts, C. G. (2013). The role of biofilms in reprocessing medical devices. *American Journal of Infection Control*, 41(5), S77–S80. https://doi.org/10.1016/j.ajic.2012.12.008
- Rodrigues, D. O., Peixoto, L. da P., Barros, E. T. M., Guimarães, J. R., Gontijo, B. C., Almeida, J. L., Azevedo, L. G. de, Lima, J. C. O. e, & Câmara, D. S. (2019). Epidemiology of bacterial contamination of inert hospital surfaces and equipment in



- critical and non-critical care units: A Brazilian multicenter study (p. 793034). bioRxiv. https://doi.org/10.1101/793034
- Rutala, W. A., & Weber, D. J. (2019). Best practices for disinfection of noncritical environmental surfaces and equipment in health care facilities: A bundle approach.

 American Journal of Infection Control, 47S, A96–A105.

 https://doi.org/10.1016/j.ajic.2019.01.014
- Shukla, A., Srivastava, S., Srivastava, A., & Srivastava, T. (2021). Surveillance of Microbiological Environment of Operation Theaters. Curēus. https://doi.org/10.7759/cureus.20525
- So, H., & Lee, J. (2022). 154. Prevalence and Antimicrobial Resistance of Enterococcus species in a Tertiary Center Children's Hospital in Korea. *Open Forum Infectious Diseases*, 9(Supplement 2), ofac492.232. https://doi.org/10.1093/ofid/ofac492.232
- Sikora, A., & Zahra, F. (27 de Abril de 2023). Infecciones nosocomiales. *Natinal Library of Medicine*.

 Obtenido

 de https://www.ncbi.nlm.nih.gov/books/NBK559312/#article-25994.s12
- Sserwadda, I., Lukenge, M., Mwambi, B., Mboowa, G., Walusimbi, A., & Segujja, F. (2018).

 Microbial contaminants isolated from items and work surfaces in the post- operative ward at Kawolo general hospital, Uganda. *BMC Infectious Diseases*, *18*, 68. https://doi.org/10.1186/s12879-018-2980-5
- Szabó, S., Feier, B., Capatina, D., Tertis, M., Cristea, C., & Popa, A. (2022). An Overview of Healthcare Associated Infections and Their Detection Methods Caused by Pathogen Bacteria in Romania and Europe. *Journal of Clinical Medicine*, *11*(11), Article 11. https://doi.org/10.3390/jcm11113204
- Szermer-Olearnik, B., Sochocka, M., Zwolińska K., et al. (2014). Comparison of microbiological and physicochemical methods for enumeration of microorganisms. Advances in Hygiene and Experimental Medicine, 68(null), 1392-1396. https://doi.org/10.5604/17322693.1130086.



- Taiyaba, T., Rai, A., & Tahira, F. (2018). Hospital Acquired Infections, Sources, Route of Transmission, Epidemiology, Prevention and Control. *International Journal of Life-Sciences Scientific Research*, 4(4), 1858. https://www.academia.edu/37043246/Hospital_Acquired_Infections_Sources_Route_of_Transmission_Epidemiology_Prevention_and_Control
- Unidad de Seguridad y Salud Ocupacional- Distrito Norte (MSP) (2021). Informe de Resultados de evaluación de riesgo biológico ejecutado en el Centro Obstétrico, Emergencia y Triaje del Centro de Salud Mariano Estrella.
- Weiner-Lastinger LM, Abner S, Edwards JR, et al. Patógenos resistentes a los antimicrobianos asociados con infecciones asociadas a la atención médica en adultos: Resumen de los datos informados a la Red Nacional de Seguridad en la Atención Médica, 2015-2017. Control de infecciones y epidemiología hospitalaria . 2020;41(1):1-18. doi:10.1017/ice.2019.296
- World Health Organization (WHO) (2020). Guidelines on Core Components of Infection Prevention and Control Programmes at the National and Acute Health Care Facility Level. Retrieved from https://www.who.int/infection-prevention/core-components/en/
- Zahornacký, O., Porubčin, Š., Rovňáková, A., & Jarčuška, P. (2022). Gram-Negative Rods on Inanimate Surfaces of Selected Hospital Facilities and Their Nosocomial Significance. *International Journal of Environmental Research and Public Health*, 19(10), 6039. https://doi.org/10.3390/ijerph19106039



8. Anexos

Anexo 1.

Codificación de cada superficie muestreada del centro de salud "Mariano Estrella" con responsable de la recolección

SUB-ÁREA	SUPERFICIE	CODIFICACIÓN	RESPONSABL
	MANIJA DEL GRIFO DE LAVAMOS DE TRIAJE	1-20-2-MLAVTRJ-SE-E	D.R
	BOQUILLA DE LA LLAVE	2-20-2-BLL-SE-E	D.R
	DISPENSADOR DE JABÓN LÍQUIDO DE PARED	3-20-2-DJLP-SE-E	D.R
	MESA NEGRA DE CORROSIL	4-20-2-MNC-SE-E	D.R
EMERGENCIA	CAJON INTERNO DE MESA NEGRA	5-20-2-CJIMN-SE-E	D.R
EWERGENCIA	PULSIOXIMETRO DEL MONITOR	6-20-2-PSXM-SE-E	D.R
	TENSIÓMETRO DE ADULTO DEL MONITOR	7-20-2-TAM-SE-E	D.R
	COLCHON PEDIÁTRICO	8-20-2-CP-SE-E	D.R
	MANIJAS DE BALANZA PEDIÁTRICA	9-20-2-MBP-SE-E	D.R
	SHENLONG CAMILLA	10-20-2-SHC-SE-E	D.R
	MESA METALICA DE COLOR TURQUESA	11-20-2-MMT-C2-E	D.R
	TAMBOR DE PLASTICO DE BAJALENGUAS	12-20-2-TBJL-C2-E	D.R
	MOUSE DE ESCRITORIO	13-20-2-MSE-C2-E	D.R
CONSULTORIO 2	TECLADO DE ESCRITORIO	14-20-2-TCDE-C2-E	D.R
	ESTETOSCOPIO NEGRO	15-20-2-ETN-C2-E	D.R
	ESTETOSCOPIO TURQUESA	16-20-2-ETT-C2-E	D.R
	SHENLONG CAMILLA	17-20-2-SHC-C2-E	D.R
	SHENLONG CAMILLA	18-20-2-SHC-C1-E	D.R
	VELADOR METALICO PLOMO	19-20-2-VMP-C1-E	D.R
	TAMBOR DE PLASTICO DE BAJALENGUAS	20-20-2-TPBL-C1-E	D.R
	MOUSE DE ESCRITORIO	21-20-2-MSE-C1-E	D.R
CONSULTORIO 1	TECLADO DE ESCRITORIO	22-20-2-TCDE-C1-E	D.R
CONSULTORIO	ESTETOSCOPIO PEDIÁTRICO CÓDIGO (22851540)	23-20-2-ETP-C1-E	D.R
	ESTETOSCOPIO MARCA LTIMAN COLOR LACRE	24-20-2-ETL-C1-E	D.R
	MANIJA DE LLAVE DERECHA DEL BAÑO	25-20-2-MLLB-C1-E	D.R
	BOQUILLA DE LA LLAVE	26-20-2-BLL-C1-E	D.R
	DISPENSADOR DE JABÓN LÍQUIDO DE PARED	27-20-2-DJLP-C1-E	D.R
SALA DE PROCEDIMIENTOS	LLAVE DE LAVADOR	28-20-2-LLAV-SP-E	D.R

	BOQUILLA DE LA LLAVE	29-20-2-BLL-SP-E	D.R
	DISPENSADOR DE JABÓN LÍQUIDO EN FRASCO	30-20-2-DJLF-SP-E	D.R
	FRASCO DE VIDRIO DE BAJALENGUAS	31-20-2-FVBJL-SP-E	D.R
	SUPERFICIE EXTERNA DEL COCHE DE PARO	32-20-2-SCP-SP-E	D.R
	BOQUILLA AZUL DE LA MANGUERA DE SUCCIÓN	33-20-2-BMS-SP-E	D.R
	PANEL DE CONTROL DIGITAL DE LA MÁQUINA DE ELECTROCARDIOGRAMA	34-20-2PCECG-E	D.R
	MANUBRIO DE LA LAMPARA BLANCA MARCA WELCHALLYN	35-20-2-ML-SP-E	D.R
	PULSIOXIMETRO DEL MONITOR	36-20-2-PSXM-SP-E	D.R
	PERILLAS DE MONITOR DE CONTROL DE SIGNOS VITALES	37-20-2-PMSV-SP-E	D.R
	SHENLONG CAMILLA	38-20-2-SHC-SP-E	D.R
	BOQUILLA DE HUMIDIFICADOR ANCLADO AL TANQUE DE OXÍGENO	39-20-2-HUM-SP-E	D.R
	MESA DE MAYO CÓDIGO 22621026	40-20-2-MM-SP-E	D.R
	MANIJA DE PUERTA PRINCIPAL	41-20-2-MPP-CP-CE	D.R
	MANIJA DE PUERTA INTERNA DE INSUMOS DIDÁCTICOS	42-20-2-MPI-CP-CE	D.R
CONSULTORIO DE PSICOLOGIA	TECLADO DE ESCRITORIO	43-20-2-TCDE-CP-CE	D.R
	MOUSE DE ESCRITORIO	44-20-2-MSE-CP-CE	D.R
	ESCRITORIO	45-20-2-E-CP-CE	D.R
	MANIJA DE LA LLAVE	46-20-2-MLL-V-CE	D.R
	BOQUILLA DEL GRIFO	47-20-2-BG-V-CE	D.R
	DISPENSADOR DE JABON LIQUIDO EN FRASCO	48-20-2-DPJLF-V-CE	D.R
VACUNACIÓN	MOUSE DE ESCRITORIO	49-20-2-MSE-V-CE	D.R
	TECLADO DE ESCRITORIO	50-20-2-TCDE-V-CE	D.R
	ESCRITORIO DE COMPUTADOR	51-26-2-EC-V-CE	N. LI
	TARJETERO	52-26-2-TRJ-V-CE	N. LI
	LLAVE DE LAVADOR	53-26-2-LLAV-EF-E	N. LI
	BOQUILLA DE LLAVE DE LAVADOR	54-26-2-BLL-EF-E	N. LI
ESTACIÓN DE ENFERMERÍA	DISPENSADOR DE JABÓN LÍQUIDO DE FRASCO	55-26-2-DJLF-EF-E	N. LI
	VITRINA DE MEDICAMENTOS NIVEL SUPERIOR 1	56-26-2-VM1-EF-E	N. LI
	VITRINA DE MEDICAMENTOS NIVEL SUPERIOR 2	57-26-2-VM2-EF-E	N. LI
	VITRINA DE MEDICAMENTOS NIVEL SUPERIOR 3	58-26-2-VM3-EF-E	N. LI
	VITRINA DE MEDICAMENTOS NIVEL SUPERIOR 4	59-26-2-VM4-EF-E	N. LI
	VITRINA DE MEDICAMENTOS NIVEL SUPERIOR 5	60-26-2-VM5-EF-E	N. LI
	VITRINA DE MEDICAMENTOS NIVEL INFERIOR 6	61-26-2-VM6-EF-E	N. LI
	VITRINA DE MADERA DE INSUMOS MÉDICOS NIVEL 1	62-26-2-VIM1-EF-E	N. LI
	VITRINA DE MADERA DE INSUMOS MÉDICOS NIVEL 2	63-26-2-VIM2-EF-E	N. LI

	VITRINA DE MADERA DE INSUMOS MÉDICOS NIVEL 3	64-26-2-VIM3-EF-E	N. LI
	VITRINA DE MADERA DE INSUMOS MÉDICOS NIVEL 4	65-26-2-VIM4-EF-E	N. LI
	VITRINA DE MADERA DE INSUMOS MÉDICOS NIVEL 5	66-26-2-VIM5-EF-E	N. LI
	VITRINA DE MADERA DE INSUMOS MÉDICOS NIVEL 6	67-26-2-VIM6-EF-E	N. LI
	COMPUERTAS DE VITRINA DE INSUMOS NIVEL 7	68-26-2-VIM7-EF-E	N. LI
	MOUSE DE ESCRITORIO	69-26-2-MSE-EF-E	N. LI
	TECLADO DE ESCRITORIO	70-26-2-TCDE-EF-E	N. LI
	TELÉFONO INALÁMBRICO NEGRO	71-26-2-TFI-EF-E	N. LI
	MESÓN DE TRABAJO	72-26-2-MT-EF-E	N. LI
	COLCHÓN DE CAMA 1	73-26-2-CC1-SO-E	N. LI
	VELADOR DE CAMA 1	74-26-2-VC1-SO-E	N. LI
	COLCHÓN DE CAMA 2	75-26-2-CC2-SO-E	N. LI
	COLCHÓN DE CAMA 3	76-26-2-CC3-SO-E	N. LI
	VELADOR DE CAMA 3	77-26-2-VC3-SO-E	N. LI
SALA DE OBSERVACIÓN	COLCHON DE CAMA 4	78-26-2-CC4-SO-E	N. LI
	VELADOR DE CAMA 4	79-26-2-VC4-SO-E	N. LI
	COLCHON DE CAMA 5	80-26-2-CC5-SO-E	N. LI
	REFRIGERADORA NIVEL SUPERIOR	81-26-2-RNS-SO-E	N. LI
	REFRIGERADORA NIVEL MEDIO	82-26-2-RNM-SO-E	N. LI
	REFRIGERADORA NIVEL INFERIOR	83-26-2-RNI-SO-E	N. LI
	MANIJA DE LLAVE DEL LAVADOR	84-26-2-MLL-EF-CE	N. LI
	BOQUILLA DE LLAVE	85-26-2-BLL-EF-CE	N. LI
	DISPENSADOR DE JABON LIQUIDO EN FRASCO	86-26-2-DJLF-EF-CE	N. LI
	TENSIOMETRO DE PISO DE COLOR LACRE	87-26-2-TL-EF-CE	N. LI
	PULSIOXIMETRO DE ADULTO	88-26-2-PSXA-EF-CE	N. LI
	TENSIOMETRO DIGITAL	89-26-2-TD-EF-CE	N. LI
ENFERMERIA	TAMBOR METALICO DE TORUNDAS DE ALGODÓN	90-26-2-TMTA-EF-CE	N. LI
	MANIJA DE BALANZA PEDIATRICA	91-26-2-MBP-EF-CE	N. LI
	TALLÍMETRO PEDIÁTRICO	92-26-2-TLLP-EF-CE	N. LI
	TARJETERO DE DESNUTRICIÓN	93-26-2-TRJD-EF-CE	N. LI
	COLCHON - ESPACIOS DESIGNADO PARA ELABORACIÓN DE GASAS	94-26-2-CEG-EF-CE	N. LI
	MOUSE DE ESCRITORIO	95-26-2-MSE-EF-CE	N. LI
	TECLADO DE ESCRITORIO	96-26-2-TCDE-EF-CE	N. LI
	TELÉFONO BLANCO	97-26-2-TFB-EF-CE	N. LI

	CERCHA CAFÉ ESPACIO DE DE SECADO DE CARTILLAS DE TAMIZAJE NEONATAL	98-26-2-CSC-V-CE	N. LI
VACUNACIÓN	TAMBOR DE TORUNDAS	99-26-2-TT-V-CE	N. LI
	REFRIGERADORA DE VACUNAS (PARTE INTERNA)	100-26-2-RV-V-CE	N. LI
	LLAVE DE LAVADOR	101-26-2-LLAV-C-CE	N. LI
	BOQUILLA DE LLAVE	102-26-2-BLL-C-CE	N. LI
ÁREA DE CURACIONES	PARTE INTERNA DEL ESTERILIZADOR	103-26-2-EI-C-CE	N. LI
	TAMBOR METALICO DE TORUNDAS DE ALGODÓN	104-26-2-TMTA-C-CE	N. LI
	MESA DE VIDRIO DE INSUMOS	105-26-2-MVI-C-CE	N. LI
	MOUSE DE ESCRITORIO	106-26-2-MSE-D-CE	N. LI
DIRECCIÓN	TECLADO DE ESCRITORIO	107-26-2-TCDE-D-CE	N. LI
	TELÉFONO BLANCO	108-26-2-TFB-D-CE	N. LI
	MESA DE ESCRITORIO	109-26-2-ME-ET-CE	N. LI
ESTIMALIA ACIONI TEMPRANIA	MESA INFANTIL DE PLASTICO COLOR VERDE	110-27-2-MIP-ET-CE	D.R
ESTIMULACION TEMPRANA	MANIJA DE LLAVE DE LAVADOR	111-27-2-MLAV-ET-CE	D.R
	BOQUILLA DE LLAVE	112-27-2-BLL-ET-CE	D.R
	MOUSE DEL COMPUTADOR SISTEMA LIS	113-27-2-MSEL-LAB-CE	D.R
	TECLADO DEL COMPUTADOR SISTEMA LIS	114-27-2-TCDL-LAB-CE	D.R
	MOUSE DE MAQUINA DE QUIMICA SANGUINEA	115-27-2-MSEQS-LAB-CE	D.R
	TECLADO DE MAQUINA DE QUIMICA SANGUINEA	116-27-2-TCDQS-LAB-CE	D.R
	MICROSCOPIO QUE ESTA A LADO DE LA MAQUINA DE HEMATOLOGÍA	117-27-2-MC-LAB-CE	D.R
LABORATORIO ÁREA OPERTIVA	BOTONES DE LA MAQUINA DE HEMATOLOGÍA	118-27-2-BMH-LAB-CE	D.R
	MICROSCOPIO DE UROANALISIS	119-27-2-MUR-LAB-CE	D.R
	BOTONES DIGITALES DE MAQUINA DE ESTERILIZACIÓN	120-27-2-BDE-LAB-CE	D.R
	PARTE INTERNA DEL ESTERILIZADOR	121-27-2-IE-LAB-CE	D.R
	REFRIGERADOR NIVEL SUPERIOR	122-27-2-RNS-LAB-CE	D.R
	MESON DE ÁREA DE QUIMICA SANGUÍNEA	123-27-2-MQS-LAB-CE	D.R
	MESA DE VIDRIO DE ALMACENAMIENTO TEMPORAL DE MUESTRAS	124-27-2-MAM-TM-CE	D.R
LABORATORIO ÁREA DE TOMA DE	TAMBOR METALICO DE TORUNDAS DE ALGODÓN	125-27-2-TMTA-TM-CE	D.R
MUESTRAS	REFRIGERADORA SEGUNDO NIVEL	126-27-2-RSN-TM-CE	D.R
	MUEBLE DE MADERA DE INSUMOS DE LABORATORIO	127-27-2-MIL-TM-CE	D.R
	MOUSE DEL COMPUTADOR DRA. K	128-27-2-MSCK-LAD-CE	D.R
	TECLADO DEL COMPUTADOR DRA. K	129-27-2-TCDK-LAD-CE	D.R
ABORATORIO ÁREA ADMINISTRATIVA	MOUSE DEL COMPUTADOR DRA. M	130-27-2-MSCM-LAD-CE	D.R
ABONATORIO AREA ADIVIINISTRATIVA	TECLADO DEL COMPUTADOR DRA. M	131-27-2-TCDM-LAD-CE	D.R
	MOUSE DEL COMPUTADOR DRA. V	132-27-2-MSECV-LAD-CE	D.R

	TECLADO DEL COMPUTADOR DRA. V	133-27-2-TCDV-LAD-CE	D.R
	LUGAR DE REPOSA JABÓN DEL BAÑO DE USO DEL PERSONAL DE LABORATORIO	134-27-2-RJB-LAD-CE	D.R
RELOJ BIOMÉTRICO	LUGAR DE DIGITACION DE HUELLA	135-27-2-DH-RB-CE	D.R
REEGS BIOWLTRICG	DISPENSADOR DE GEL DESINFECTANTE	136-27-2-GD-RB-CE	D.R
	BANDEJA DE INTRUMENTAL DE SILLON ODONTOLOGICO 1 (DRA. ROSALES)	137-27-2-BISO1-O-CE	D.R
	MANIJA DE LÁMPARA	138-27-2-ML-O-CE	D.R
	TAMBOR DE TORUNDAS DE ALGODÓN	139-27-2-TTA-O-CE	D.R
	BANDEJA DE INTRUMENTAL DE SILLON ODONTOLOGICO 1 (DRA. LUDEÑA)	140-27-2-BISO2-O-CE	D.R
	MANIJA DE LÁMPARA	141-27-2-ML-O-CE	D.R
	TAMBOR DE TORUNDAS DE ALGODÓN	142-27-2-TTA-O-CE	D.R
	VITRINA METALICA NIVEL 1 SUPERIOR	143-27-2-VMN1-O-CE	D.R
CONSULTORIO DE ODONTOLOGIA	VITRINA METALICA NIVEL 2 MEDIO	144-27-2-VMN2-O-CE	D.R
	VITRINA METALICA NIVEL 3 INFERIOR	145-27-2-VMN3-O-CE	D.R
	MOUSE DEL COMPUTADOR DRA. L	146-27-2-MSECL-O-CE	D.R
	TECLADO DEL COMPUTADOR DRA. L	147-27-2-TCDL-O-CE	D.R
	MOUSE DEL COMPUTADOR DRA. R	148-27-2-MSER-O-CE	D.R
	TECLADO DEL COMPUTADOR DRA. R	149-27-2-TCDR-O-CE	D.R
	MESON DE ESTERILIZADOR	150-27-2-ME-O-CE	D.R
	TAMBOR METALICO DE TORUNDAS DE ALGODÓN UBICADO EN EL MESON	151-27-2-TMTA-O-CE	D.R
	MANIJA DE LA LLAVE DE AGUA DEL BAÑO A LADO DE COMPUTADORES	152-27-2-MLL-O-CE	D.R
	SHENLONG CAMILLA	153-27-2-SHC-MF-CE	D.R
	PIERNERAS DE LA CAMILLA	154-27-2-PC-MF-CE	D.R
CONSULTORIO DE MEDICINA FAMILIAR	MESA DE METAL DE INSUMOS MÉDICOS	155-27-2-MMIM-MF-CE	D.R
	MOUSE DE ESCRITORIO	156-27-2-MSEE-MF-CE	D.R
	TECLADO DE ESCRITORIO	157-27-2-TCDE-MF-CE	D.R
	MOUSE DE ESCRITORIO	158-27-2-MSEE-G-CE	D.R
	TECLADO DE ESCRITORIO	159-27-2-TCDE-G-CE	D.R
	MESA DE ESCRITORIO	160-27-2-ME-G-CE	D.R
	VITRINA DE INSUMOS MÉDICOS NIVEL 1 SUPERIOR	161-27-2-VIM1-G-CE	D.R
CONSULTORIO DE GINECOLOGÍA	VITRINA DE INSUMOS MÉDICOS NIVEL 2 MEDIO	162-27-2-VIM2-G-CE	D.R
	VITRINA DE INSUMOS MÉDICOS NIVEL 3 INFERIOR	163-27-2-VIM3-G-CE	D.R
	SHENLONG CAMILLA	164-27-2-SHC-G-CE	D.R
	TECLADO DE ECOGRAFO	165-27-2-TCDE-G-CE	D.R

	MESA METALICA DE INSUMOS MEDICOS A LADO SHENLONG CAMILLA	166-27-2-MMIM-G-CE	D.R
COSULTORIO 3	TECLADO DE ESCRITORIO	167-27-2-TCDE-C3-CE	D.R
COSOLIONO 3	MOUSE DE ESCRITORIO	168-27-2-MSE-C3-CE	D.R
	MESA DE ESCRITORIO	169-27-2-ME-C3-CE	D.R
	MESA METÁLICA DE INSUMOS	170-27-2-MMI-C3-CE	D.R
	SHENLONG CAMILLA	171-04-3-SHC-C3-CE	N. LI
	LLAVE DE LAVADOR	172-04-3-LLAV-C3-CE	N. LI
	TELÉFONO BLANCO CONVENCIONAL	173-04-3-TFB-C3-CE	N. LI
	TECLADO DE ESCRITORIO DE COMPUTADOR 1 (A LADO DE PARED)	174-04-3-TCDE1-C2-CE	N. LI
	MOUSE DE ESCRITORIO COMPUTADOR 1 (A LADO DE PARED)	175-04-3-MSE1-C2-CE	N. LI
	TECLADO DE ESCRITORIO DE COMPUTADOR 2 (A LADO DE PUERTA)	176-04-3-TCD2-C2-CE	N. LI
CONCLUTODIO	MESA DE ESCRITORIO	177-04-3-ME-C2-CE	N. LI
CONSULTORIO 2	MESA METÁLICA DE INSUMOS	178-04-3-MMI-C2-CE	N. LI
	SHENLONG CAMILLA	179-04-3-SHC-C2-CE	N. LI
	LLAVE DE LAVADOR	180-04-3-LLAV-C2-CE	N. LI
	TELÉFONO BLANCO CONVENCIONAL	181-04-3-TFB-C2-CE	N. LI
	MOUSE DE ESCRITORIO	182-04-3-MSE-C1-CE	N. LI
	TECLADO DE ESCRITORIO	183-04-3-TCDE-C1-CE	N. LI
	MESA DE ESCRITORIO	184-04-3-ME-C1-CE	N. LI
	MESA METÁLICA DE INSUMOS	185-04-3-MMI-C1-CE	N. LI
CONSULTORIO 1 ATENCIÓN A	SHENLONG CAMILLA	186-04-3-SHC-C1-CE	N. LI
ADOLESCENTES	ESTANTE DE MADERA NIVEL 1 SUPERIOR	187-04-3-EMN1-C1-CE	N. LI
	ESTANTE DE MADERA NIVEL 2 MEDIO	188-04-3-EMN2-C1-CE	N. LI
	ESTANTE DE MADERA NIVEL 3 INFERIOR	189-04-3-EMN3-C1-CE	N. LI
	LLAVE DE LAVADOR	190-04-3-LLAV-C1-CE	N. LI
	TELÉFONO BLANCO CONVENCIONAL	191-04-3-TFB-C1-CE	N. LI
	TECLADO DE ESCRITORIO	192-04-3-TCDE-P-CE	N. LI
	MOUSE DE ESCRITORIO	193-04-3-MSE-P-CE	N. LI
	MESA DE ESCRITORIO	194-04-3-ME-P-CE	N. LI
	ESPONJA DE LA CAJA DE ESTETOSCOPIOS	195-04-3-EE-P-CE	N. LI
CONSULTODIO DEDIATRICO	TAMBOR METALICO DE BAJALENGUAS	196-04-3-TMBL-P-CE	N. LI
CONSULTORIO PEDIATRICO	SHENLONG CAMILLA	197-04-3-SHC-P-CE	N. LI
	LLAVE DE LAVADOR	198-04-3-LLAV-P-CE	N. LI
	PLATOS DE PLASTICO DE ENSEÑANADA DE ALIMENTACION PEDIÁTRICA	199-04-3-PPE-P-CE	N. LI
	CALCULADORA	200-04-3-C-P-CE	N. LI

	TELÉFONO BLANCO CONVENCIONAL	201-04-3-TFB-P-CE	N. LI
	ESTANTE DE MADERA NIVEL 1 SUPERIOR	202-04-3-EMN1-P-CE	N. LI
	ESTANTE DE MADERA NIVEL 2 MEDIO	203-04-3-EMN2-P-CE	N. LI
	ESTANTE DE MADERA NIVEL 3 INFERIOR	204-04-3-EMN3-P-CE	N. LI
	MOUSE DE ESCRITORIO 1	205-04-3-MSE1-ES-CE	N. LI
	TECLADO DE ESCRITORIO 1	206-04-3-TCD1-ES-CE	N. LI
	MESA DE ESCRITORIO	207-04-3-ME1-ES-CE	N. LI
	TELÉFONO NEGRO CONVENCIONAL	208-04-3-TFNC-ES-CE	N. LI
	MOUSE DE ESCRITORIO 2	209-04-3-MSE2-ES-CE	N. LI
	TECLADO DE ESCRITORIO 2	210-04-3-TCD2-ES-CE	N. LI
	MESA DE ESCRITORIO	211-04-3-ME-ES-CE	N. LI
	MESA USADO PARA ÁREA DOCUMENTAL	212-04-3-MAD-ES-CE	N. LI
	MOUSE DE ESCRITORIO 3	213-04-3-MSE3-ES-CE	N. LI
STADISTICA- ADMISION AL USUARIO	TECLADO DE ESCRITORIO 3	214-04-3-TCD3-ES-CE	N. LI
	MESA DE ESCRITORIO	215-04-3-ME-ES-CE	N. LI
	TELÉFONO BLANCO CONVENCIONAL	216-04-3-TFBC-ES-CE	N. LI
	MESA DE APOYO DE FICHAS DE LA VENTANILLA DE ATENCIÓN AL USUARIO	217-04-3-MAF-ES-CE	N. LI
	MUEBLE A LADO DE RACK	218-04-3-M-ES-CE	N. LI
	PANTALLA Y TECLADO DE RACK	219-04-3-PTCD-ES-CE	N. LI
	ESTANTE DE INSUMOS DE PAPELERIA NIVEL 1 SUPERIOR	220-04-3-EIP1-ES-CE	N. LI
	ESTANTE DE INSUMOS DE PAPELERIA NIVEL 2 MEDIO	221-05-3-EIP2-ES-CE	D. R
	ESTANTE DE INSUMOS DE PAPELERIA NIVEL 3 INFERIOR	222-05-3-EIP3-ES-CE	D. R
	MESA DE MADERA DE COLOR CELESTE	223-05-3-MMCC-CA-CE	D. R
	MESÓN BLANCO DE LAVADOR	224-05-3-MBL-CA-CE	D. R
AREA DE CASILLEROS Y MESA DE ALIMENTACIÓN	MANIJA DE LA LLAVE	225-05-3-MLL-CA-CE	D. R
ALIMILITACION	JABÓN LÍQUIDO DISPENSADOR DE PARED	226-05-3-JLDP-CA-CE	D. R
	BOQUILLA DE BOTELLON DE AGUA	227-05-3-BBA-CA-CE	D. R
	ESCRITORIO DE COMPUTADOR	228-05-3-EC-AD-CE	D. R
ÁDEA DE DESCANSO DE ALEA 2	COMPUTADOR GRIS MARCA TOSHIBA	229-05-3-CP-AD-CE	D. R
ÁREA DE DESCANSO DE ALFA 3	COLCHON SUPERIOR DE LITERA	230-05-3-CSL-AD-CE	D. R
	COLCHON INFERIOR DE LITERA	231-05-3-CIL-AD-CE	D. R
	MUEBLE DE MADERA DE VENTINILLA (ATENCIÓN DE RECETAS)	232-05-3-MMV-F-CE	D. R
	MOUSE DE ESCRITORIO	233-05-3-MSE-F-CE	D. R
ÁREA DE FARMACIA	TECLADO DE ESCRITORIO	234-05-3-TCDE-F-CE	D. R
	TELÉFONO BLANCO	235-05-3-TFB-F-CE	D. R

	MESA DE IMPRESORA	236-05-3-MI-F-CE	D.R
	ESTANTES DE MEDICACION ÁREA DE MEDICAMENTOS CON <u>LETRA A</u>	237-05-3-EMA-F-CE	D. R
	ESTANTES DE MEDICACION ÁREA DE MEDICAMENTOS CON <u>LETRA E</u>	238-05-3-EME-F-CE	D.R
	ESTANTES DE MEDICACION ÁREA DE MEDICAMENTOS CON <u>LETRA L</u>	239-05-3-EML-F-CE	D. R
	ESTANTES DE MEDICACION ÁREA DE MEDICAMENTOS CON <u>LETRA O</u>	240-05-3-EMO-F-CE	D. R
	ESTANTES DE MEDICACION ÁREA DE MEDICAMENTOS CON <u>LETRA P</u>	241-05-3-EMP-F-CE	D. R
	ESTANTE DE JERINGUILLAS	242-05-3-EJ-F-CE	D. R
	MESA DE MADERA DE BODEGA (QUE POSEE UN ESPEJO)	243-05-3-MMB-F-CE	D. R
CONSULTORIO DE NUTRICIÓN	ESCRITORIO	244-05-3-E-N-CE	D.R
CONSULTORIO DE NOTRICION	MESA CON MANTEL MORADO	245-05-3-MMM-N-CE	D. R
	MESA GRANDE <u>NEGRA CON CAFÉ</u> SECTOR 1	246-05-3-MNS1-C-CE	D. R
	MESA GRANDE <u>NEGRA CON CAFÉ</u> SECTOR 2 MITAD	247-05-3-MNS2-C-CE	D. R
COMEDOR EN ÁREA HISTÓRICA	MESA GRANDE <u>NEGRA CON CAFÉ</u> SECTOR 3	248-05-3-MNS3-C-CE	D. R
	MESA BLANCA SECTOR 1	249-05-3-MBS1-C-CE	D. R
	MESA BLANCA SECTOR 2	250-05-3-MBS2-C-CE	D. R

Nota: N.LI: Nicole Llanos, D.R: Daniela Ramón

Anexo 2. Carta de interés presentada a la Dirección Distrital de Salud 01D04

		Mili	nisterio de Salud Pública
			Código: EIRSPI-F-04
SOLI	CITUD DE CARTA DE INTERÉS PARA EL ACCESO AL CENTE	O DE SALUD MARIANO ESTR	RELLA Versión: 1 Rev: MAY-2022
			Página: Página 1 de 1
			MINISTERIO DE SALUD PINO
	CUENCA, 08/02/2024		OFICINA TECNICA 01D01 GUENC
	Sea. Directora Distrital 01D04 Churdeleg-Gua	laceo Salud María Elena	Baculling 08 -02-2024
	ESTABLECIMIENTO DE SALUD "MARIAN	NO ESTRELLA"	NOMBRE Ha - 1050 Orden
			ANEXOS: 131F
	De mi consideración:		1 NCD-074-01004-0701-1244-0125
	Por medio de la presente, solicito se designe a pertinencia de la investigación titulada: "ANÁLISI DE CONSULTA EXTERNA Y EMERGENCIA EN EL CIUDAD DE CUENCA, PROVINCIA DEL AZUAY", el estudio mencionado requiere del acceso al ár salud "Mariano Estrella" del Ministerio de Salud	IS MICROBIOLÓGICO DE SI CENTRO DE SALUD "MAR para la emisión de la Cart ea de Consulta Externa y	UPERFICIES EN EL ÁREA RIANO ESTRELLA" DE LA la de Interés, debido a que
	MICROBIOLÓGICO DE SUPERFICIES EN EL ÁRE CENTRO DE SALUD "MARIANO ESTRELLA" DE que será realizado con los datos de Universida son: muestras de superficies inertes del área de con recursos propios para realizar dicho proyecto se comunica que nosotros. "Karla Nicole Lland investigadores nos comprometemos a la obteno	LA CIUDAD DE CUENCA, d de Cuenca. Los datos de consulta externa y emerge o e investigación. os Chacón y Daniela Lisbo	PROVINCIA DEL AZUAY", e estudio que se requieren encia. Además, se cuenta eth Ramón Godoy" como
	acceso respectivo solicitado.		
	Atentamente,		
		DIFF.	
	FIRMA	FIRMA	
	KARLA NICOLE LLANOS CHACÓN UNIVERSIDAD DE CUENCA ESTUDIANTE	DANIELA LISBET UNIVERSIDAD DI ESTUDIANTE	TH RAMON GODOY E CUENCA
	Ct. 0107558983	CI. 0107427833	
	E-WAIL:	E-MAIL: daniram	
			EL MIEVO BE
			ECUADOR 1
			ECUADOR J



Anexo 3.

Acta de acceso a información presentada al MSP

República del Ecuadori	Ministerio de Salud Pública
	Código: EIRSPI-F-02
ACTA DE ACCESO AL CENTRO DE SA	ALUD MARIANO ESTRELLA Versión: 1 Rev: MAY-2022
	Página: Página 1 de 2

1. Datos Generales

Fecha: 08/Febrero/2024

Hora: 10h00

2. Asunto:

Acceso al área de Consulta Externa y Emergencia para el Proyecto titulado "ANÁLISIS MICROBIOLÓGICO DE SUPERFICIES EN EL ÁREA DE CONSULTA EXTERNA Y EMERGENCIA EN EL CENTRO DE SALUD MARIANO ESTRELLA DE LA CIUDAD DE CUENCA, PROVINCIA DEL AZUAY".

3. Antecedentes:

Antecedentes que viabilizan el acceso.

Que, a través de Oficio Nro. 309 UT-CBQF de fecha 05 de Febrero de 2024, el investigador principal del proyecto, Karla Nicole Llanos Chacón y Daniela Lisbeth Ramón Godoy, solicita se emita una Carta de interés para el Proyecto ANÁLISIS MICROBIOLÓGICO DE SUPERFICIES EN EL ÁREA DE CONSULTA EXTERNA Y EMERGENCIA EN EL CENTRO DE SALUD "MARIANO ESTRELLA" DE LA CIUDAD DE CUENCA, PROVINCIA DEL AZUAY.

Que, a través del Oficio Nro. 309 UT-CBQF de fecha **07 de Febrero de 2024**, se solicita la Carta de Interés para el Proyecto "ANÁLISIS MICROBIOLÓGICO DE SUPERFICIES EN EL ÁREA DE CONSULTA EXTERNA Y EMERGENCIA EN EL CENTRO DE SALUD "MARIANO ESTRELLA" DE LA CIUDAD DE CUENCA, PROVINCIA DEL AZUAY".

Ante lo anteriormente descrito se solicita que se genere la aceptación del oficio para el ingreso al área de consulta externa y emergencia del centro de salud Mariano Estrella.

4. Descripción de la Información:

Nro.	Número de Muestras	Fecha de acceso	Fecha tentativa de finalización de acceso
1	250	14/febrero/2024	12/marzo/2024

5. Firmas de responsabilidad

ECUADOR SI NUEVO

www.salud.gob.ec



Anexo 4.

Carta de aprobación por parte del tutor

Cuenca, 15 de enero de 2024

Doctora
Viviana Mora
Miembro de la Unidad de Titulación
Carrera de Bioquímica y Farmacia
Universidad de Cuenca

De mi consideración

Yo María Paz Moscoso Romo, con cédula de identidad 0301804043 declaro qué, los estudiantes Karla Nicole Llanos Chacón y Daniela Lisbeth Ramón Godoy son autores del Protocolo "ANÁLISIS MICROBIOLÓGICO DE SUPERFICIES EN EL ÁREA DE CONSULTA EXTERNA Y EMERGENCIA EN EL CENTRO DE SALUD "MARIANO ESTRELLA" DE LA CIUDAD DE CUENCA, PROVINCIA DEL AZUAY". Por medio de este documento, expreso mi predisposición a dirigir el mencionado Trabajo de Titulación. Así mismo, en caso de que por cualquier motivo no me sea posible terminar la tutoría en el periodo aprobado por la Unidad de Integración Curricular, autorizo que otro(a) docente asuma la tutoría del Trabajo de Titulación.

Certifico que he revisado el anteproyecto y qué apruebo el mismo para ser presentado a la Unidad de Integración Curricular.

Con sentimientos de consideración y estima

Anticipo mi agradecimiento

Atentamente,



Bqf. María Paz Moscoso Romo, MSc



Anexo 5.

Oficio de aprobación del anteproyecto por parte de la Comisión de Titulación de la Universidad de Cuenca

Oficio Nº 309 UT-CBQF

Cuenca, 05 de febrero de 2024

BQF.. María Paz Moscoso Romo

DOCENTE DE LA FACULTAD DE CIENCIAS QUÍMICAS, UNIVERSIDAD DE CUENCA

Presente.-

A través de la presente nos dirigimos a Usted, para saludarle respetuosamente y luego participarle que ha sido designado(a) como tutor(a) del Trabajo de Titulación: "ANÁLISIS MICROBIOLÓGICO DE SUPERFICIES EN EL ÁREA DE CONSULTA EXTERNA Y EMERGENCIA EN EL CENTRO DE SALUD "MARIANO ESTRELLA" DE LA CIUDAD DE CUENCA, PROVINCIA DEL AZUAY". El trabajo de titulación ha sido propuesto por las estudiantes: Karla Nicole Llanos Chacón y Daniela Lisbeth Ramón Godoy. Por tal efecto, solicitamos su valiosa colaboración en el desarrollo y cumplimiento del mismo.

Durante el proceso Usted deberá:

- Supervisar la posterior ejecución del trabajo de titulación una vez que sea aprobado por la Unidad de Titulación
- Informe final, en el cual indica la aprobación por su parte, lo cual permitirá continuar con el debido proceso de titulación.

Al finalizar el trabajo de titulación, se deberá adjuntar el informe del sistema de control de antiplagio Turnitin.

Sin más a que hacer referencia y esperando su mejor disposición en atender los requerimientos expresados en estamisiva, se despide de usted.

Atentamente



Ing. David Vanegas Jácome

UNIDAD DE TITULACIÓN

cc. Estudiantes

Anexo 6.

Cronograma tentativo para la toma de muestra presentada al MSP

Área	Zona	Numero de muestras	Total	FECHA
Estimulación temprana	Lavabo	1	2	
	Faldón	1	2	
Laboratorio	Lavamanos baño	3		
	Manijas puertas	2		
	Teclado	1		
	Mouse	1		
	Dispensadores de jabón	1	19	
	Mesones	2		
	Microscopio	5		
	Esterilizadores	2		
	Refrigeradora	2		
Toma de muestra	Manijas	2		
	Silla	1		
	Mesa de mayo	1	6	
	Tambores	1		
	Torniquete	1		
Administración	Manijas	2		LUNES 26
	Teclado	3		
	Mouse	3		
	Escritorio	3	14	
	Lavamanos baño	1		
	Casilleros	1		
	Reloj de marcado	1		
Psicología	Manijas	2		
	Teclado	1	5	
	Mouse	1	5	
	Escritorio	1		
Consultorio Médico 1	Manijas	2		
	Teclado	1		
	Mouse	1	7	
	Mesones	1	1	
	Dispensador de jabón baño	1		
	Lavamanos baño	1		
Consultorio Médico 2	Lavamanos baño	1		
	Manijas	2		
	Teclado	2		
	Mouse	2	92	
	Dispensador de jabón baño	1	11	
	Tambores	1		
	Baja lenguas	1		
	Piseta	1		
Consultorio Médico 3	Lavamanos baño	1		
	Manijas	2		
	Teclado	1		
	Mouse	1	8	
	Escritorio	1		

	Teléfono	1		MARTES 5
	Mesa de mayo	1		WARIES
Odontología	Lavamanos baño	1		
	Lavabo	1		
	Desfogadero	1		
	Manijas de puerta	4		
	Teclado	1		
	Mouse	1		
	Escritorio	2	26	
	Dispensador de jabón	1		
	Esterilizadores	1		
	Sillón	8		
	Lámpara	2		
	Salivadera	2		
	Vitrina de insumos	1		0.
Medicina Familiar	Lavamanos baño	1		
	Manijas	4		
	Dispensador de jabón	1		
	Mesa	1	12	
	Vitrina de insumos	1		
	Pierneros	2		
	Camilla	2		
Ginecología	Lavamanos baño	1		
	Manijas	4		
	Dispensador de jabón	1		
	Mesas	1	12	
	Vitrina de insumos	1		
	Pierneros	2		
	Camilla	2		
Pediatría	Manijas	4		MARTES 2
	Teclado	1		
	Mouse	1		
	Dispensador de jabón	1	11	
	Tambor	1		
	Baja lenguas	1		
	Juguetes	1		
Curación	Lavabo	1		
	Manija	1		
	Esterilizadores	1		
	Mesas	2	9	
	Vitrina de insumos	1	9	
	Suero	1		
	Armario	1		
	Vincha de tablero	1		
Vacunación	Lavabo	1		
	Manijas	2		
	Teclado	1		

generas		TOTAL MUESTRA	AS 250	
Emergencias		51	51	MARTES 20
	Escritorio	1		LUNES 4
	Mouse	1	5	
	Teclado	1		
Sala de reunión	Manijas	2		
	Estante	1		
	Refrigeradora	1	1	
	Escritorio	1	7	
	Mouse	1	6000	
	Teclado	1		
Farmacia	Manijas	2		_
	Ventanilla	2		
	Escritorio	1		
	Mouse	1	7	
	Teclado	1	-	
Estadistica	Manijas	2	-	\dashv
	Instrumental médico	9		
	Tarjetero	1	-	
	Tambores	1		
	Mesones	1	- 20	
	Escritorio	1	20	LUNES 4
	Mouse	1	-	LUNES 4
	Manijas Teclado	1		
Entermeria	Lavabo	4	-	
Enfermeria	Jeringuillas	1		_
	Tarjeta de tamización	1		
	Vincha de tablero	1	-0	
	Frigorificos	2		
	Coolers	3		
	Manija de vacunación	2		
	Tarjetero	1	18	
	Piseta	1		
	Escritorio	1		
	Mouse	1		



Anexo 7.

Memorándum en respuesta a la carta de solicitud



Anexo 8.

Resultados del monitoreo de superficies inertes enviado al MSP

Titulo del Trabajo de	"Análisis microbiológico de superficies en el área de consulta externa y emergencia en el centro de salud "Nariano Estrella" de la ciudad de Cuenca, provincia del Azuay"	gencia en el cen	tro de salud "Mariano Estrella" de la ciudad	de Cuenca, provincia del Azuay"
	Karla Nicole Llands Chacón, Daniela Lisbeth Ramón Godoy			
	Bqf. Maria Paz Moscoso Romo, MSc			
Fecha de entrega:	01 de mayo de 2024			
	CODIFICACIÓN DE MUESTRAS DEL CENTRO DE SALUD MARIANO ESTRELLA - ÁREA DE EMERGENCIA Y CONSULTA EXTERNA	STRELLA - ÁREA	DE EMERGENCIA Y CONSULTA EXTERNA	
ÁREA	LUGAR DE MUESTRAS	cóbiso	MICROORGANISMO IDENTIFICADO	RECUENTO DE UNIDADES FORMADORAS DE COLONIA (UFC)
		100.	Negativo	<1 UFC/cm²
	MANUA DEL GRIFO DE LAVAMOS DE I RIADE	600,	Storbulococcus coagulasa negativo	1 x 10 ^t UFC/superficie
	BOQUILLA DE LA LLAVE	100	and the second s	1 HEC/cuporficia
	DISPENSADOR DE JABÓN LÍQUIDO DE PARED	.003	Staphyrococcus aureus	T OLG Solver was
	MESA NEGRA DE CORROSIL	,000	Bacillus spp. Enterobacter cloacae	-1 × 10² UFC/cm²
		-	-	
	CAJON INTERNO DE MESA NEGRA	500.	Staphylococcus coagulasa negativo	0,5 UFC/cm²
			Enterobacter cloacoe	of the state of th
	PULSIOXIMETRO DEL MONITOR	,000	Stophylococcus coagulasa negativo	Z1 X 10 Or C/Superior
EMERGENCIA				
	TENSIÓMETRO DE ADULTO DEL MONITOR	.000	Backlus spp Enterobacter cloacoe	3 x 10² UFC/superficie
	And the state of t	900,	Васітия зрр.	1 x 10² UFC/superficie
	CONCHINA		Bacillus spp.	
	MANUJAS DE BALANZA PEDIÁTRICA	500.	Staphylococcus coagulasa negativo Escherichio coli	1 x 10 LFC/superiicie
			Bacillus spp.	n o HCC from 2
	SHENLONG CAMILLA	010,	Staphylococcus aureus	מים מבליכוו
			Bacillus sap.	A 1 1 Per Person
	MESA METALICA DE COLOR TURQUESA	110.	Stophylococcus coagulasa negativo	1000
			Bacillus spp.	2 10 ¹ interferenceficie
	TAMBOR DE PLASTICO DE BAJALENGUAS	210.	Staphylococcus coagulasa negativo	TAIN OF COUNTY
			Bacillus spp.	o v ant 1150 fermanticio
	MOUSE DE ESCRITORIO	.013	Staphylococcus coagulasa negativo	DALL OF THE PARTY
C Oldownianos			Chambalanania appears	



	TECLADO DE ESCRITORIO	,014	Enterococcus faecolis	3 x 101 UFC/superficie
			Enterobacter cloacae	
	ESTETOSCOPIO NEGRO	210.	Stophylococcus coagulasa negativo	2 x 10 ⁴ UFC/superficie
	ESTETOSCOPIO TURQUESA (DR. DAVID VASQUEZ)	,016	Staphylococcus coagulasa negativo	4 x 10 ⁴ UFC/superficie
	SHENLONG CAMILLA	7017	Staphylococcus coagulasa negativo	1 UFC/cm²
	SHENLONG CAMILLA	,018	Staphylococcus aureus	0,1 UFC/cm²
			Bacillus spp.	
	VELADOR METALICO PLOMO	610,	Staphylococcus aureus	0,1 UFC/cm²
	the second secon		Enterobacter cloacae	
	TAMBOR DE PLASTICO DE BAJALENGUAS	.020	Negativo	< 1 UFC/cm ²
	ALOUI CE PE ECONOMIO	,000	Bacillus spp.	
CONGUITOBIO 1	MICHOSE DE ESCRITORIO	170	Staphylococcus coagulasa negativo	7 x 10° UFC/superfice
TOWN TOWN TOWN	CIGODO DE ESCORCIO	600.	BacMus spp.	and and specification
	Control of Estational	770	Staphylococus aweus	1/8 x 10 UPC/Superice
	ESTETOSCOPIO PEDIÁTRICO CÓDIGO (22851540)	.023	Stophylococcus coagulasa negativo	23 x 10° UFC/superficie
	ESTETOSCOPIO MARCA LTIMAN COLOR LACRE	.054	Stophyrococcus coagulasa negativo	29 x 101 UFC/superficie
	MANUA DE LLAVE DERECHA DEL BAÑO	.025	Staphylococcus coagulasa negativo	5 x 10 ³ UFC/superfide
	BOQUILLA DE LA LLAVE	,056	Staphylococcus coagulasa negativo	9 x 10 ³ UFC/superficie
	DISPENSADOR DE JABÓN LÍQUIDO DE PARED	470,	Staphylococcus coagulasa negativo	1 UFC/superficie
	LLAVE DE LAVADOR	.028	Negativo	< 1 UFC/superficie
	BOQUILLA DE LA LLAVE	,029	Bacillus spp.	6 x 10² UFC/superficie
	DISPENSADOR DE LABÓN LÍOUIDO EN EBASCO	080,	Staphylococcus coagulasa negativo	1 v 10 ² HC femorities
		2	Enterococcus faeclum	TATO OLGODOLING
	FRASCO DE VIDRIO DE BAJALENGUAS	160,	Staphylococcus coagulasa negativo	1 UFC/superficie
	SUPERFICIE EXTERNA DEL COCHE DE PARO	,032	Pseudomonas stutzeri	5 x 10 ² UFC/superficie
	BOQUILLA AZUL DE LA MANGUERA DE SUCCIÓN	,033	Staphylococcus coagulasa negativo	1 UFC/superficie
SALA DE PROCEDIMIENTOS	PANEL DE CONTROL DIGITAL DE LA MÁQUINA DE ELECTROCARDIDGRAMA	,034	Bocillus spp.	6 x 10 ^t UFC/superficie
	MANURRIO DE LA LAMPARA PLANCA MARCA MEL CHALLYN	7086	Bacillus spp.	To 40th 180 fermondfolio
		3	Stophylococcus coagulasa negativo	v v v orchanbembe
	PULSIOXIMETRO DEL MONITOR	980,	Staphylococcus coagulasa negativo	1 x 10 ⁴ UFC/superficie
	PERILLAS DE MONITOR DE CONTROL DE SIGNOS VITALES	,037	Staphylococcus coagulasa negativo	1 UFC/superficie
	SHENLONG CAMILLA	850,	Negativo	<1 UFC/cm²
	BOQUILLA DE HUMIDIFICADOR ANCLADO AL TANQUE DE OXÍGENO	650.	Staphylococcus coagulasa negativo	1 UFC/Superficie
	MESA DE MAYO CÓDIGO 23631036	070.	Staphylococcus coagulasa negativo	111EC 6-m2
TO THE PARTY OF TH	CONTROL OF COLUMN ASSESSMENT	2	Pseudomonas stutzeri	Torcyclin
	MANUA DE PUERTA PRINCIPAL	.041	Staphylococcus aureus	1 UFC/superficie



	MANUA DE PUERTA INTERNA DE INSUMOS DIDÁCTICOS	.042	Staphylococcus coagulasa negativo	8 x 10 Or Aspericie
			Bacillus spp.	
	TECLADO DE ESCRITORIO	.043	Staphylococcus coagulasa negativo	2 x 10 ⁴ UFC/superficie
CONSULTORIO DE			Enterobacter cloacae	
PSICOLOGIA			Stophylococcus aureus	ologiomorphism formandelo
	MOUSE DE ESCRITORIO	044	Streptococcus spp.	T/ X TO OLC/30bellice
			Baciffus spp.	2
	ESCRITORNO	042	Staphylocaccus coagulasa negativo	U,S UPC/CM
		2001	Staphylococcus coagulasa negativo	a - 40 Her broadlate
	MANUA DE LA LLAVE	049	Enterobacter cloacae	S X IO OF C Superiore
	BOOUILLA DEL GRIFO	.042	Bacillus spp.	1 x 10 ³ UFC/superficie
	DISPENSADOR DE JABON LIQUIDO EN FRASCO	.048	Klebsiella aerogenes	4 x 101 UFC/superficie
			BociTus spp.	
			Stophylococcus coagulasa negativo	and transferred
- women	MOUSE DE ESCRITORIO	.049	Enterobacter cloacae	6 x 10 UPC/Supernole
VACORACION			Websiella pneumoniae	
	TECLADO DE ESCRITORIO	050,	Stophylococcus coagulasa negativo	5 x 10° UFC/superficie
		1000	Bacillus spp.	-
	ESCRITORIO DE COMPUTADOR	150.	Staphylococcus aureus	2,2 UFC/CM
		-	Staphylacoccus aureus	3 + 1100 fem 2
	TARIETERO	700	Klebsiella aerogenes	3,1010,011
			Staphyrococcus coagulasa negativo	a 40 little formand of
	LLAVE DE LAVADOR	8	Enterobacter cloacae	ax to or daubernoe
	BOQUILLA DE LLAVE DE LAVADOR	,024	Staphylococcus coagulasa negativo	14 x 101 UFC/superficie
		440,	Staphylococcus coagulasa negativo	Cu 10 ¹ 115 fermorficia
	Inspendance of JARON LIGUIDO DE PRASCO	660	Pseudomonos stutzeri	DATE OF SEPTEMBER
			Staphylococcus coagulasa negativo	and the same of the same of
	VITRINA DE MEDICAMENTOS NIVEL SUPERIOR 1	990	Enterobacter cloacae	13 x 10 Urc/superror
		100	Staphylococcus coagulasa negativo	0 - 40 ³ HE fermaniiria
	VITRINA DE MEDICAMENTOS NIVEL SUPERIOR 2	B	Enterobacter cloacae	avia organiza
			Bocillus spp.	and the state of
	VITRINA DE MEDICAMENTOS NIVEL SUPERIOR 3	928	Stophyrococcus coagulasa negativo	ax 10 or danberroe
			Baciffus spp.	
	VITRINA DE MEDICAMENTOS NIVEL SUPERIOR 4	650,	Staphylococcus coagulasa negativo	5 x 10 ¹ UFC/superficie
			Pseudomanas stutzeri	
			Pseudornonas stutzeri	40 - 10t 15c framaeficia
	VITRINA DE MEDICAMENTOS NIVEL SUPERIOR S	090	St. and the state of street,	TO X TO OLCASOBELLICIE



			Docwes spip.	7
	VITRINA DE MEDICAMENTOS NIVEL INFERIOR 6	190,	Staphylococcus coagulasa negativo	27 x 10 ¹ UFC/superficie
			Křebsiella aerogenes	
ESTACIÓN DE ENFERMERÍA			Bocillus top.	
	WTRINA DE MADERA DE INSUMOS MÉDICOS NIVEL 1	.062	Staphylococcus coagulasa negativo	8 x 10* UFC/superficie
			Baciffus spp.	44 v 40 ² HEr fernanflein
	VITRINA DE MADERA DE INSUMOS MEDICOS NIVEL 2	000	Staphylococcus coagulasa negativo	Tryin or donbarran
	VITRINA DE MADERA DE INSUMOS MÉDICOS NIVEL 3	,064	Bacillus spp.	11 x 102 UFC/superficie
	AUTOMA DE MADERO DE INCINADE AUTOCO AUTOR A	590.	Escherichia cali	31 x 10 ¹ UFC/superficie
	VITAIN DE MADERA DE INSCINCO MEDICOS DE LA COMPANIO		Citrobacter koseri	
	VITRINA DE MADERA DE INSUMOS MÉDICOS NIVELS	990.	Staphylococcus coagulasa negativo	2 x 10 ⁴ UFC/superficie
	VITRINA DE MADERA DE INSUMOS MÉDICOS NIVEL 6	.000	Escherichia coll	30 x 101 UFC/superficie
			Bacillus spp.	
	COMPUERTAS DE VITRINA DE INSUMOS NIVEL 7	,068	Staphylococcus coagulasa negativo	30 x 10° UFC/superficie
	And in case of the Control of the Co		Pseudamonas stutzeri	
	MOUSE DE ESCRITORIO	690.	Staphylococcus coagulass negativo	4 x 102 UFC/superficie
		020,	Bacillus spp.	2 v 10t UEC/superficie
	TECLADO DE ESCRITORIO	200	Staphylococus coagulasa negativo	
			Bacillus sap.	
	TELÉFONO INALÁMBRICO NEGRO	1.00.	Staphylococcus coagulasa negativo	5 x 10 ¹ UFC/superfide
			Enterobacter cloacae	Daniel Co.
	MESÓN DE TRABAJO	,072	Streptococcus spp.	3 x 10 ⁴ UFC/superficie
	COLCHÓN DE CAMA 1	.073	Bacillus spp.	1 x 101 UFC/superficie
	VELADOR DE CAMA 1	1074	Negativo	<1 UFC/cm²
	COLCHÓN DE CAMA 2	520,	Negativo	<1 UFC/cm²
	COLCHÓW DE CAMA 3	940,	Bacillus spp.	0,6 UFC/cm²
		,0000	Bacillus spp.	1 6.115 fem²
	VELADOR DE CAMA 3	//0	Staphyriococcus awreus	7,000,000
		0000	Bacillus spp.	4 11Er Jonn ²
SALA DE OBSERVACIÓN	COLCHON DE CAMA 4	9/0	Stophylococcus coagulasa negativo	TOLOGIE
		0000	Staphylococcus aureus	0.3 i EC lem2
	VELADOR DE CAMA 4	6/0	Bacillus, spp	10000000000
	COLCHON DE CAMA S	080,	Negativo	<1 UFC/cm²
	REFRIGERADORA NIVEL SUPERIOR	7081	Bocillus spp.	0,2 UFC/cm²
	REFRIGERADORA NIVEL MEDIO	,082	Negativo	<1 UFC/cm²
		1000	Bacillus spp.	4 11Fr (con)
	REFRIGERADORA NIVEL INFERIOR	083	the state of the s	TOLCHE



	MANIIA DE LLAVE DEL LAVADOR	.084	Staphylacoccus aureus	3 x 10* UFC/superficie
	BOQUILLA DE LLAVE	.085	Enterococcus foecium	3 x 10 ⁴ UFC/superficie
	DISPENSADOR DE JABON LIQUIDO EN FRASCO	980,	Negativo	<1 UFC/superficie
		7007	Stophylococcus coagulasa negativo	3 4 of the form of the
	TENSIONNETRO DE PISO DE COCOR DACHE	700	Enterabacter cloacoe	3 x 10 OFC/30perioe
	AT ILLUM AND THE AND A SHARE AND A SHARE	000,	Staphyrococcus coagulasa negativo	at a set in the constraint
	POLSIONIME IN DE AUDILIO	000	Streptococcus spp.	16 X 10 OFC/Superiole
			Staphylococcus aureus	
	TENSIOMETRO DIGITAL	680.	Enterococcus faecalis	27 x 101 UFC/superficie
	The second secon		Enterobacter cloacae	
ENFERMERIA	INCOME AND THE PARTY AND THE P	000,	Staphylococcus coagulasa negativo	
	LAMBOR METALLOO DE TORONDAS DE ALBODON	080	Staphylococcus aureus	1 x 10 OFC/Supericie
	BARBILLA DE DAL ANTA DETRATALEA	,004	Bacillus spp.	4 × 10 ³ HECformorficio
	MARKIN DE BARNINGA PEDRATINGA	160	Staphylococcus coagulasa negativo	4 x 10 Orc/Supericie
	TALLÍMETRO PEDIÁTRICO	760.	Pseudomonas stutzeri	45 x 10° UFC/superficie
	TARIETERO DE DESMITRICIÓN	260,	Escherichia cali	1 4 HEC/cm ²
			Enterobacter cloacae	
	COLCHON - ESPACIOS DESIGNADO PARA ELABORACIÓN DE GASAS	.094	Staphylocaccus awreus	0,6 UFC/cm²
	MOUSE DE ESCRITORIO	560,	Pantoea agglamerans	3 x 10 ³ UFC/superficie
	TECLADO DE ESCRITORIO	960,	Staphylococcus coagulasa negativo	6 x 10 ³ UFC/superficie
	TELÉFONO BLANCO	460.	Enterococcus faecalis	4 x 103 UFC/superficie
	CERCHA CAFÉ ESPACIO DE DE SECADO DE CARTILLAS DE TAMIZAJE NEONATAL	860.	Staphylococcus coagulasa negativo	4 x 10° UFC/superficie
VACUNACION	TAMBOR DE TORUNDAS	660.	Escherichia coli	1 UFC/superficie
	REFRIGERADORA DE VACUNAS (PARTE INTERNA)	.100	Negativo	<1 UFC/cm²
	LLAVE DE LAVADOR	101,	Negativo	<1 UFC/superficie
	BOQUILLA DE LLAVE	.102	Negativo	< 1 UFC/superficie
ÁREA DE CURACIONES	PARTE INTERNA DEL ESTERILIZADOR	103	Negativo	<1 UFC/cm²
	TAMBOR METALICO DE TORUNDAS DE ALGODÓN	104	Stophylococcus coagulasa negativo	2 x 103 UFC/superficie
	MESA DE VIDRIO DE INSUMOS	105	Negativo	<1 UFC/om²
	MOUSE DE ESCRITORIO	106	Staphylococcus coagulasa negativo	8 x 101 UFC/superficie
rance cryan	TECLADO DE ESCRITORIO	201.	Staphylococcus coagulasa negativo	6 x 101 UFC/superficie
OINECCION	The Grand of Auton	801.	Staphylococcus coagulasa negativo	A to 4 Old 1 Dr. for to a selled a
TO THE PERSON NAMED IN	IECELONO SUNCO	900	Enterococcus faecolis	4 x 10 OF C Supericle
	MESA DE ESCRITORIO	.109	Staphylococcus coagulasa negativo	0,6 UFC/cm²
A COLOR TELEBOOR	MESA INFANTIL DE PLASTICO COLOR VERDE	.110	Staphylococcus coagulasa negativo	0,3 UFC/cm²
ESTIMOLACION LEMPTANA	Contract and a second assessment	1444	Manaphon	and the first farmer and the farmer



	POOLIII A DELIAVE	112	Staphylococcus coagulasa negativo	TATO OF COMPANY
	AND COMPUTADOS SISTEMALIS	'113	Staphylococcus coagulasa negativo	3 x 10° UFC/superficie
	MOUSE OIL COMPUTATION SETEMATOR		Stoothylococcus coagulasa negativo	A Comment of the Comm
	TECLADO DEL COMPUTADOR SISTEMA LIS	114	Enterobacter cloacae	8 x 10. UPC/3upemore
			Baciffus spp.	- 6 v 10 ² HEC/superficie
	MOUSE DE MAQUINA DE QUIMICA SANGUINEA	1115	Staphylococcus coagulasa negativo	and a second
	THE AND DE MACHINE DE CHIMAICA SANGLINEA	116	Stophylococcus coagulasa negativo	4 x 10 ¹ UFC/superficie
	LICOGO DE MONTO DE SETA A LADO DE LA MADILINA DE HEMATOLOGÍA	'117	Stophylococcus coagulasa negativo	1 x 10° UFC/superficie
and discount	MICROSOFT CONTRACTOR C	011,	Bacillus spp.	-29 x 101 UFC/superficie
LABORATORIO AREA	BOTONES DE LA MAQUINA DE HEMATOLOGÍA	110	Staphylocaccus coagulasa negativo	
			Bacillus spp.	2 v 10 ¹ LIFC/superficie
	MICROSCOPIO DE URDANALISIS	119	Staphylococcus coagulasa negativo	
	BOTTOMES PRECTALES DE MADUINA DE ESTERILIZACIÓN	,120	Enterabacter cloacae	2 x 10² UFC/superficie
	DOLOGIC DESCRIPTION OF THE PROPERTY OF THE PRO	121	Stophylococcus coagulasa negativo	2 x 10 ⁴ UFC/superficie
	PARIE IN ENNA DEL COLEMENCO CO	0000	Bacillus spp.	n 6 uFc/cm²
	REFRIGERADOR NIVEL SUPERIOR	777	Stophylococcus coagulasa negativo	
	AUCCOUNT KEEN DE OF HAILE SANGHINEA	123	Negativo	<1 UFC/cm²
	MESON OF STANDON OF STANDON OF MURSTRAS	124	Marganella morganni	9,2 x 101 UFC/cm²
	TAMES DE VIUMO DE ADMINISTRATION DE ALGODÓN	.125	Negativo	<1 UFC/cm²
LABORATORIO ÁREA DE	Control of the contro	126	Staphylococcus coagulasa negativo	0,6 UFC/cm²
TOMA DE MUESTRAS	RE-HIGH MOUNT SCOOL OF THE		Bacillus spp.	na sol i ill'observation
	MUEBLE DE MADERA DE INSUMOS DE LABORATORIO	127	Citrobacter koseri	TAX TO CLOSE OF TAX
	AARDINE DEL COMMUNICATION DISA KATY SANDIEZ	128	Bacillus spp.	8 x 10 ⁴ UFC/superficie
	WOODE DESCRIPTION OF SANCHEZ	129	Negativo	< 1 UFC/superficie
	TECHNOO DEL COMPONICIONE DISCONIA CONTALEZ	130	Enterococcus faecalis	5 x 10 ¹ UFC/superficie
	MOUSE DEL COMPUTADOR DRAL MARIA ELICENTA CONTATES	131	Enterococcus faecalis	12 x 101 UFC/superficie
LABORATORIO ÁREA	TECLADO DEL COMPUTADOR DRA: MARRIA COGERNA CONCRETE	132	Nepativo	< 1 UFC/superiide
ADMINISTRATIVA	MOUSE DEL COMPUTADOR DRA, VIUMA AVALOS		Stanhylococcus coagulasa negativo	and the formatter
	TECLADO DEL COMPUTADOR DRA, VILMA AVALOS	,133	Enterobacter cloacoe	and or containing
	LUGAR DE REPOSAJABÓN DEL BAÑO DE USO DEL PERSONAL DE IARORATORIO	.134	Stophylococcus coagulasa negativo	83 x 101 UFC/superficie
	HIGH DE DIGITACION DE HIJELLA HORA DE TOMA (14H10PM)	,135	Stophylococcus coagulasa negativo	1 x 10 ² UFC/superficie
RELOJ BIOMÉTRICO	DISCONDAND DE GEL DESINEECTANTE	136	Negativo	< 1 UFC/superficie
The state of the s	BANDEIA DE INTRUMENTAL DE SILLON ODONTOLOGICO 1 (DRA ROSALES)	721,	Staphylococcus coagulasa negativo	3 x 10² UFC/superfide
	A state of the sta	,138	Staphylococcus coagulasa negativo	3 x 101 UFC/superficie
	MANUA DE DUMPARA	130	Negativo	< 1 UFC/superficie



	BANDEJA DE INTRUMENTAL DE SILLON ODONTOLOGICO 1 (DRA. LUDEÑA)	140	Straphylococcus coagulasa negativo	1 x 10 ³ UFC/superficie
	MANUA DE LÁMPARA	141	Stophylococcus coagulasa negativo Escherichia coli	7 x 101 UFC/superfide
	TAMBOR DE TORUNDAS DE ALGODÓN	142	Negativo	< 1 UFC/superficie
	VITRINA METALICA NIVEL 1 SUPERIOR	143	Stophylococcus coagulasa negativo	4 x 101 UFC/superficie
	VITRINA METALICA NIVEL 2 MEDIO	144	Stophylococcus coagulasa negativo Enterobocter cloacae	18 x 10° UFC/superficie
	VITRINA METALICA NIVEL 3 INFERIOR	145	Enterococcus foecium	19 x 10° UFC/superficie
CONSULTORIO DE ODONTOLOGIA	MOUSE DEL COMPUTADOR DRA, LUDERA	146	Bacillus spp. Staphlylococus coagulasa negativo	7 x 10 ¹ UFC/superficie
			Stophylococcus coagulasa negativo	
	TECLADO DEL COMPUTADOR DRA, UJDEÑA	.147	Bocillus spp Enterobacter cloacoe	17 x 10° UFC/superficie
	MOUSE DEL COMPUTADOR DRA, ROSALES	.148	Staphylococcus coagulasa negativo	4 x 10 ⁴ UFC/superficie
	TECLADO DEL COMPUTADOR DRA. ROSALES	149	Stophylococcus coagulasa negativo	9 x 10 ¹ UFC/superficie
			Enterabacter cloacoe	
	MESON DE ESTERILIZADOR	,150	Bacillus spp. Staphylocorcus coegulesa negativo	1 UFC/cm²
		24.64	Bacillus spp.	o 4 Ol 1 P.C for so confector
	TAMBOR METALLOO DE TORUNDAS DE ALGODOM UBICADO EN EL MESON	131	Staphylococcus coagulasa negativo	ZXIO OFGSOPERICE
	STOREST STREET BY CARL & CO. C.	1969	Staphylococcus coagulasa negativo	So v 102 HEr fernanfisia
	MANUA DE LA LLAVE DE AGUA DEL BANO A LADO DE COMPUTADORES	137	Chrobacter freundii	SOX TO OF CASOPERICE
			Bacillus spp.	
	SHEWLONG CAMILLA	7153	Stopylypococcus coagulasa negativo	1,2 UFC/cm²
			Pantoea aggiomerans	
		1364	Staphylococcus coagulasa negativo	15 v 10 ¹ I IEC burnarlinia
CONSULTORIO DE MEDICINA	PIERWERAS DE LA CAMILLA	5	Enterobacter cloacae	TO STORE STO
FAMILIAR	_	74.55	Staphylococcus coagulasa negativo	Transference Company of the Company
	MESA DE METAL DE INSUMOS MEDICOS	661	Enterabacter cloacae	TXXII OLCANDELLOR
	MOUSE DE ESCRITORIO	,126	Staphylococcus coagulasa negativo	6 x 101 UFC/superficie
		434,	Staphylococcus coagulasa negativo	1 HFC/superficie
	TECLADO DE ESCRITORIO	101	Pseudomanas stutzeri	
	MOUSE DE ESCRITORIO	.158	Bacillus spp.	1 x 10° UFC/superficie
	TECLADO DE ESCRITORIO	129	Klebsiella aerogenes	2 x 102 UFC/superficie
	MESS DE ESCRITORIO	.160	Staphylococcus coagulasa negativo	28 x 10° UFC/superficie
	MESA DE ESCRITORIO		Enterobacter cloocae	



The second second	VITRINA DE INSUMOS MÉDICOS NIVEL 1 SUPERIOR	191	Enterococcus Jaecalis	40 x 10 or Caupainne
	the state of the s	636,	Васімиз грр.	20 v 10t 1 HC James livin
CONSULTORIO DE	VITRINA DE INSUMOS MEDICOS NIVEL 2 MEDIO	707	Enterobacter cloacae	aniiiadhehan arvez
GINECOLOGÍA		-	Bacillus spp.	and a second second
	VITRINA DE INSUMOS MEDICOS NIVEL 3 INFERIOR	103	Enterococcus faecium	20 x 10 OFC/Supernore
	SHENLONG CAMILLA	,164	Enterococcus foecoils	2,1 UFC/cm²
		2000	Bocillus spp.	20 v 10t 10t ferrandiale
	TECLADO DE ECOSRAFO	COT	Enterococcus foecalis	TO A AU UT-COAPERING
	A THARD DWG INDIA OCK I A DOOR THAT DAME ON THE TAY AND A WALL A THAR A DOOR OF THE TAY AND A THAR A DOOR OF THE TAY AND A DOOR OF T	391,	Bacillus spp.	13 UEC/cm²
	MESA METALICA DE INSUMOS MEDICOS A DADO STENEONO CAMILLA	200	Staphylococcus coagulasa negativo	
	TECLADO DE ESCRITORIO	.167	Bacillus spp	1 x 10 ² UFC/superficte
		1460	Bacillus spp.	43 v 40 ³ 1 EP formanifolis
	MOUSE DE ESCRITORIO	700	Enterobacter cloacae	TO Y TO OLCAPIDE CO.
			Stophylococcus coagulasa negativo	
		507	Pseudomonas putida	1 . 40t IEC femonticio
COSULTORIO 3	(MESA DE ESCRITORIO	FOT	Pantoea aggiamerans	TALL OF GEORGE
DIACONTRICKIO	The second secon		Psycrobacter faecalis	
	MESA METÁLICA DE INSUMOS	170	Enterococcus faecalis	37 x 10 ¹ UFC/superficie
	SHENLONG CAMILLA	171,	Bocillus spp.	2 UFC/cm²
	LLAVE DE LAVADOR	.172	Bocillus spp.	S x 10 ¹ UFC/superficie
	TELÉFONO BLANCO CONVENCIONAL	173	Streptococcus spp.	6 x 102 UFC/superficie
	TECLADO DE ESCRITORIO DE COMPUTADOR 1 (A LADO DE PARED)	174	Staphylococcus coagulasa negativo	7 x 10 ³ UFC/superficie
	MOUSE DE ESCRITORIO COMPUTADOR 1 (A LADO DE PARED)	175	Enterococcus foecalis	2 x 103 UFC/superficie
	TECLADO DE ESCRITORIO DE COMPUTADOR 2 (A LADO DE PUERTA)	176	Citrobacter koseri	3 x 10 ³ UFC/superficie
		Date of a	Staphylococcus coagulasa negativo	Constitution?
	IMESA DE ESCRITORIO	// /	Enterobacter cloacae	מים מנילים
CONSULTORIO 2 (DRA.		2,70	BacMus spp.	1 0 1150 /2002
IDROAD)	MESA METALICA DE INSUMOS	1/0	Streptococcus spp.	1,0000000
	SHENLONG CAMILLA	641.	Enterocaccus faecalis	0,1 UFC/cm²
	LLAVE DE LAVADOR	.180	Staphylococcus coagulasa negativo	4 x 10 ⁴ UFC/superficie
		107	Staphylococcus coagulasa negativo	1 v 10 ¹ i IEC Amparlicia
	TELEFONO BLANCO CONVENCIONAL	101	Enterobacter cloacae	and
	Cincelland and animal	1403	Staphylococcus coagulasa negativo	1 v 10 ¹ LIEC/sumarficia
	MOUSE DE ESCRITORIO	707	Enterococcus faeclum	and a contract
			Staphylococcus coagulasa negativo	
	TECLADO DE ESCRITORIO	,183	Staphyloccus awers	1 x 10 ² UFC/superficie
			Cotosolisacios closecos	



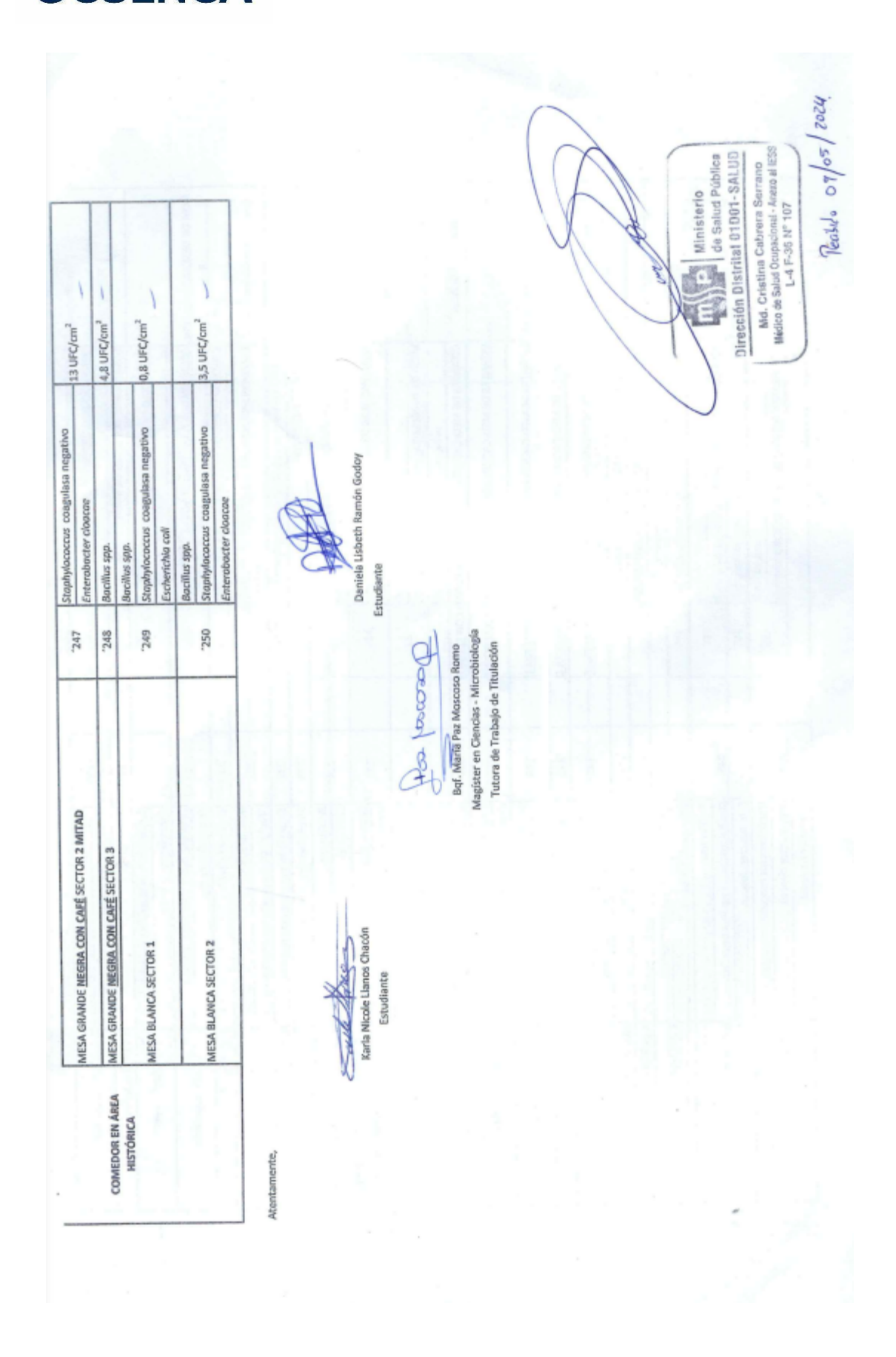
	MESA DE ESCRITORIO	184	Staphylocaccus coagulasa negativo Citrobacter kaseri	0,2 UFC/cm²
			Востил прр.	
	MESA METÁLICA DE INSUMOS	7185	Stophylococcus coagulasa negativo	0,7 UFC/cm²
CONSULTORIO 1 ATENCIÓN A	A		Enterobacter cloacae	
ADOLESCENTES (DRA. SANTANA)	SHENLONG CAMILLA	186	Staphyllococcus coagulasa negativo	
			Enterobacter cloocae	
	ESTANTE DE MADERA NIVEL 1 SUPERIOR	187	Staphylococcus coagulasa negativo	3 v 10 ¹ HEC/conoclicio
			Streptococcus spp.	and adopting
	ESTANTE DE MADERA NIVEL 2 MEDIO	,188	Bacillus spp.	and the formation of
			Escherichia hermanii	aniiladas Ala ar va
	ESTANTE DE MADERA NIVEL 3 INFERIOR	,180	Enterobacter cloacae	and the second
		000	Kiebsielia oxytoca	7 x 10" UFC/superficie
	LLAVE DE LAVADOR	061,	Staphylococcus coagulasa negativo	3 v 10 ³ HEr Assembleto
			Escherichia coli	Distriction of the control of the co
	TELÉFONO BLANCO CONVENCIONAL	161,	Escherichia coli	5 x 10 ³ UFC/superficie
	TECLADO DE ESCRITORIO	661.	Staphylocaccus coagulasa negativo	and a second
		40.0	Escherichia cali	1 x 10 UPC/Superficie
	MOUSE DE ESCRITORIO	.193	Staphylacoccus coagulasa negativo	1 v 10 ¹ HPC formorefloid
			Escherichia coli	T X TO OLCASIDELLIDE
	MESA DE ESCRITORIO	134	Staphylococcus coagulasa negativo	11 x 10 ³ UFC/superficie
	ESPONJA DE LA CAJA DE ESTETOSCOPIOS	195	Bacillus spp.	60 x 10 ¹ UFC/superfide
	TAMBOR METALICO DE BAJALENGUAS	961,	Pantoea agglomerans	1 x 10 ³ UFC/superficie
	SHENLONG CAMILLA	197	Stophylococcus coagulasa negativo	0.2 UFC/cm²
	LIAVEDELAVADOR	100	Staphylococcus coagulasa negativo	
	-	200	Escherichia hermannii	18 x 10° UPC/superficie
CONSULTORIO PEDIATRICO	PLATOS DE PLASTICO DE ENSEÑANADA DE ALIMENTACION PEDIÁTRICA	661,	Staphylococcus coagulasa negativo	7 x 10 ⁴ UFC/superficie
	CALCULADORA	000,	Bacillus spp.	and the same
		2004	Staphylococcus coagulasa negativo	15 x 10' UFC/superficie
			Staphylococcus coagulasa negativo	
	TELEFONO BLANCO CONVENCIONAL	7201	Klebsiella pneumanie	1 x 10 ³ UFC/Superficie
			Klebsiella aerogenes	
	ESTANTE DE MADERA NIVEL 1 SUPERIOR	707,	Staphylococcus aureus	5 x 101 UFC/superficie
	STATE OF THE PARTY		Staphylococcus coagulasa negativo	
	ESTANTE DE MADERA MIVEL 2 MEDIO	,203	Klebsiella pneumonie	5 x 10 ¹ UFC/superficie
			Enterobacter cloacae	
	The same of the sa			



ľ	MOUSE DE ESCRITORIO (COMPUTADOR SRA RODAS)	306	ВасМиз spp.	a a and time demonstrate
			Staphylocaccus coagulasa negativo	and an alaman
	TECLADO DE ESCRITORIO (COMPUTADIOR SRA. RODAS)	206	Bacillus spp.	20 × 102 UFC/superficie
			Bacillus spp.	
	MESA DE ESCRITORIO (COMPUTADOR SRA. RODAS)	.502	Escherichia call	0,9 UFC/cm²
			Staphylococcus aureus	The second second
	TELÉCONO MEGRO CONVENCIONAL / COMPUTADOS SPA. DODAGO	906,	Staphylococcus coagulasa negativo	and a second
	(cupou nucuo control control control cupou nucuo cupo control cupo cupo cupo cupo cupo cupo cupo cupo	907	Enterabacter cloacae	ex 10 unc/supericie
	MOUSE DE ESCRITORIO (COMPUTADOR SRA, GUAMAN)	500,	Staphylococcus coagulasa negativo	1 UFC/superficie
	TECLADO DE ESCRITORIO (COMPUTADOR SRA. GUAMAN)	,210	Enterobacter cloacae	1 UFC/superficie
	MAPS OF PSCRIPORO CONTRACTOR SERVICES	1944	Bacillus spp.	2
	THE STATE OF THE S	117	Staphylococcus oureus	1,4 UHC/CM
	MAPS I ISADO DAPA ÁBEA DOCIMAENTAI	7943	Bacillus spp.	a
	THE PROPERTY OF THE PROPERTY O	212	Enterococcus faecolis	4 X 10 OFC/Supernole
	MIGUSE DE ESCRITORIO (COMPUTADOR SR. TORRES)	7213	Bacillus spp.	1 x 10 ¹ UFC/superficie
ESTADISTICA- ADMISION AL	TECLADO DE ESCRITORIO (CONTRIGOS OS TORRES)	A Per	Bacillus spp.	and and and a
USUARIO	The second of Court Courts of Courts	677	Klebsiella pneumanie	1 x 10 Orc/Superiore
	MESA DE ESCRITORIO (COMOLITADOR SON TORRES)	200,	BacMus spp.	2
	The second country of	643	Staphyrococcus coagulasa negativo	U,1 Orcycm
	TELÉFONO BLANCO CONVENCIONAL / CONABITANDO CO TOODECE	386,	Staphylocaccus coagulasa negativo	and the second second second
	Printer to the country of the countr	2	Enterabacter cloacae	animadne or ver
	MESA DE APOYO DE PICHAS DE LA VENTANILLA DE ATENCIÓN AL USUARIO	,217	Staphylococcus aureus	3,2 UFC/cm²
	MUEBIE A I ADO DE BACK	.948	Bacillus spp.	40 . 4 of 110 pt.
		977	Enteracoccus faecalis	13 x 10 Or C/Supericle
	PANTALLA Y TECLADO DE RACK	.219	Staphylococcus aureus	66 × 10 ² UEC/superficia
			Bacillus spp.	and
	ESTANTE DE INSUMOS DE PAPELERIA NIVEL 1 SUPERIOR	230	Stophylococcus coagulasa negativo	17 10 ² 10° fermorficia
	UDATE OF THE PROPERTY OF THE P	777	Enterobacter cloocae	T/ X IN OF C/3uperior
	ESTANTE DE INSTINCIS DE PARPIERA MINEL 2 MEDIO	1994	Bacillus spp.	out the factoring of the same
	OLON STATE OF THE	777	Staphylococcus coagulasa negativo	ax 10 or c/supernoe
	ESTANTE DE INSUMOS DE PAPELERIA NIVEL 3 INFERIOR	7222	Staphylocaccus aureus	47 x 101 UFC/superficie
	MESA DE MADERA DE COLOR CELESTE	.133	Bacillus spp.	
			Staphyriococcus coagulasa negativo	u, urc,cm
	MESÓN BLANCO DE LAVADOR	7224	Enteracaccus faecalis	18 x 102 UFC/superficie
AREA DE CASILLEROS Y MESA	MANIJA DE LA LLAVE	500.	BacMus spp.	1 v 10 ³ HEr/conselleio
DEALIMENTACION		240	Entarologistas elegens	TATO OF CAUDETING



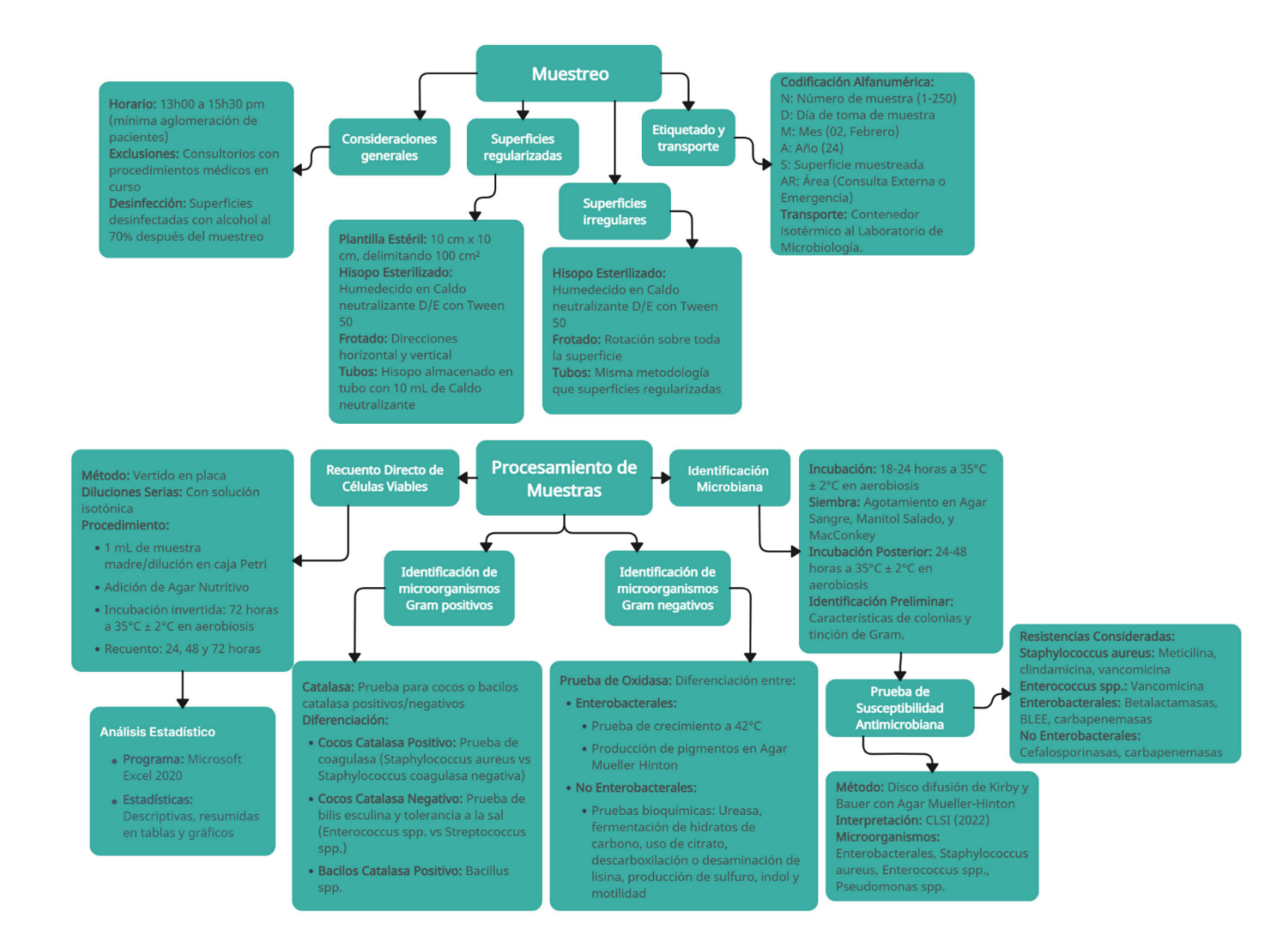
	IARÓN IÓNIDO DISBENSADOR DE PARED	300.	Bacillus spp.	e very recolour desire
	Annual English of the Change of the Change	0	Enterobacter cloocae	S X 10 UPC/Superticle
	BOQUILLA DE BOTELLON DE AGUA	7227	Negativo	< 1 UFC/superficie
	ESCRITORIO DE COMPUTADOR	.228	Stephylococcus coagulasa negativo	1.2 UEC/cm²
			Enterobacter cloocae	and the safe
AND DESCRIPTION OF AREA	COMPLITATION GRIS MARCA TOSHIBA	,230	Stophylococcus coagulasa negativo	Section of section 2 and a section 2
AREA DE DESCANSO DE ALPA	COURT O'S MANAGE INCOME.	577	Streptococcus spp.	13 x 10 OF Cysupertice
	COLCHON SUPERIOR DE LITERA	,230	Escherichio coli	0,9 UFC/cm²
	YOUR PROPERTY OF THE PROPERTY	*****	Bacillus spp.	
	COLCHOM INFERIOR DE LI ERA	787	Staphylococcus coagulasa negativo	1,1 UFC/cm²
	MUEBLE DE MADERA DE VENTINILLA (ATENCIÓN DE RECETAS)	,232	Staphylococcus coagulasa negativo	0,3 UFC/cm²
	MOUSE DE ESCRITORIO	,233	Staphylococcus coagulasa negativo	2 x 10° UFC/superficie
	Cidometra and account of the	BEC.	Bacillus spp.	and seed of
		434	Staphylococcus coagulasa negativo	10 x 10 UFC/Superficie
	TO GOUR IO CHOOSE IN	200,	Bacillus spp.	and a second
		600	Staphylococcus coagulasa negativo	1 x 10 OFC/superiore
			Bacillus spp.	
	MESA DE IMPRESORA	,236	Staphylococcus coagulasa negativo	0,6 UFC/cm²
			Enterabacter cloacoe	
ÁREA DE FARMACIA	ESTANTES DE MEDICACION ÁREA DE MEDICAMENTOS CON LETRA A	,237	Bociffus spp.	8 x 10 ¹ UFC/superficie
	E AGEST MOCO SOCIALISMA SOCIA DE MOCO SOCIAL	230	Bocillus spp.	a sel met
		730	Enterococcus foecalis	3 x 10 UPC/Superfice
	ESTANTES DE MEDICACION ÁBEA DE MEDICAMENTOS CON LETRA I	956,	Восійих ѕрр.	4 v 40 ¹ HC farmonthin
			Stophylococcus coagulass negativo	and and and and and
	ESTANTES DE MEDICACION ÁREA DE MEDICAMENTOS CON LETRA O	.240	Negativo	< 1 UFC/superficie
	ECTANTES DE MEDICACION ÁBEA DE MEDICAAGNITOS CON LETBA D	1344	Bocillus spp.	and the same
		74.7	Staphylococcus coagulasa negativo	15 x 10 urc/supernoe
	ESTANTE DE JERINGUILLAS	.242	Enterobacter cloacae	26 x 102 UFC/superficie
	MESA DE MADERA DE BODEGA (QUE POSEE UN ESPEJO)	.243	Negativo	< 1 UFC/superficie
	ESCRITORIO	284	Staphylococcus coagulasa negativo	E 11De femal
			Enterobacter cloacae	20200
CONSULTORIO DE NUTRICIÓN			Bacillus spp.	
	MESA CON MANTEL MORADO	.245	Staphylococcus coagulasa negativo	0,9 UFC/cm²
			Enterobacter cloacae	
			Staphylococcus coagwlasa negativo	
	MESA GRANDE NEGRA CON CAFÉ SECTOR 1	,246	Enterobacter cloacae	20,8 UFC/cm ²
			Klebsiella aerogenes	





Anexo 9.

Esquema de la metodología utilizada para el análisis microbiológico de las superficies inertes del centro de salud "Mariano Estrella"



Anexo 10.

Carga microbiana por superficie muestreada

		_	SUPERFICIE IRREGULAR	SUPERFICIE REGULAR
ÁREA	SUB-ÁREA	SUPERFICIE MUESTREADA	RECUENTO DE UNIDADES FORMADORAS DE COLONIA	RECUENTO DE UNIDADES FORMADORAS DE COLONIA (UFC/
		DOOLIILLA DE LLAVE	(UFC/superficie)	cm²)
		BOQUILLA DE LLAVE	9 x 10 ¹ UFC/superficie	
		MOUSE DE COMPUTADOR	7 x 10 ¹ UFC/superficie	
		MANIJA DE LLAVE ESTETOSCOPIO	5 x 10 ¹ UFC/superficie	
	CONSULTORIO 1	TECLADO DE COMPUTADOR	26 x 10 ¹ UFC/superficie 178 x 10 ² UFC/superficie	
		DISPENSADOR DE JABÓN LÍQUIDO DE PARED	1 UFC/superficie	
		SHENLONG CAMILLA	i OFC/superficie	1 UFC/cm ²
		VELADOR		0,1 UFC/cm ²
		MOUSE DE COMPUTADOR	9 x 10 ¹ UFC/superficie	0,1 01 0/011
		ESTETOSCOPIO	3 x 10° UFC/superficie	
		TECLADO DE COMPUTADOR	3 x 10° UFC/superficie	
	CONSULTORIO 2	TAMBOR DE BAJALENGUAS	2 x 10° UFC/superficie	
	33113321311132	ESTETOSCOPIO	2 x 10° UFC/superficie	
EMERGENCIA		MESA METALICA	2 x 10 Of Grouperhole	1 UFC/cm ²
		SHENLONG CAMILLA		1 UFC/cm ²
		TENSIÓMETRO DE ADULTO	3 x 10 ¹ UFC/superficie	
	EMERGENCIA	PULSIOXIMETRO DEL MONITOR	21 x 10 ¹ UFC/superficie	
		BOQUILLA DE LLAVE	1 x 10 ¹ UFC/superficie	
		COLCHON PEDIÁTRICO	1 x 10 ¹ UFC/superficie	
		MANIJAS DE BALANZA PEDIÁTRICA	1 x 10 ¹ UFC/superficie	
		DISPENSADOR DE JABÓN LÍQUIDO DE PARED	1 UFC/superficie	
		SHENLONG CAMILLA		0,9 UFC/cm ²
		CAJON INTERNO DE MESA NEGRA		0,5 UFC/cm ²
		MESA		1 x 10 ¹ UFC/cm ²
		VITŖINĄ	15.8 x 101 UFC/superficie	
		DISPENSADOR DE JABÓN LÍQUIDO DE FRASCO	6 x 10 ¹ UFC/superficie	
		TELÉFONO	5 x 10 ¹ UFC/superficie	
	ESTACIÓN DE	MOUSE DE COMPUTADOR	4 x 10 ¹ UFC/superficie	
	ENFERMERÍA	MANIJA DE LLAVE	3 x 10 ¹ UFC/superficie	
		MESÓN	3 x 10¹ UFC/superficie	
		TECLADO DE COMPUTADOR	2 x 10 ¹ UFC/superficie	
	-	BOQUILLA DE LLAVE	14 x 10 ¹ UFC/superficie	0.00 HEC/am²
	SALA DE OBSERVACIÓN	COLCHÓN DE CAMA REFRIGERADOR		0,86 UFC/cm² 1 UFC/cm²
	SALA DE OBSERVACION	VELADOR		0,95 UFC/cm ²
		MANUBRIO DE LA LAMPARA	7 x 10 ¹ UFC/superficie	0,90 OFC/GII
	SALA DE	BOQUILLA DE LLAVE	6 x 10° UFC/superficie	
	PROCEDIMIENTOS	. DOQUILLA DE LLAVE	o x to orc/superticle	

		PANEL DE CONTROL DIGITAL DE LA MÁQUINA DE ELECTROCARDIOGRAMA	6 x 10 ¹ UFC/superficie	
		SUPERFICIE EXTERNA DEL COCHE DE PARO DISPENSADOR DE JABÓN LÍQUIDO DE FRASCO	5 x 10 ¹ UFC/superficie 1 x 10 ¹ UFC/superficie	
		PULSIOXIMETRO DEL MONITOR	1 x 10 ¹ UFC/superficie	
		FRASCO DE VIDRIO DE BAJALENGUAS	1 UFC/superficie	
		BOQUILLA AZUL DE LA MANGUERA DE SUCCIÓN	1 UFC/superficie	
		PERILLAS DE MONITOR DE CONTROL DE SIGNOS VITALES	1 UFC/superficie	
		BOQUILLA DE HUMIDIFICADOR ANCLADO AL TANQUE DE OXÍGENO	1 UFC/superficie	
		MESA DE MAYO		1 UFC/cm ²
		JABÓN LÍQUIDO DISPENSADOR DE PARED	5 x 101 UFC/superficie	
	AREA DE CASILLEROS Y	MANIJA DĘ LLAVE	1 x 10 ¹ UFC/superficie	
	MESA DE ALIMENTACIÓN	MESÓN	18 x 10 ² UFC/superficie	
	(MESA		0,7 UFC/cm ²
	ÁREA DE CURACIONES	TAMBOR DE TORUNDAS DE ALGODÓN	2 x 10¹ UFC/superficie	
	ÁREA DE DESCANSO DE	COMPUTADOR GRIS ESCRITORIO	13 x 10 ² UFC/superficie	1.2 UFC/cm ²
	ALFA 3	COLCHON		1,2 UFC/cm ²
		ESTANTE	9 x 10 ¹ UFC/superficie	1,03 01 C/CIII
		MOUSE DE COMPUTADOR	2 x 10° UFC/superficie	
	.	TECLADO DE COMPUTADOR	10 x 10 ¹ UFC/superficie	
	ÁREA DE FARMACIA	TELÉFONO	1 x 10 ¹ UFC/superficie	
		MESA DE IMPRESORA		0,6 UFC/cm ²
		MUEBLE DE MADERA DE VENTINILLA		0,3 UFC/cm ²
OONOU! TA EVTERNA	COMEDOR EN ÁREA HISTÓRICA	MESA		8,84 UFC/cm ²
CONSULTA EXTERNA		ESTANTE	6 x 10 ¹ UFC/superficie	
		TECLADO DE COMPUTADOR	1 x 10 ¹ UFC/superficie	
	CONSULTORIO 1	MANIJA DE LLAVE	3 x 10 ¹ UFC/superficie	
	ATENCIÓN A	MOUSE DE COMPUTADOR	1 x 10 ¹ UFC/superficie	
	ADOLESCENTES	TELÉFONO	5 x 10 ¹ UFC/superficie	
	7.2 0 2 2 0 2 2 0	MESA METÁLICA DE INSUMOS	o x to ot oroupomoto	0.7 UFC/cm ²
		MESA DE ESCRITORIO		0,2 UFC/cm ²
		SHENLONG CAMILLA		0,1 UFC/cm ²
		MANUA DE LI AVE	4 - 401 UEO/	
		MANIJA DE LLAVE MOUSE DE COMPUTADOR	4 x 10 ¹ UFC/superficie 2 x 10 ¹ UFC/superficie	
		MOOSE DE COMPOTADOR		
		TECLADO DE COMPLITADOR	5 v 10 ! HEC/euporticio	
	CONSULTORIO 2	TECLADO DE COMPUTADOR TELÉFONO	5 x 10 ¹ UFC/superficie	
	CONSULTORIO 2	TECLADO DE COMPUTADOR TELÉFONO MESA METÁLICA DE INSUMOS	5 x 10 ¹ UFC/superficie 1 x 10 ¹ UFC/superficie	1,8 UFC/cm ²

	. SHENLONG CAMILLA		0.1 UFC/cm ²
	MESA DE ESCRITORIO	28 x 10 ¹ UFC/superficie	0,1 0FC/011
	MOUSE DE COMPUTADOR	1 x 10 ¹ UFC/superficie	
	TECLADO DE COMPUTADOR	2 x 10 ¹ UFC/superficie	
CONSULTORIO DE	TECLADO DE ECOGRAFO	20 x 10 ¹ UFC/superficie	
GINECOLOGÍA	VITRINA	28.8 x 10 ¹ UFC/superficie	
	SHENLONG CAMILLA	20,0 x 10 Of O/Superficie	2.1 UFC/cm ²
	MESA METALICA DE INSUMOS MEDICOS		13 UFC/cm ²
_	MESA METÁLICA	71 x 10 ¹ UFC/superficie	10 01 0/0111
	MOUSE DE COMPUTADOR	6 x 10 ¹ UFC/superficie	
CONSULTORIO DE	PIERNERAS DE LA CAMILLA	15 x 10 ¹ UFC/superficie	
MEDICINA FAMILIAR	TECLADO DE COMPUTADOR	1 UFC/superficie	
	SHENLONG CAMILLA	1 of oroupernoic	1,2 UFC/cm ²
CONSULTORIO DE	ESCRITORIO		5 UFC/cm ²
NUTRICIÓN	MESA		0,9 UFC/cm ²
	BANDEJA DE INTRUMENTAL DE SILLON		0,0 01 0,011
	ODONTOLOGICO	2 x 10 ¹ UFC/superficie	
	MANIJA DE LÁMPARA	5,6 x 101 UFC/superficie	
	MANIJA DE LLAVE	50 x 10 ² UFC/superficie	
CONSULTORIO DE	MOUSE DE COMPUTADOR	6 x 10 ¹ UFC/superficie	
ODONTOLOGIA	TAMBOR DE TORUNDAS DE ALGODÓN	2 x 10 ¹ UFC/superficie	
	TECLADO DE COMPUTADOR	13,8 x 10 ¹ UFC/superficie	
	VITRINA	14,7 x 10 ¹ UFC/superficie	
	MESON	14,7 × 10 Of O/Superficie	1 UFC/cm ²
	MANIJA DE PUERTA	4 x 10 ¹ UFC/superficie	
CONSULTORIO DE	MOUSE DE COMPUTADOR	17,5 x 10 ¹ UFC/superficie	
PSICOLOGIA	TECLADO DE COMPUTADOR	2 x 10 ¹ UFC/superficie	
	ESCRITORIO		0,3 UFC/cm ²
	CALCULADORA	15 x 10 ³ UFC/superficie	-,
	ESPONJA DE LA CAJA DE ESTETOSCOPIOS	60 x 10 ¹ UFC/superficie	
	ESTANTE	11 x 10 ¹ UFC/superficie	
	MANIJA DE LLAVE	18 x 10 ¹ UFC/superficie	
	MESA DE ESCRITORIO	11 x 10 ¹ UFC/superficie	
CONSULTORIO	MOUSE DE COMPUTADOR	1 x 10 ¹ UFC/superficie	
PEDIATRICO	PLATOS DE PLASTICO DE ENSEÑANZA	7 x 10 ¹ UFC/superficie	
	TAMBOR METÁLICO DE BAJALENGUAS	1 x 10 ¹ UFC/superficie	
	TECLADO DE COMPUTADOR	1 x 10 ¹ UFC/superficie	
	TELÉFONO	1 x 10 ¹ UFC/superficie	
	SHENLONG CAMILLA		0,2 UFC/cm ²
	TECLADO DE COMPUTADOR	1 x 10 ¹ UFC/superficie	-,
	TELÉFONO	6 x 10 ¹ UFC/superficie	
	MANIJA DE LLAVE	5 x 10 ¹ UFC/superficie	
CONSULTORIO 3	MESA DE ESCRITORIO	1 x 10 ¹ UFC/superficie	
	MESA METÁLICA	37 x 10 ¹ UFC/superficie	
	MOUSE DE COMPUTADOR	13 x 10 ¹ UFC/superficie	

	. SHENLONG CAMILLA		2 UFC/cm ²
	MOUSE DE COMPUTADOR	8 x 101 UFC/superficie	
DIRECCIÓN	TECLADO DE COMPUTADOR	6 x 10 ¹ UFC/superficie	
	TELÉFONO	4 x 10 ¹ UFC/superficie	
	BOQUILLA DE LLAVE	3 x 101 UFC/superficie	
	MANIJA DE BALANZA PEDIATRICA	4 x 10 ¹ UFC/superficie	
	MANIJA DE LLAVE	3 x 10 ¹ UFC/superficie	
	MOUSE DE COMPUTADOR	3 x 10 ¹ UFC/superficie	
	PULSIOXIMETRO DE ADULTO	16 x 10 ¹ UFC/superficie	
	TALLÍMETRO PEDIÁTRICO	45 x 10 ¹ UFC/superficie	
	TAMBOR DE TORUNDAS DE ALGODÓN	1 x 10 ¹ UFC/superficie	
ENFERMERÍA	TECLADO DE COMPUTADOR		
		6 x 10 ¹ UFC/superficie	
	TELÉFONO	4 x 10 ¹ UFC/superficie	
	TENSIÓMETRO DE PISO	3 x 10 ¹ UFC/superficie	
	TENSIOMETRO DIGITAL ,	27 x 10 ¹ UFC/superficie	_
	TARJETERO DE DESNUTRICIÓN		1,4 UFC/cm ²
	COLCHON - ESPACIOS DESIGNADO PARA		0,6 UFC/cm ²
	ELABORACIÓN DE GASAS		0,0 01 0/011
	ESTANTE	80 x 101 UFC/superficie	
	MESA USADO PARA ÁREA DOCUMENTAL	4 x 10 ¹ UFC/superficie	
	MOUSE DE COMPUTADOR	1,2 x 10 ¹ UFC/superficie	
	MUEBLE A LADO DE RACK	13 x 10 ¹ UFC/superficie	
ESTADISTICA- ADMISION	PANTALLA Y TECLADO DE RACK	66 x 10 ¹ UFC/superficie	
AL USUARIO	TECLADO DE COMPUTADOR	50 x 10 ¹ UFC/superficie	
AL OCCARIO	TELÉFONO	69 x 10 ¹ UFC/superficie	
	MESA DE APOYO DE FICHAS DE LA VENTANILLA	00 x 10 Of O/superficie	
	DE ATENCIÓN AL USUARIO		3,2 UFC/cm ²
	MESA DE ESCRITORIO		0,8 UFC/cm ²
	BOQUILLA DE LLAVE	4 x 10 ¹ UFC/superficie	0,8 01 0/6111
ESTIMULACION	MESA DE ESCRITORIO	4 x 10° OFC/superficie	0.01150/2
TEMPRANA			0,6 UFC/cm ²
	MESA INFANTIL DE PLASTICO	00 40111504 51	0,3 UFC/cm ²
LABORATORIO ÁREA	LUGAR DE REPOSA JABÓN DEL BAÑO	83 x 10 ¹ UFC/superficie	
ADMINISTRATIVA	MOUSE DE COMPUTADOR	6,5 x 10 ¹ UFC/superficie	
	TECLADO DE COMPUTADOR	34 x 10 ¹ UFC/superficie	
	MUEBLE DE MADERA DE INSUMOS DE	24 x 10 ¹ UFC/superficie	
LABORATORIO ÁREA DE	LABORATORIO	_ TX TO OT O/Oupormole	
TOMA DE MUESTRAS	MESA DE VIDRIO DE ALMACENAMIENTO		9,2 x 10 ¹ UFC/cm ²
I OWA DE WOLDTRAS	TEMPORAL DE MUESTRAS		•
	REFRIGERADORA		0,6 UFC/cm ²
	BOTONES DE LA MAQUINA DE HEMATOLOGÍA	29 x 10 ¹ UFC/superficie	
	BOTONES DIGITALES DE MAQUINA DE	2 x 10 ¹ UFC/superficie	
LABORATORIO ÁREA	ESTERILIZACIÓN	'	
	MICROSCOPIO	1 x 101 UFC/superficie	
OPERATIVA	MOUSE DE MAQUINA DE QUIMICA SANGUINEA	6 x 101 UFC/superficie	
OPERATIVA	MOUSE DE MAQUINA DE QUIMICA SANGUINEA	o x to of oroupernoic	

	PARTE INTERNA DEL ESTERILIZADOR	2 x 10 ¹ UFC/superficie	
	TECLADO DE COMPUTADOR	8 x 10 ¹ UFC/superficie	
	TECLADO DE MAQUINA DE QUIMICA SANGUINEA	4 x 10 ¹ UFC/superficie	
	REFRIGERADORA		0,6 UFC/cm ²
RELOJ BIOMÉTRICO	LUGAR DE DIGITACION DE HUELLA	1 x 101 UFC/superficie	
	BOQUILLA DE LLAVE	1 x 10 ¹ UFC/superficie	
	CERCHA CAFÉ ESPACIO DE SECADO DE CARTILLAS DE TAMIZAJE NEONATAL	4 x 10 ¹ UFC/superficie	
	DISPENSADOR DE JABÓN LÍQUIDO DE FRASCO	4 x 10 ¹ UFC/superficie	
VACUNACIÓN	MANIJA DE LLAVE	5 x 10 ¹ UFC/superficie	
VACUNACION	MOUSE DE COMPUTADOR	6 x 101 UFC/superficie	
	TAMBOR DE TORUNDAS	1 UFC/superficie	
	TECLADO DE COMPUTADOR	5 x 101 UFC/superficie	
	TARJETERO	·	3,1 UFC/cm ²
	ESCRITORIO DE COMPLITADOR		2.2 LIEC/cm ²

Anexo 11.

Microorganismo identificado por cada sub-área en Consulta Externa

ÁREA	SUB-ÁREA (N; %)	MICROORGANISMO IDENTIFICADO	FRECUENCIA	PORCENTAJE
CONSULTA EXTERNA	ÁREA DE CASILLEROS Y MESA DE ALIMENTACIÓN (7;3)	Bacillus spp.	3	43%
		Enterobacter cloacae	2	29%
		Enterococcus faecalis	1	14%
		Staphylococcus coagulasa negativo	1	14%
		TOTAL	7	100%
	ÁREA DE CURACIONES (1; <1)	Staphylococcus coagulasa negativo	1	100%
		TOTAL	1	100%
	ÁREA DE DESCANSO DE ALFA 3 (7;3)	Bacillus spp.	1	14%
		Enterobacter cloacae	1	14%
		Escherichia coli	1	14%
		Staphylococcus coagulasa negativo	3	43%
		Streptococcus spp.	1	14%
		TOTAL	7	100%
	ÁREA DE FARMACIA (17;6%)	Bacillus spp.	7	41%

	Enterobacter cloacae	2	12%
	Enterococcus faecalis	1	6%
	Staphylococcus coagulasa negativo	7	41%
	TOTAL	17	100%
COMEDOR EN ÁREA HISTÓRICA (12;4)	Bacillus spp.	3	25%
	Enterobacter cloacae	3	25%
	Escherichia coli	1	8%
	Klebsiella aerogenes	1	8%
	Staphylococcus coagulasa negativo	4	33%
	TOTAL	12	100%
CONSULTORIO 1 (21;8)	Bacillus spp.	2	10%
	Citrobacter koseri	1	5%
	Enterobacter cloacae	4	19%
	Enterococcus faecium	1	5%
	Escherichia coli	2	10%
	Escherichia hermannii	1	5%
	Klebsiella oxytoca	1	5%
	Staphylococcus aureus	1	5%
	Staphylococcus coagulasa negativo	7	33%

	Streptococcus spp.	1	5%
	TOTAL	21	100%
CONSULTORIO 2 (11;4)	Bacillus spp.	1	9%
	Citrobacter koseri	1	9%
	Enterobacter cloacae	2	18%
	Enterococcus faecalis	2	18%
	Staphylococcus coagulasa negativo	4	36%
	Streptococcus spp.	1	9%
	TOTAL	11	100%
CONSULTORIO DE GINECOLOGÍA (14;5)	Bacillus spp.	5	36%
	Enterobacter cloacae	2	14%
	Enterococcus faecalis	3	21%
	Enterococcus faecium	1	7%
	Klebsiella aerogenes	1	7%
	Staphylococcus coagulasa negativo	2	14%
	TOTAL	14	100%
CONSULTORIO DE MEDICINA FAMILIAR (10;4)	Bacillus spp.	1	10%
	Enterobacter cloacae	2	20%
	Pantoea agglomerans	1	10%

	Pseudomonas stutzeri	1	10%
	Staphylococcus coagulasa negativo	5	50%
	TOTAL	10	100%
CONSULTORIO DE NUTRICIÓN (5;2)	Bacillus spp.	1	20%
	Enterobacter cloacae	2	40%
	Staphylococcus coagulasa negativo	2	40%
	TOTAL	5	100%
CONSULTORIO DE ODONTOLOGÍA (23;9)	Bacillus spp.	4	17%
	Citrobacter freundii	1	4%
	Enterobacter cloacae	3	13%
	Enterococcus faecium	1	4%
	Escherichia coli	1	4%
	Staphylococcus coagulasa negativo	13	57%
	TOTAL	23	100%
CONSULTORIO DE PSICOLOGIA (9;3%)	Bacillus spp.	2	22%
	Enterobacter cloacae	1	11%
	Staphylococcus aureus	2	22%
	Staphylococcus coagulasa negativo	3	33%
	Streptococcus spp.	1	11%

	TOTAL	9	100%
CONSULTORIO PEDIATRICO (21;8)	Bacillus spp.	2	10%
	Enterobacter cloacae	1	5%
	Enterococcus faecalis	1	5%
	Escherichia coli	2	10%
	Escherichia hermannii	1	5%
	Klebsiella aerogenes	1	5%
	Klebsiella pneumoniae	2	10%
	Pantoea agglomerans	1	5%
	Staphylococcus aureus	1	5%
	Staphylococcus coagulasa negativo	9	43%
	TOTAL	21	100%
CONSULTORIO 3 (11;4)	Bacillus spp.	4	36%
	Enterobacter cloacae	1	9%
	Enterococcus faecalis	1	9%
	Pantoea agglomerans	1	9%
	Pseudomonas putida	1	9%
	Psycrobacter faecalis	1	9%
	Staphylococcus coagulasa negativo	1	9%

	Streptococcus spp.	1	9%
	TOTAL	11	100%
DIRECCIÓN (4;<1)	Enterococcus faecalis	1	25%
	Staphylococcus coagulasa negativo	3	75%
	TOTAL	4	100%
ENFERMERÍA (20;7)	Bacillus spp.	1	5%
	Enterobacter cloacae	3	15%
	Enterococcus faecalis	2	10%
	Enterococcus faecium	1	5%
	Escherichia coli	1	5%
	Pantoea agglomerans	1	5%
	Pseudomonas stutzeri	1	5%
	Staphylococcus aureus	4	20%
	Staphylococcus coagulasa negativo	5	25%
	Streptococcus spp.	1	5%
	TOTAL	20	100%
ESTADISTICA- ADMISION AL USUARIO	Bacillus spp.	11	35%
(31;12)	Enterobacter cloacae	4	13%
	Enterococcus faecalis	2	6%

	<u>.</u>		
	Escherichia coli	1	3%
	Klebsiella pneumoniae	1	3%
	Staphylococcus aureus	5	16%
	Staphylococcus coagulasa negativo	7	23%
	TOTAL	31	100%
ESTIMULACIÓN TEMPRANA (3;<1)	Staphylococcus coagulasa negativo	3	100%
	TOTAL	3	100%
LABORATORIO ÁREA ADMINISTRATIVA (6;2)	Bacillus spp.	1	17%
	Enterobacter cloacae	1	17%
	Enterococcus faecalis	2	33%
	Staphylococcus coagulasa negativo	2	33%
	TOTAL	6	100%
LABORATORIO ÁREA DE TOMA DE	Bacillus spp.	1	25%
MUESTRAS (4;1,5)	Citrobacter koseri	1	25%
	Morganella morganii	1	25%
	Staphylococcus coagulasa negativo	1	25%
	TOTAL	4	100%
LABORATORIO ÁREA OPERATIVA (15;5)	Bacillus spp.	4	27%
	Enterobacter cloacae	2	13%

	Staphylococcus coagulasa negativo	9	60%
	TOTAL	15	100%
RELOJ BIOMÉTRICO (1;<1)	Staphylococcus coagulasa negativo	1	100%
	TOTAL	1	100%
VACUNACIÓN (15;6)	Bacillus spp.	3	20%
	Enterobacter cloacae	2	13%
	Escherichia coli	1	7%
	Klebsiella aerogenes	2	13%
	Klebsiella pneumoniae	1	7%
	Staphylococcus aureus	2	13%
	Staphylococcus coagulasa negativo	4	27%
	TOTAL	15	100%
TOTAL (268;100)	Bacillus spp.	57	21%
	Citrobacter freundii	1	0%
	Citrobacter koseri	3	1%
	Enterobacter cloacae	38	14%
	Enterococcus faecalis	16	6%
	Enterococcus faecium	4	1%
	Escherichia coli	10	4%

Escherichia hermannii	2	1%
Klebsiella aerogenes	5	2%
Klebsiella oxytoca	1	0%
Klebsiella pneumoniae	4	1%
Morganella morganii	1	0%
Pantoea agglomerans	4	1%
Pseudomonas putida	1	0%
Pseudomonas stutzeri	2	1%
Psycrobacter faecalis	1	0%
Staphylococcus aureus	15	6%
Staphylococcus coagulasa negativo	97	36%
Streptococcus spp.	6	2%
TOTAL	268	100%

Anexo 12.

Microorganismo identificado por cada sub-área de Emergencia

ÁREA	SUB-ÁREA	MICROORGANISMO IDENTIFICADO	FRECUENCIA	PORCENTAJI
EMERGENCIA	CONSULTORIO 1 (13;13)	Bacillus spp.	3	23%
		Enterobacter cloacae	1	8%
		Staphylococcus aureus	3	23%
		Staphylococcus coagulasa negativo	6	46%
		TOTAL	13	100%
	CONSULTORIO 2 (12;12)	Bacillus spp.	3	25%
		Enterobacter cloacae	1	8%
		Enterococcus faecalis	1	8%
		Staphylococcus aureus	1	8%
		Staphylococcus coagulasa negativo	6	50%
		TOTAL	12	100%
	EMERGENCIA (16;15)	Bacillus spp.	6	38%
		Enterobacter cloacae	3	19%
		Escherichia coli	1	6%

	Otanta da casa como como co		400/
	Staphylococcus aureus	2	13%
	Staphylococcus coaqulasa negativo	4	25%
	TOTAL	16	1009
ESTACIÓN DE ENFERMERÍA (38;37)	Bacillus spp.	9	24%
	Citrobacter koseri	1	3%
	Enterobacter cloacae	5	13%
	Escherichia coli	2	5%
	Klebsiella aerogenes	1	3%
	Pseudomonas stutzeri	4	11%
	Staphylococcus coagulasa negativo	15	39%
	Streptococcus spp.	1	3%
	TOTAL	38	100%
SALA DE OBSERVACIÓN (11;11)	Bacillus spp.	7	64%
	Staphylococcus aureus	2	18%
	Staphylococcus coagulasa negativo	2	18%
	TOTAL	11	100%
SALA DE PROCEDIMIENTOS (14;13)	Bacillus spp.	3	21%
	Enterococcus faecium	1	7%
	Pseudomonas stutzeri	2	14%

	Staphylococcus coagulasa negativo	8	57%
	TOTAL	14	100%
TOTAL (104;100)	Bacillus spp.	31	30%
	Citrobacter koseri	1	1%
	Enterobacter cloacae	10	10%
	Enterococcus faecalis	1	1%
	Enterococcus faecium	1	1%
	Escherichia coli	3	3%
	Klebsiella aerogenes	1	1%
	Pseudomonas stutzeri	6	6%
	Staphylococcus aureus	8	8%
	Staphylococcus coagulasa negativo	41	39%
	Streptococcus spp.	1	1%
	TOTAL	104	100%